

აბასთუმანის  
ასტროფიზიკური ობსერვატორია

LXV

ასტრონომიული  
ქალაქის არა

(თელიცივაზე)

2025



ინტელექტუალური  
თბილისი – 2024

ასტრონომიული კალენდარი გამოიცემა 1961 წლიდან.

1961-2008 წლებში მას ერთობლივად გამოსცემდა ე. ხარაძის სახელობის ეროვნული ასტროფიზიკური ობსერვატორია და ივ. ჯავახიშვილის სახელობის თბილისის სახელმწიფო უნივერსიტეტი.

2009-2020 წლების ასტრონომიული კალენდრები გამოსცა ილიას სახელმწიფო უნივერსიტეტში.

#### შემდგენელი:

ე. ხარაძის სახელობის ეროვნული ასტროფიზიკური ობსერვატორია

#### სარედაქციო კოლეგია:

შ. საბაშვილი (პ/მგ. რედაქტორი)

გ. რამიშვილი ა. როგავა  
ნ. საბაშვილი ე. ჯანიაშვილი

**ISSN 0134-9856**

**ISBN 978-9941-31-857-3**

## სამოცდამეხუთე გამოცემისათვის

### წინასიტყვაობა

ასტრონომიული კალენდარი (წელიწდეული) მოიცავს ყველა უმთავრეს ცნობას, რომელიც ჩვეულებრივ, ამგვარ ცნობარებში მოიპოვება. ესენია: მზის, მთვარისა და პლანეტების ამოსვლა-ჩასვლის წინასწარ გამოთვლილი მომენტები მთელი წლისათვის, მათი მდებარეობა ცაზე, მთვარის ფაზები, მზისა და მთვარის დანელებანი, კომეტების და მეტეორული ნაკადების გამოჩენა, დროის სააღრიცხვო და გარემოში ორიენტირებისათვის მონაცემები და სხვადასხვა ციური მოვლენების დაკვირვებასთან დაკავშირებული ცნობები. კალენდრის შესავალ ნაწილში - „როგორ ვისარგებლოთ კალენდრით“ - მკითხველი ყველა აუცილებელ განმარტებას იძოვის.

გამოთვლების ძირითადი ნაწილი შესრულებულია აბასთუმნის ასტროფიზიკური ობსერვატორიის თანამშრომლების გ. რამიშვილის, ნ. საბაშვილის და ე. ჯანიაშვილის მიერ. კალენდარს თან ერთვის რამდენიმე სამეცნიერო-პოპულარული წერილიც.

ტექსტის კომპიუტერზე აწყობა განახორციელა ვ. საბაშვილმა. ხელ-ნაწერი მოამზადა და საბოლოო კორექტურა შეასრულა ნ. საბაშვილმა.

შ. საბაშვილი  
2024 წ.

**2025**

**ალის დროების დასაწყისი  
(თბილისის საშუალო დროით)**

გ ა ზ ა ფ ხ უ ლ ი	-	20 მარტი	11 <sup>h</sup> 57 <sup>m</sup>
ზ ა ფ ხ უ ლ ი	-	21 ივნისი	5 <sup>h</sup> 38 <sup>m</sup>
შ ე მ თ დ გ თ მ ა	-	22 სექტემბერი	21 <sup>h</sup> 18 <sup>m</sup>
ზ ა მ თ ა რ ი	-	21 დეკემბერი	18 <sup>h</sup> 00 <sup>m</sup>

დეპრეციულ დროზე გადასასვლელად თბილისის საშუალო დროს უნდა დაემატოს 1 საათი და 1 წუთი.

საქართველოს ტერიტორია ვრცელდება აღმოსავლეთის გრძელით  $40^{\circ}$ .0-დან  $46^{\circ}$ .7-მდე, ჩრდილოეთის განედით  $41^{\circ}$ .1-დან  $43^{\circ}$ .6-მდე.

ზოგიერთი ქალაქის გეოგრაფიული კოორდინატები

ქალაქი	გრძელი	განედი	ქალაქი	გრძელი	განედი
	0	0		0	0
აბასთუმანი	42.8	41.8	ლაგოდეხი	46.3	41.8
ახალქალაქი	43.5	41.4	მესტია	42.7	43.1
ახალციხე	43.0	41.6	ოზურგეთი	42.0	41.9
ბათუმი	41.6	41.6	სამტრედია	42.3	42.2
ბოლნისი	44.5	41.4	საჩხერე	43.4	42.4
ბორჯომი	43.4	41.8	სოხუმი	41.0	43.0
გორი	44.1	42.0	ფოთი	41.7	42.1
დუშეთი	44.7	42.1	ქუთაისი	42.7	42.3
ზუგდიდი	41.9	42.5	ყაზბეგი	44.6	42.6
თბილისი	44.8	41.7	ცხინვალი	44.0	42.2
თელავი	45.5	41.9	ხაშური	43.6	42.0

# ტაბელ-გალენდარი

**2025**

	იანვარი				თებერვალი				მარტი			
ორშაბათი	6	13	20	27	3	10	17	24	3	10	17	24
სამშაბათი	7	14	21	28	4	11	18	25	4	11	18	25
ოთხშაბათი	1	8	15	22	29	5	12	19	26	5	12	19
ხუთშაბათი	2	9	16	23	30	6	13	20	27	6	13	20
პარასკევი	3	10	17	24	31	7	14	21	28	7	14	21
შაბათი	4	11	18	25		1	8	15	22	1	8	15
კვირა	5	12	19	26		2	9	16	23	2	9	16
	აპრილი				მაისი				ივნისი			
ორშაბათი	7	14	21	28	5	12	19	26	2	9	16	23
სამშაბათი	1	8	15	22	29	6	13	20	27	3	10	17
ოთხშაბათი	2	9	16	23	30	7	14	21	28	4	11	18
ხუთშაბათი	3	10	17	24		1	8	15	22	5	12	19
პარასკევი	4	11	18	25		2	9	16	23	6	13	20
შაბათი	5	12	19	26		3	10	17	24	7	14	21
კვირა	6	13	20	27		4	11	18	25	1	8	15
	ივნისი				აგვისტო				სექტემბერი			
ორშაბათი	7	14	21	28	4	11	18	25	1	8	15	22
სამშაბათი	1	8	15	22	29	5	12	19	26	2	9	16
ოთხშაბათი	2	9	16	23	30	6	13	20	27	3	10	17
ხუთშაბათი	3	10	17	24	31	7	14	21	28	4	11	18
პარასკევი	4	11	18	25		1	8	15	22	5	12	19
შაბათი	5	12	19	26		2	9	16	23	6	13	20
კვირა	6	13	20	27		3	10	17	24	7	14	21
	ოქტომბერი				ნოემბერი				დეკემბერი			
ორშაბათი	6	13	20	27	3	10	17	24	1	8	15	22
სამშაბათი	7	14	21	28	4	11	18	25	2	9	16	23
ოთხშაბათი	1	8	15	22	29	5	12	19	26	3	10	17
ხუთშაბათი	2	9	16	23	30	6	13	20	27	4	11	18
პარასკევი	3	10	17	24	31	7	14	21	28	5	12	19
შაბათი	4	11	18	26		1	8	15	22	6	13	20
კვირა	5	12	19	26		2	9	16	23	7	14	21

საქართველოს რესპუბლიკის შრომის კანონთა კოდექსის 64-ე მუხლის თანახმად, ამიერიდან დაპანერებულია ქვემოთ ჩამოთვლილი უქმე დღეები, რომელიც საწარმოები, დაწესებულებები, ორგანიზაციები არ მუშაობენ: 1 და 2 იანვარს – ახალი წლის სადღესასწაულო დღეებში; 7 იანვარს – ქრისტემობის დღეს; 19 იანვარს – ნათლისდღებას; 3 მარტს – დედის დღეს; 8 მარტს – ქალთა საერთაშორისო დღეს; 9 აპრილს – სამშობლოსათვის დაღუპულთა მოგონების დღეს; სააღდგომო დღეებში – დიდ პარასკევეს, დიდ შაბათს, იესო ქრისტეს ბრწყინვალე აღდგომის დღეს; მიცვალებულთა მოხსენიების დღეს – აღდგომის მეორე დღეს, ორშაბათს (თარიღები გარდამავალია); 9 მაისს – ფაშიზმები გამარჯვების დღეს; 12 მაისს – წმინდა ანდრია მოციქულის ხსენების დღეს; 26 მაისს – საქართველოს დამოუკიდებლობის დღეს; 28 აგვისტოს – ღვთისმშობლის მიძინების დღეს (მარიამობას); 14 ოქტომბერს – მცხეობლის (სვეტიცხოვლობის, ქვართის დღესასწაულის) დღეს; 23 ნოემბერს – გიორგობის დღეს.

### ასტრონომიული ნივთები და აღნიშვნები



მზე

ც შემოგომის დღელამბოლობის  
(ბუნიობის) წერტილი

ი მთვარე

E აღმოსავლეთის წერტილი

ჭ მერკური

SE სამხრეთ-აღმოსავლეთი

გ ვენერა

S სამხრეთის წერტილი

ბ დედამიწა

SW სამხრეთ-დასავლეთი

ძ მარსი

W დასავლეთის წერტილი

ა იუპიტერი

NW ჩრდილო-დასავლეთი

წ სატურნი

N ჩრდილოეთის წერტილი

ც ურანი



წეპტემბრი

● ახალი კურსების პირველი მეოთხედი

NE ჩრდილო-აღმოსავლეთი

ლ მთვარის პირველი მეოთხედი

a წელიწადი

ო საკუსტოვარება

d დღე-დამე

კ მთვარის უკანასკნელი

h საათი

მეოთხედი

m წუთი ანუ მინუტი

ზ ზენიტური მანძილი

s წამი ანუ სეკუნდი

ა აზიმუტი

o გრადუსი

ფ გეოგრაფიული განედი

' წუთი (რკალისა)

λ გეოგრაფიული გრძედი

" წამი (რკალისა)

ა პირდაპირი აღლება

ბ დახრილობა

γ განაფელის დღელამბოლობის  
(ბუნიობის) წერტილი

## გერმანული ანგანი

A, α ალფა	H, Η ეტა	N, ν ნიუ	T, τ ტაუ
B, β ბეტა	Θ, θ თეტა	Ξ, ξ ქსი	Y, ν იპსილონ
Γ, γ გამა	I, i ოოტა	O, o ომივრონ	Φ, φ ფი
Δ, δ დელტა	K, κ კაპპა	Π, π პი	X, χ ხ-ი
E, ε ეფსილონი	Λ, λ ლამბდა	P, ρ რო	Ψ, ψ ფსი
Z, ζ ძეტა	M, μ მიუ	Σ, σ სიგმა	Ω, ω ომეგა

### როგორ ვისარგებლოთ კალენდრით

კალენდარში, სხვა ცნობებთან ერთად, მოცემულია მზის, მთვარის და პლანეტების კოორდინატები და სხვა სიდიდეები დროის ფიქსირებული მომენტებისათვის. ეს მომენტები უმთავრესად წარმოადგენენ ყოველი დღე-დამის დასაწყისთა მიმდევრობას; ნელაციალებადი სიდიდეებისთვის (პლანეტათა კოორდინატები) მომენტები აღებულია ყოველ მე-7 დღე-დამეზე. ასე აღებული მომენტები წარმოადგენენ ცხრილების არგუმენტებს, განსაზღვრავენ ცხრილების ინტერვალებს და საშუალებას გვაძლევენ ვიპოვოთ აღნიშნული ცვალებადი სიდიდეების მნიშვნელობები წლის ნებისმიერი დღისთვის და ნებისმიერი მომენტისთვის ინტერპოლაციის წესით.

### დროის აღრიცხვის შესახებ

კალენდარში რიგი მოვლენებისა მოცემულია თბილისის საშუალო დროით, ზოგი – მსოფლიო დროით, ე.წ. დედამიწის დინამიკური ან ვარსკვლავიერი დროით. სშირად პრაქტიკული ასტრონომიის ამოცანების გადაწყვეტისას მოითხოვება ერთი სისტემის დროის გადაყვანა მეორე სიტემის დროში, ამიტომ, მოკლედ გავეცნოთ დროის აღრიცხვისა და დროს სხვადასხვა სახეობათა ურთიერთდამოკიდებულების ზოგიერთ საკითხს.

დროის მუდმივი ერთეული, რომელსაც თვით ბუნება იძლევა, გარსკვლავიერი დღე-დამეა ანუ დროის ის სანგრძლივობა, რომელშიაც ხდება დედამიწის ერთი სრული შემობრუნება თავისი დერძის გარშემო. ეს შემობრუნება განისაზღვრება გაზაფხულის

ბუნიობის წერტილის მიმართ, რომლის ზედა კულმინაცია ვარს-კვლავიერი დღე-დამის დასაწყისად მიიღება.

მაშასადამე, ვარსკვლავიერი დღე-დამე დროის ის ინტერვალია, რომელიც გაივლის გაზაფხულის ბუნიობის წერტილის ორ თანმიმდევრო ზედა კულმინაციას შორის. ვარსკვლავიერი დღე-დამის დასაწყისიდან მოცემულ მომენტამდე განვლილ დროს, გამოხატულს ვარსკვლავიერი საათებით, წუთებით და წამებით, ეწოდება ვარსკვლავიერი დრო.

მოცემულ მომენტში ზედა კულმინაციაში მყოფი ვარსკვლავის პირდაპირი აღვლენა ეტოლება ვარსკვლავიერ დროს. ამის გამო ცის მერიდიანზე ისეთი ვარსკვლავის გავლის მომენტის ასტრონომიული დაკვირვებით დადგენა, რომლის პირდაპირი აღვლენა ცნობილია, წარმოადგენს პირველწყაროს ზუსტი დროს მისაღებად.

ადამიანის ყოველდღიური საქმიანობა კავშირშია მზის ამოსვლა-ჩასკვლასთან, მის დღედამურ და წლიურ მოძრაობასთან. ცხადია, დრო უნდა იზომებოდეს მზის მიხედვით. მზე თავისი ხილული წლიური მოძრაობისას ვარსკვლავიერ ცაზე ერთ დღე-დამეში გადაადგილდება აღმოსავლეთისკენ დაახლოებით 1°-ით. ამის გამო მზე, ვარსკვლავებთან შედარებით, კულმინაციას აგვანებს ყოველდღიურად დაახლოებით 4 წუთით. მზის ცენტრის ორ თანმიმდევრო ზედა კულმინაციას შორის დროის ხანგრძლივობას ეწოდება ჰეშმარიტი მზისიერი დღე-დამე და იგი 4 ვარსკვლავიერი წუთით უფრო გრძელია ვარსკვლავიერ დღე-დამეზე. ვარსკვლავებისა და მზის კულმინაციის მომენტთა შორის სხვაობა ყოველდღიურად იგრიბება და ერთ წელიწადში ნახრდი ერთ დღე-დამეს გაუტოლდება.

მზის ხილული წლიური მოძრაობა ვარსკვლავიერ ცაზე უთანაბროა, ამიტომ ჰეშმარიტი დღე-დამის სიდიდე არ არის მუდმივი. იგი მცირედ, მაგრამ მაინც იცვლება წლის განმავლობაში და თანაბრად მომუშავე საათს არ შეუძლია სწორად გვიჩვენოს ჰეშმარიტი დრო. მიზანშეწონილია დრო ავითვალოთ ისეთი წარმოსახვითი წერტილით (კ.წ. „საშუალო მზე“), რომელიც, ჰეშმარიტი მზისაგან განსხვავებით, მოძრაობს არა ეკლიპტიკაზე, არამედ ცის ეკვატორზე, ამასთან თანაბრად, და ვარსკვლავიერი ცის სრულ გარშემოკლას უნდება ზუსტად იმდენ ხანს, რამდენსაც ჰეშმარიტი მზე.

დროის ინტერვალს საშუალო მზის ორ ქვედა თანმიმდევრო კულმინაციას შორის ეწოდება საშუალო დღე-დამე.

კალენდარში საშუალო დღე-დამის დასაწყისად მიღებულია საშუალო შუაღამე – სამოქალაქო დღე-დამის დასაწყისი, ე.ი. ის მომენტი, როცა საშუალო მზე იძოვფება ქვედა პულმინაციაში.

საშუალო დღე-დამის ხანგრძლივობა მუდმივი ინტერვალია და ის მიღებულია დროის ძირითად საზომ ერთეულად. დიდი პერიოდის გასაზომად მოხერხებულია ტრაპიკული წელიწადი–დროის ინტერვალი ჰემბარიტი მზის ცენტრის ორ თანმიმდევნო გაგლას შორის გაზაფხულის ბუნიობის წერტილზე.

სამოქალაქო წელთაღრიცხვის საფუძველს ტრაპიკული წელიწადი წარმოადგენს, რომელიც **366.2422** ვარსკვლავიერ ან **365.2422** საშუალო დღე-დამეს შეიცავს. პერიოდი საშუალო დღე-დამე უდრის  $366.2422/365.2422 = 1.002738$  ვარსკვლავიერ დღე-დამეს, ანუ  $24^h 03^m 56^s.5555$ -ს ვარსკვლავიერი დროით. ერთი ვარსკვლავიერი დღე-დამე არის  $365.2422/366.2422 = 0.997270$  საშუალო დღე-დამე, ანუ  $23^h 56^m 04^s.091$  საშუალო დროით.

ასეთი დამოკიდებულება საშუალებას გვაძლევს ვარსკვლავიერი დროის ნებისმიერი ინტერვალი გადავიყვანოთ საშუალო დროის ერთეულებში და პირიქით. ამ დამოკიდებულებათა საფუძველზე შედგენილია გადასაყვანი ცხრილები (**გვ. 102-103**).

როცა ჩვენთან შუაღება, მაშინ დედამიწის ზედაპირის მოპირდაპირე მხარეზე შუაღამება. მაშასადამე, სხვადასხვა პუნქტის მერიდიანზე ერთ აბსოლუტურ მომენტში სხვადასხვა დროა და ამავე მომენტში ადგილობრივ დროთა სხვაობა ტოლია ამ პუნქტების გეოგრაფიულ გრძელთა სხვაობისა. ამგვარად, თუ დედამიწის ორი პუნქტი არ ძევს ერთ მერიდიანზე, მაშინ ყოველ მათგანზე იქნება თავისი განსაკუთრებული დრო.

დედამიწის ზედაპირზე მოცემული პუნქტის დროს ეწოდება ამ პუნქტის ადგილობრივი დრო. მაგალითად: თბილისის, სანქტ-პეტერბურგის, მოსკოვის, გრინვიჩის და სხვათა ადგილობრივი დრო.

გრინვიჩში გამავალი მერიდიანი, საერთაშორისო შეთანხმებით, მიღებულია საწყის ანუ ნულოვან მერიდიანად გეოგრაფიული გრძელის ათვლისას და ამ მერიდიანის საშუალო დროს ეწოდება მსოფლიო დრო.

1986 წლიდან ხილული გეოცენტრული ეფემერიდების ძირითად არგუმენტად, ადრე ხმარებული არგუმენტის – „ეფემერიდული დროის“ ნაცვლად, შემოღებულია არგუმენტი „დედამიწის დინამიკური დრო“. დროის ამ ახალი სკალის ნულ-პუნქტი არის 1977 1,0003725 იანვარი საერთაშორისო ატომური დროით 1977,

1<sup>h</sup>00<sup>m</sup>00<sup>s</sup> იანვრის მომენტში. ამ სკალაში დროის ერთეულია დღე-დაბეჭი, რომელიც შეიცავს ვარსკვლავიერი დროის 86 400 წამს საშ. ზღვის დონეზე.

განსხვავება დედამიწის დინამიკურსა და მსოფლიო დროს შორის ცვალებადობს დროის მსგლელობაში, მაგრამ საერთოდ, ჩვენს ეპოქაში ეს განსხვავება ერთობ მცირეა, ამის გამო დედამიწის დინამიკური დროის არგუმენტით გამოთვლილი ციურ სხეულთა კოორდინატების რიცხვითი მნიშვნელობები ან სხვა მონაცემები იმ მონაცემებთან შედარებით, რაც მსოფლიო დროის არგუმენტითაა მიღებული, იმდენად მცირედ განსხვავდება, რომ მარტივი პრაქტიკული ამოცანების გადაწყვეტისას უმრავლეს შემთხვევაში ეს განსხვავება უგულებელსაყოფია.

საშეადლო ადგილობრივი დროით სარგებლობა ყოველდღიურ ცხოვრებაში მოჟერხებელია, რადგანაც სხვადასხვა გეოგრაფიული გრძელის მქონე ყოველ ორ პუნქტში სხვადასხვა ადგილობრივი დროა. ამ უსერხეულობის თავიდან ასაცილებლად შემოიღეს ზოლური დრო. დედამიწის მოელი ზედაპირი დაიყო მერიდიანებით 24 ზოლად, ნულოვანიდან ოცდამესამემდე.

გრინვიჩის მერიდიანიდან დასავლეთით 7°5-ით და აღმოსავლეთით 7°5-ით დაშორებულ მერიდიანთა შორის მოთავსებული ზოლი მიღებულია ნულოვან ზოლად.

პირველი ზოლი ვრცელდება 7°5 გრძელის მქონე მერიდიანიდან 22°5 გრძელის მქონე მერიდიანამდე, მეორე – 22°5-დან 37°5-მდე და ა. შ. თითოეულ ზოლში მოქცეულ ყოველ პუნქტში მიღებულია ამ ზოლის ცენტრალური, შუაზე გამავალი მერიდიანის საშუალო დრო.

როგორც ჩანს, მოსაზღვრე ზოლთა ცენტრალური მერიდიანების მდებარეობა ერთომეორისაგან 15°-ით განსხვავდება, ამიტომ ორ მეზობელ ზოლში საათის მაჩვენებელი ისარი განსხვავდებას გვიჩვნებს ერთი საათით. მაგალითად, თუ გრინვიჩი (ნულოვან ზოლში) 9 საათია, ამ მომენტში პირველ ზოლში 10 საათია, მეორეში – 11 საათი და ა. შ.

ზოლების საზღვრები ყველგან როდი მიჰყვება მკაცრად მერიდიანებს. თუ სასაზღვრო მერიდიანი ქალაქს ან ერთგვარ ეპონომიკურ რაიონს კვეთს, მაშინ იმისთვის, რომ ერთსა და იმავე ქალაქში ან რაიონში სხვადასხვა დრო არ იხმარებოდეს, ზოლის საზღვარს მერიდიანიდან მოაშორებენ და ქალაქის ან რაიონის ეპონომიკურ-გეოგრაფიულ საზღვარს გააყოლებენ.

საბჭოთა კავშირში 1930 წელს გამოიცა დეკრეტი ზოლურ დროსთან შედარებით საათის ისრის ხელოვნურად ერთი საათით წინ გადაწევის შესახებ.

ამ გადაწევებილების მიზანი იყო ყოველდღიური საზოგადოებრივი ცხოვრების შედარებით ადრე დაწება, რაც გამოიწვევდა დილის ნაოელი პერიოდის გამოყენებას და ამით ერთგვარ კონომიურ მოგებას ენერგიის წყაროების დაზოგვის თვალსაზრისით. ასე განსაზღვრულ დროს დეკრეტული დრო ეწოდება.

დეკრეტული დრო ხელოვნურადაა წინ წაწეული მნის მოძრაობაზე დამყარებულ დროსთან შედარებით დაროგორც გამოირკვა, მისით სარგებლობა უარყოფით ბიოლოგიურ ზემოქმედებებს იწვევს. ამას გარდა, საეჭვოა თვით რეფორმის ეკონომიკური ეფექტურობაც, რადგან ზომიერ სარტყელშიც კი და კერძოდ, საქართველოში, რომ ადარაფერი ითქვას ჩრდილოეთის რაიონებზე, სადაც ზამთრის დღეები უაღრესად მოკლეა, წელიწადის საქმაოდ საგრძნობ პერიოდში დღის განათებული ნაწილი მნიშვნელოვნად ხანმოკლეა, ვიდრე საზოგადოებრივი ცხოვრების აქტიური პერიოდის ხანგრძლივობა. მაშასადამე დღის საქმაოდ დიდ ნაწილში ცხოვრება მაინც გვიწევს ხელოვნური განათების პირობებში, რის გამო მოგება აქტიური ცხოვრების დილით ადრე დაწევების გამო ნეიტრალურია მისი გვიან დამით დამთავრებით. ამას გარდა, კიდევ რომ ეფექტური იყოს საზოგადოებრივი ცხოვრების დაწევების პერიოდული ცვლილებები, იგი შეიძლება უმტკივნეულოდ განხორციელდეს სამუშაოს თუ სწავლის დაწევების საათის ოპერატიული ცვლილებებით, დროის ათვლის პრინციპის დაურღვევლად და საათის ისრის გაუმართლებელი გადაწევის გარეშე, რასაც უარყოფითი შედეგი მოაქვს სხვა მხრივაც – რთულდება დროის აღრიცხვა და წარსულის ამა თუ იმ ეპოქაში მომხდარ მოვლენათა მოქმედების ფიზიკური დღე-დამის დასაწყისის მიმართ ჰემარიტი განლაგების გამოთვლა, აგრეთვე სხვადასხვა წლების კალენდართა ურთიერთშესაბამისობის აღდგენა.

ყოველივე ამის გათვალისწინებით საქართველოს უზენაესი საბჭოს ხესიამ 1990 წლის 20 ივნისს გააუქმა საქართველოს ტერიტორიაზე დეკრეტული დრო. 1994 წლის 24 ოქტომბერს საქართველოს პარლამენტმა, თითქოსდა ეკონომიკური მოსაზრებით, დეკრეტული დრო დროებით აღადგინა. 1998 წლის 29 მარტიდან საქართველოს პრეზიდენტის ბრძანებით დეკრეტული დრო საქართველოს ტერიტორიაზე ქვლავ გაუქმდა, მაგრამ იმავე წლის 14

ნოემბრიდან, მოსახლეობის ნაწილის ინტერესთა გათვალისწინებით, ისევ აღდგა.

მაგრამ საფიქრებელი იყო – და ამას განუწყვეტლივ ითხოვდა ასტრონომიული საზოგადოებრიობაც – რომ ბუნებრივი დრო ოდესმე მაინც ადგებოდა, რადგან იგი კველაზე მეტად შეესაბამება ნებისმიერი ქვეყნის გეოგრაფიულ მდგრადობას და, ამდენად, კველაზე უკეთ შეესატყვისება ქვეყნის საზოგადოებრივი ცხოვრების ოპტიმალურად წარმართვასაც როგორც სახელმწიფოს ფარგლებში, ისე საერთაშორისო მასშტაბებშიც ქვეყნებს შორის სულ უფრო მზარდ კავშირთა გათვალისწინებით. ერთი შესეძვით სწორედ ამგარი გადაწყვეტილება მიიღო საქართველოს პრეზიდენტმა მ. სააკაშვილმა, რომლის N 177 ბრძანებით 2004 წლის 27 ივნისის დამის 3 საათიდან საქართველოს ტერიტორიაზე საათის ისრები 1 საათით უკან გადასწიეს. შეიძლებოდა გვეფიქრა, რომ დეკრეტული დრო გაუქმდა, საფიქრებელი იყო – საბოლოოდ. მაგრამ 2005 წლის 30 ოქტომბერს ახალი ბრძანებით აღარ განხორციელდა ამ მომენტისათვის წინასწარ გათვალისწინებული საათის ისრის ერთი საათით უკან გადაწყვა (იხ. ქვემოთ), ამჯერადაც ენერგიის დაზოგვის მოსახრებათა მოვლენიებით. ეს კი დეკრეტული დროის აღდგენის ტოლფასი იყო. როგორც ვხედავთ, დროის აღრიცხვის სფეროში არცოუ გამართლებული ექსპრიმენტები გრძელდება.

ანალიზიური ვითარებაა ეწ. სეზონური დროების საკითხშიც, რომლის არსი ისაა, რომ წელიწადის სხვადასხვა სეზონში საათის ისრები რიგორიგობით იწევა ხან წინ, ხან უკან. ამ მեრივ მიღწეული ეკონომიკური ეფექტიც ისევე საეჭვოა, როგორც დეკრეტული დროის ზემოგანხილულ შემთხვევაში, და იგი არასოდეს არც ერთ ქვეყანაში ზუსტად არ დაუთვლიათ. ვერც შეძლებდნენ დათვლას, რადგან საათის ისრების წამდაუწუმ გადაწევის თანმხლები ფსიქოლოგიური დისკომფორტის უარყოფითი შედეგები უზარმაზარი კია, მაგრამ მნელია ისინი რიცხვებით გამოიხატოს. ამდენად, საათის ისრის სეზონური გადაწევა-გადმოწევაც უარყოფით მოვლენად მიგვაჩნია. მაგრამ იგი შეთანხმებულად ხდება მსოფლიოს ქვეყნების საკმაოდ დიდ ჯგუფში და იქ დღემდე ძალაშია ხან ეწ. ზამთრის, ხან კი ზაფხულის დრო. საქართველოშიც მრავალი წლის განმავლობაში მოქმედებდა წესი: ყოველი წლის მარტის თვის ბოლო კვირადღის დამის 2 საათიდან საათის ისარი გადაიწეოდა ერთი საათით წინ, ხოლო ოქტომბრის თვის ბოლო კვირადღის დამის 3 საათიდან – ერთი საათით უკან. ეს თითქოსდა საშუალებ-

ბას გვაძლევდა უფრო მეტად გამოგვეყნებინა დღე-დამის ნათელი ნაწილი, რითაც დაიზოგებოდა ენერგეტიკული რესურსები. ოუმცა ამ შემთხვევაშიც შეიძლებოდა სამუშაო დროის რეგულირება საათის ისრების გადაწევის გარეშე. მნელი განსაჭვრები იყო, რომელ სტრატეგიას აირჩევდა საქართველოს მთავრობა ამ მიმართულებით შემდგომში. მოხდა კი ის, რომ ამ საკითხს დღემდე აღარავინ დაბრუნებია. არსებული ვითარება იმას ნიშავს, რომ 2004 წლის 27 ივნისის დამის 3 საათიდან საქართველოში საზაფხულო დრო გაუქმდებულია და მთელი წლის განმავლობაში ვიუქნებო ზოლურ-თან შედარებით 1 საათით წინ წაწეულ დროს.

შემოიღოთ აღნიშვნები:

**s** – ადგილობრივი ვარსკვლავიერი დრო.

**s<sub>0</sub>** – თბილისის ვარსკვლავიერი დრო 0<sup>3</sup>-ზე (შეადამებელი).

**S** – გრინვიჩის ვარსკვლავიერი დრო 0<sup>3</sup>-ზე (შეადამებელი).

**M** – მსოფლიო დრო.

**n** – ადგილობრივი საშუალო დრო.

**D** – დეპრეტული დრო.

**N** – ზოლის ნომერი (საქართველო III ზოლშია).

**λ** – ადგილის გრძელი.

**n<sub>0</sub>** – თბილისის საშუალო დრო.

საქართველოს ტერიტორიისათვის გვექნება შემდეგი და-მოკიდებულებანი:

$$\text{I} \quad D=M+N+1=M+4^h$$

$$\text{II} \quad D=n+4^h\cdot\lambda^h$$

$$\text{III} \quad n=M+\lambda^h$$

$$\text{IV} \quad n=D-4^h+\lambda^h$$

$$\text{V} \quad n_0=D-1^h$$

რიგი მოსაზრებების გამო კალენდრის სხვადასხვა წლების გამოშვებათა ცხრილებში ნახმარია ერთგან ერთგვარი, სხვაგან-სხვაგვარი დრო: მსოფლიო, დედამიწის დინამიკური, ადგილობრივი, თბილისის საშუალო და სხვ., რაც სათანადო ადგილებში აღნიშვნულია. მკითხველი განსაზორებული ყურადღებით უნდა მოეპყროს ამ საკითხს, რათა ყოველთვის სწორად დაუკავშიროს სათანადო მოვლენა თუ მონაცემი დროს და მოახერხოს კიდევ მისი მიუვანა იმ დრომდე, რომელსაც ყოველდღიურ ცხოვრებაში ვხმარობთ. გვახსოვდეს, რომ საინფორმაციო გამოშვებებში ნახსენები და, კერძოდ, რადიოთი გადმოცემული „მოსკოვის დრო“ იგივეა, რაც II ზოლის შეა მერიდიანის საშუალო დეკრ-

ტული დრო (ე.წ. „ზამთრის“ სეზონში), ან ამავე მერიდიანის დეკრეტული პლას ზაფხულის დრო (ე.წ. „ზაფხულის“ სეზონში). იმავე გამოცემებში ნახსენები „თბილისის დრო“ კი ქვეყნაში დეკრეტული დროის მოქმედების პერიოდებში წარმოადგენდა (მაშასადამე, ამჟამადაც წარმოადგენს) III ზოლის შეა მერიდიანის საშუალო დეკრეტულ დროს („ზამთრის“ სეზონში), ან ამავე მერიდიანის დეკრეტულ პლას ზაფხულის დროს („ზაფხულის“ სეზონში, თუ საათის საგაზაფხულო წინააღმდეგ ხორციელდებოდა), დეკრეტული დროის გაუქმებულობის პერიოდებში კი „თბილისის დრო“ უბრალიდ ემთხვეოდა III ზოლის შეა მერიდიანის საშუალო დროს („ზამთრის სეზონში“) ან ერთი საათით წინ იყო მასზე („ზაფხულის სეზონში“). ამჟამად კი „თბილისის დრო“ მოელი წლის მანძილზე 1 საათით უცნობებს III ზოლის შეა მერიდიანის ადგილობრივ საშუალო დროს. უფრო გასაგებად თუ ვიტყვით, დეკრეტული და საზაფხულო დროების ერთდროული მოქმედების პირობებში თბილისში შეადგე „ზამთრის სეზონში“ დგებოდა „თბილისის დროით“ 13, „ზაფხულის სეზონში“ კი 14 საათზე. ამჟამად კი ჩვენს ქვეყნაში შეადგე მოელი წლის განმავლობაში თბილისის დროით 13 საათზე დგება.

ვიმეორებთ, 2004 წლის 27 ივნისის შემდეგ საათის ისრის სეზონური წინ და უკან გადაწევა შეწყვეტილია. ეს სიტუაცია შეიძლება განვიხილოთ ან როგორც დეკრეტული დროის არსებობა, მოელი წლის მანძილზე „ზამთრის“ დროის ფორმით, ან, როგორც დეკრეტული დროის გაუქმებულობა, მაგრამ მოელი წლის მანძილზე „ზაფხულის“ დროის მოქმედებით. ეს მხოლოდ ინტერპრეტაციის საკითხია. დეკრეტული და სეზონური დროების მიმართ საკუთარი პოზიცია მთავრობას აშკარა ფორმით ჯერაც არ გამოუხატავს, ამიტომ არაა ცხადი, საბოლოოა თუ არა არსებული მდგომარეობა. ის კი ევროპის ქვეყნებში არსებულისგან განსხვავებულია.

## მთელი

**(გვ. 22-45).** ლუწი გვერდებზე III, IV, V სვეტებში  $41^{\circ}$ ,  $42^{\circ}$  და  $43^{\circ}$  გეოგრაფიული განედის მქონე პუნქტებისათვის მოცემულია მზის ამოსვლის, ხოლო VII, VIII, IX სვეტებში კი ჩასვლის მომენტები ამ პუნქტების საშუალო დროით. მზის ამოსვლის და ჩასვლის მომენტებად ითვლება მისი დისკოს ზედა კიდის ამოსვლისა და ჩასვლის მომენტები ჭეშმარიტ პორიზონტზე. ადგილის რეალური პორიზონტი ყოველთვის განსხვავდება ჭეშმარიტისაგან და, მაშა-

სადამე, მოცემულ ადგილას ამოსვლა-ჩასვლის ფაქტობრივი მომენტის რამდენიმე წუთით (მაღალი მთების სიახლოეს შეიძლება 1 საათზე მეტითაც) განსხვავებულია გამოთვლილი მომენტებისაგან (ეს ეხება სხვა ციურ სხეულთა ამოსვლა-ჩასვლასაც).

მზის ამოსვლა-ჩასვლის მოცემული მომენტის საქართველოს სხვადასხვა პუნქტისათვის, თბილისის დროით გამოსახვისას, ერთმანეთისგან შეიძლება განსხვავდებოდეს 40 წუთამდე.

მათ საპოვნელად უნდა მოვახდინოთ ინტერპოლაცია კალენდრის ცხრილების მონაცემებისა მოცემული პუნქტის ფ განედისათვის, შემდეგ კი მიღებულ მომენტს დაგმატო (3<sup>h</sup>-λ) სიღილე, სადაც λ მოცემული პუნქტის გრძელია, გამოსახული საათებითა და წუთებით.

X სვეტი მოიცავს მზის ამოსვლისა და ჩასვლის ადგილის გეოდეზიური A აზიმუტის რიცხვით მნიშვნელობებს თბილისისათვის. A ათვლება პორიზონტის წრეწირზე ჩრდილოეთის წერტილიდან აღმოსავლეთით (+) ნიშნით და დასავლეთით (-) ნიშნით. საქართველოს სხვა პუნქტებისათვის A-ს ხილიდე უმნიშვნელოდ იქნება განსხვავებული ამ მნიშვნელობებისაგან. ეს მონაცემები გამოიყენება იმისათვის, რომ წინასწარ გავიგოთ პორიზონტის რა ადგილას უნდა მოველოდეთ მზის ამოსვლა-ჩასვლას. ადგილი მისახვედრია რომ, თუ A=90°, მზე ზუსტად აღმოსავლეთის წერტილში ამოდის (ეს ხდება გაზაფხულის და შემოდგომის დღე-დამტოლობის დღეებში). ზაფხულის თვეებში A<90°; მზე ამოდის აღმოსავლეთისა და ჩრდილოეთის წერტილებს შორის.

კერტ გვერდებზე III სვეტში მოცემულია დღეები იულიუსის პერიოდისა, რომელიც შეიცავს 7980 წელიწადს და რომლის დასაწყისად ითვლება ჩვენს წელთაღრიცხვამდე 4713 წლის 1 იანვრის გრინვიჩისეული საშუალო შუადღე. მაგალითად, 2024 წლის 1 თებერვალს (გვ. 25) ჩვენს წელთაღრიცხვამდე 4713 წლის 1 იანვრიდან გასულია 2 460 341,5 დღე-დამზ.

იულიუსის აღრიცხვით დღეთა რაოდენობას ყოველ ორ თარიღს შორის მარტივად და შეუცდომლად გავიგებთ. ამიტომ ის ხშირად გამოიყენება ასტრონომიაში.

თვით იულიუსის პერიოდი უმცირესი საერთო ჯერადია 28, 19 და 15-წლიანი პერიოდებისა და ამ რიცხვთა ნამრავლით მიიღება: 28X19X15=7980. ყოველი 28 წლის შემდეგ მეორდება კალენდარულ თარიღთა შესაბამისი კვირის დღეები, ყოველი 19 წლის შემდეგ (ე.წ. მეტონის ციკლი) დაახლოებით მეორდება კალენდარულ თარიღთა შესაბამისი მთვარის ფაზები, 15-წლიანი პერიო-

დი კი ძველი რომის საბეგარო სისტემაში გამოიყენებოდა. ამრიგად, იულიუსის პერიოდის გასვლის შემდეგ 1 იანვარს კვლავ დადგება ამ სამივე შემადგენელი პერიოდის დასაწყისი.

### მთვარე

(გვ. 46-49). II, IV და VI სეკტემბრი მოცემულია მთვარის ამოსვლის, III, V და VII სეკტემბრი კი ჩასვლის მომენტები, თბილისისათვის ადგილობრივი საშუალო დროით წლის ყოველი დღისთვის. მთვარის ამოსვლა-ჩასვლის მომენტები საქართველოს სხვადასხვა პუნქტში ადგილობრივი საშუალო დროით შეიძლება ერთმანეთისგან განსხვავდებოდეს დაახლოებით 10 წუთამდე, ამ ცხრილში მოყვანილი მომენტებისაგან კი დაახლოებით 20 წუთამდე (თბილისის დროით გამოსახვისას ეს სხვაობანი შეიძლება 1 საათს აღწევდეს). დეკრეტულ დროზე გადასაყვანად ამ მონაცემებს უნდა დაემატოს 1 საათი, საზაფხულო დროზე გადასაყვანად კი, საონადო შუალედში, კიდევ ერთი საათი. რეალურმა პორიზონტმა, მაღალი მთების სიახლოებებს, ცხადია, შეიძლება საგრძნობი კორექტივი შეიტანოს მთვარის ამოსვლა-ჩასვლის რეალურ მომენტებში.

### მთვარის ზაზები

(გვ. 50). ცხრილში მოცემულია მთვარის ძირითადი ფაზების მომენტები თბილისის საშუალო დროით. ნაწვენებია დღე, საათი და წუთი.

მაგალითად, იანვარში, ახალმთვარეობა 29-შია; ეს ფაზა ზუსტად 15 საათსა და 37 წუთზე დგება. იმის გამო, რომ მთვარის თვე კალენდარულ თვეზე მოკლეა, ისეც შეიძლება მოხდეს, რომ ერთი და იგივე ფაზა მოცემულ თვეში განმეორდეს, მაგალითად 1 და 31 აგვისტოს.

### პლანეტები

(გვ. 51-57). მოცემულია 2025 წლის განმავლობაში პლანეტების მდებარეობისა და მათი ხილვადობის აღწერილობა. (გვ. 58-67). წარმოდგენილია ცხრილები, რომელთა მე-2, მე-3 და მე-4 სეკტემბრი შეიცავს პლანეტების ამოსვლის, ზედა კულმინაციის და ჩასვლის მომენტებს თბილისში, ადგილობრივი საშუალო დროით, დაწყებული 1 იანვრიდან ყოველი შემდეგი მე-7 დღისთვის, მთელი წლის მანძილზე. ეს მომენტები საქართველოს სხვა პუნქტები-

სათვის თბილისის დროით შეიძლება განსხვავდებოდეს 40 °-უ-თამდე. მომენტები და კორდინატები მოცემულია ასე იშვიათად იმის გამო, რომ ისინი შედარებით მცირედ ცვალებადობენ. ინ-ტერპოლაციით გამოვითვლით ამ სიდიდეებს ნებისმიერი დღისთვის პრაქტიკულად საკმარისი სიზუსტით. მე-5, მე-6, მე-7 და მე-8 სვეტების მონაცემები მიგვითოთებს სად უნდა მოვალოდეთ ცოორ-მილის ამოსვლას (ჩასვლას), რა მანძილზე უნდა იმყოფებოდეს დედამიწის ცენტრიდან და რომელ თანავარსკვლავედში უნდა ვეძებდეთ მას.

თუ გვაინტერესებს თბილისის დროით რომელ საათზე ამოვა, გაივლის ზედა კულმინაციაში ან ჩავა ესა თუ ის პლანეტა, კალენ-დარულ მონაცემებს უნდა დაგვმატოთ 1 °-ითი. საჭმე ისაა, რომ თბილისის გრძელი 1°-ით ნაკლებია მესამე სასაათო ზოლის შეა მერიდიანის გრძელზე, რომლის ადგილობრივ დროს „თბილისის დრო“ ეწოდება. ამიტომ „თბილისის დრო“ 1 °-უთით წინაა ქ.თბი-ლისის ადგილობრივ დროზე და სწორედ ამას უკრძნობა ზემო-თაღიშნული წესი.

## სამოქალაქო და ასტრონომიული გინდი და დღის ხანგრძლივობა

(გვ. 68-69). საღამოს ბინდის დასაწყისი და დილის ბინდის დასასრული მზის დისკოს ზედა კიდის პორიზონტის ხაზთან შეხების მომენტებია.

სამოქალაქო ბინდის ხანგრძლივობა უდრის დროის იმ ინტერ-გალს, რაც მზეს დასჭირდება პორიზონტის ქვემოთ 6°-ით ჩაშვე-ბისათვის (ან ამ მანძილის გავლისათვის ქვევიდან ზევით-პორი-ზონტამდე), ხოლო ასტრონომიული ბინდისა –პორიზონტს ქვე-მოთ 18°-ით ჩაშვებისათვის.

VI და VII სვეტებში მოცემულია ბინდის ხანგრძლივობა. მისი გამოოვლა ადგილია, როგორც სხვაობისა, მაგალითად, მზის ამოსვლის მომენტსა და დილის ბინდის დასაწყისის მომენტს შორის (სათანადო ცხრილიდან).

VIII სვეტში მოცემულია დღის ხანგრძლივობა, რაც დროის ინ-ტერვალია დილის ბინდის დასასრულიდან საღამოს ბინდის და-საწყისამდე.

ეს ცხრილი შედგენილია  $42^{\circ}$  განედისათვის და გამოსადეგია საქართველოს მთელი ტერიტორიისთვის.

## **მზისა და მთვარის დაბნელებანი**

(გვ. 70-71). მოცემულია ცნობები მზისა და მთვარის დაბნელებების შესახებ.

2025 წელს მოხდება მზის ორი დაბნელება: 29 მარტსა და 21-22 სექტემბერს ორივე ნაწილობრივია და საქართველოს ტერიტორიიდან არცერთი მათგანი არ გამოჩნდება. აგრეთვე მოხდება მთვარის ორი დაბნელება 14 მარტსა და 7 სექტემბერს. ორივე მათგანი სრული იქნება. საქართველოს ტერიტორიიდან გამოჩნდება მხოლოდ 7 სექტემბრის დაბნელება.

## **შესანიშნავი მეტოროლი ნაკადები**

(გვ. 72). მეტეორთა ნაკადების სიაში შეტანილია ძირითადად მხოლოდ ისეთები, რომელთა დაკავირვებისათვის საუკეთესო პირობებია მეტეორების სიხშირისა და ხილვადობის მხრივ.

მე-2 სვეტში მოცემულია ნაკადის სახელწოდება იმ თანავარსკვლავების ლათინური დასახელებით, რომელშიც იმყოფება მისი რადიანტი ანუ წერტილი, საიდანაც თითქოს შემოიჭრებიან ცაზე მოცემული ნაკადის მეტეორები.

მე-4 სვეტი შეიცავს მაქსიმუმის დღეს, რომელიც შეესაბამება წევნის ცაზე შემოჭრილ მეტეორთა მაქსიმალურ რაოდენობას ერთ საათში. მე-8 სვეტში მოცემულია მეტეორთა რაოდენობა, რაც წარმოადგენს უმთვარო დამით ერთი დამკავირვებლის მიერ ერთ საათში დათვლილ მეტეორთა რიცხვს.

## **გარსპლაზოა საშუალო მფლიბებანი**

### **2025 წლის მომენტისათვის**

(გვ. 73-76). მოცემულია კაშკაშა გარსკვლავების საშუალო მდებარეობების ზუსტი კეპატორული კოორდინატები. ამ ცხრილში შევიდა 3.5 გარსკვლავიერ სიდიდეზე უფრო კაშკაშა კველა გარსკვლავი, რომელთა დახრილობა  $+90^{\circ}$ -სა და  $-30^{\circ}$ -ს შორისაა.

## **ცვალებაზო გარსპლაზები**

(გვ. 77-80). გარსკვლავებს, რომელთა სიკაშკაშე არასტაბილურია, ცვალებად გარსკვლავებს უწოდებენ. მათი სიკაშკაშის ცვალებადობის ხასიათის შესწავლა საინტერესო მეცნიერულ ამოცანას წარმოადგენს. სიკაშკაშის ცვალებადობა გამოიწვევს ლია ან ფიზიკური მოვლენებით თვით გარსკვლავებში (მაგ. ცვევიდები), ან ოპტიკური ეფექტით, რაც გამოიხატება ორმაგი გარსკვლავების კომპონენტების მიერ ერთმანეთის პერიოდული

დაბნელებით (ბნელებადი ცვალებადი ვარსკვლავები). ცხრილში მოყვანილია მონაცემები ისეთი ცვალებადი ვარსკვლავებისათვის, რომელთა დაკვირვება მისაწვდომია მცირე ზომის ტელესკოპებით.

IV სეგეტში მოცემულია ვარსკვლავის მაქსიმალური და მინიმალური სიკაშაშის მნიშვნელობანი, გამოხატული ვარსკვლავიერი სიდიდეებით. მათი სხვაობა გვაძლევს სიკაშაშის ცვალებადობის ფარგლებს, ანუ ამპლიტუდას.

V სეგეტში მოცემულია სიკაშაშის მაქსიმუმის (ბნელებადი ცვალებადი ვარსკვლავების შემთხვევაში მინიმუმის) მომენტის გამოხათვლელი ფორმულა, რომელშიც პირველი წევრი წარმოადგენს სიკაშაშის მაქსიმუმის (მინიმუმის) საწყის მომენტს, გამოხატულს იულიუსის დღეებით; მეორე წევრი კი წარმოადგენს ცვალებადობის პერიოდისა და E ფაქტორის ნამრავლს, გამოხატულს დღე-დამებით. E ფაქტორი ნიშნავს საწყისი მომენტიდან დაკვირვების მომენტამდე გასული პერიოდების რიცხვს.

დაკვირვება ისეთ ცვალებად ვარსკვლავზე, რომელიც სწრაფად იცვლის სიკაშაშეს და ჩანს შეუიარადებელი თვალით, ერთობ საინტერესოა. იმისთვის, რომ სწორი წარმოდგენა ვიქონიოთ სხვადასხვა ტიპის ვარსკვლავთა ცვალებადობის სასიათზე, საჭიროა მათზე სისტემატური დაკვირვება.

მოყვანილია მონაცემები რამდენიმე გრძელპერიოდიანი ცვალებადისა და ერთი ტიპიური ცვალებადი ვარსკვლავის პერსევრის წ-ს სიკაშაშის ცვალებადობის შესახებ, რომელზეც დაკვირვება ადვილი მოსახერხებელია.

### რეზიარციის ცხრილები

(გვ. 83-84). დედამიწის ატმოსფერო ამრუდებს ციურ მნათობთა სხივების სელას, სახელდობრ, აახლოებს მას ერტიკალურ მიმართულებასთან. ამის გამო მნათობები მათი ჰემიარიტი მდგბარეობებისაგან რამდენადმე ზენიტისკენ გადაადგილებული გვერდებისა. ამ გადაადგილების სიდიდეს და ოვით მოვლენასაც რეფრაქციას უწოდებენ (რეფრაქცია გარდატეხას ნიშნავს). რეფრაქციის სიდიდე სხვადასხვაა ზენიტიდან სხვადასხვანაირად დაშორებული მნათობებისთვის და, ამას გარდა, რამდენადმე დამოკიდებულია ატმოსფეროს ტემპერატურასა და ბარომეტრულ წნევაზე.

რეფრაქციის სიდიდის ცოდნა აუცილებელია, რათა მნათობების ნამდვილი, კატალოგებში აღნიშნული მდებარეობების მიხე-

დვით გამოვითვალოთ ცაზე მათი ხილული მდებარეობანი ან პირიქით: დაკვირვებით განსაზღვრული მნათობების ხილული კოორდინატების საშუალებით განვსაზღვროთ მათივე ჭეშმარიტი კოორდინატები.

მოგვავს საშუალო რეფრაქციის, აგრეთვე რეფრაქციაზე წნევისა და ტემპერატურის გავლენის ამსახველი ცხრილები.

### **ცხობები რამდენიმე უკაშებაში და უახლოესი გარსპლაზის შესახებ**

(გვ. 85-86). მოცემულია ძირითადი ცნობები ბრწყინვალების, მანილის, ტემპერატურის და სხვათა შესახებ.

### **ორჯერადი გარსპლაზის კომპონენტებს შორის მგეტრად განსხვავდული ფარგლები**

(გვ. 86). დაკვირვებისთვის თავისებურ ინტერესს წარმოადგენს ორჯერადი ვარსკვლავები, რომელთა კომპონენტებს განსხვავებული ფერები ახასიათებთ, რაც მათი ტემპერატურების სხვადასხვაობით არის გამოწვეული. ცხრილში მოცემულია ასეთი კაშაშა სისტემები.

### **ორჯერადი გარსპლაზი**

(გვ. 87). ორ ვარსკვლავს, რომელიც მათი საერთო სიმძიმის ცენტრის გარშემო ბრუნვავენ, ორჯერად ვარსკვლავს უწოდებენ. თუ ასეთ სისტემას ქმნის სამი ვარსკვლავი, მას სამჯერადს უწოდებენ და ა.შ. ორჯერად სისტემაში უფრო კაშაშა ვარსკვლავს აღნიშნავენ როგორც A კომპონენტს, მეორეს კი როგორც B კომპონენტს.

ცხრილში მოცემულია შედარებით კაშაშა ჯერადი სისტემები, რომელთა კომპონენტებს შეირჩება არცოუ ძალიან მცირეა. მათი ჯერადობის შემჩნევა და დაკვირვება შესაძლებელია მცირე ზომის ტელესკოპით ან ძლიერი დურბინით.

### **დია და სცენული გროვები**

(გვ. 88). სივრცის შედარებით მცირე მოცულობაში ვარსკვლავთა სივრცულ შეჯგუფებას ეწოდება ვარსკვლავთა გროვა. თუ ვარსკვლავები თავმოყრილია სფეროს ან ბრუნვითი ელიფსოიდის ფორმის მქონე არეში, მაშინ ასეთ გროვას ეწოდება სფერული. სფერულ გროვაში შეიძლება შედიოდეს ათეულობით ათასი ვარსკვლავი. ასეთ გროვებში ვარსკვლავების ერთმანეთთან მჟი-

დრო განლაგების გამო არ ხერხდება მათი რაოდენობის ზუსტი დაღვენა და მნელდება ცალკეული ვარსკვლავის ბრწყინვალების გაზომვა. თუ ვარსკვლავები თავმოყრილია უწესო ფორმის სახით და ხშირად ისინი ადვილად არ გამოირჩევიან მათ გარშემო მდებარე ვარსკვლავთაგან, მაშინ ასეთებს ვარსკვლავთ დია გროვებს უწოდებენ. ასეთ გროვებში შეიძლება შედიოდეს რამდენიმე ასეული ვარსკვლავი. ცხრილში თავმოყრილ ვარსკვლავთა გროვების დაკვირვება მცირე ზომის ტელესკოპითაც შეიძლება.

### გნელი, ჰიფუზური და პლანეტსახის ნისლეულები

(გვ. 89). მოყვანილია ჩვენს გალაქტიკაში შემაგალი ზოგიერთი სხვადასხვა ფორმის, სუსტად მნათი აირებისა და კოსმოსური მტვრის მასები, ან დიფუზური (დიფ) ნისლეულები. ასეთი მასები, თუ არ ანათებენ, ბნელ (ბნ) ნისლეულებად იწოდებიან. თუ ნისლეული მცირე ზომის არეს იჭრს, მრგვალი ან შებრტყელებული ფორმისაა და მის ცენტრში ვარსკვლავი გამოსჭვივის, მაშინ ასეთს პლანეტსახის (პლ) ნისლეული ეწოდება.

### გალაქტიკები

(გვ. 90). მოყვანილია ვარსკვლავთა სისტემები, რომლებიც ჩვენი ვარსკვლავთ სისტემის ანუ ჩვენი გალაქტიკის მსგავსია და იმყოფება ზესივრცეში ჩვენი გალაქტიკის გარეთ. ასეთი სისტემები, ანუ გალაქტიკები სამყროში აურაცხელი რაოდენობითაა. გალაქტიკები თავიანთი ფორმის და ევოლუციის მიხედვით იყოფიან სპეციფიკურ ჯგუფებად: E, Sb, Sc და სხვ.

### სხვა მონაცემები

შემდგომ გვერდებზე (გვ. 91-104) მოცემულია ძირითადი ცნობები პლანეტებსა და მათ თანამგზავრებზე: დედამიწაზე, მთვარესა და მზეზე: მოცემულია ზოგიერთი მუდმივი სიდიდის მნიშვნელობანი, სხვა დამხმარე ცხრილები და აღნიშვნებიც. ყველა საჭირო განმარტება თვით ცხრილებში მოიპოვება. აღნიშნავთ მხოლოდ, რომ საერთაშორისო ასტრონომიული კავშირის გადაწვეტილების შესაბამისად, ჩვენი კალენდრის 2008 წლის გამოშვებიდან დაწყებული, პლუტონი ამოვიდეთ მზის სისტემის დიდი პლანეტების ცხრილიდან. ამას გარდა, განვაახლეთ პლანეტების თანამგზავრთა ცხრილები ბოლო წლებში აღმოჩნდილ თანამგზავრთა გათვალისწინებით.



გან

2025

ოფის რიცხვი	მკირის დღე	ამოსვლა ადგილობრივი საშუალო დროით			ცენტრის ზედა გულმინაცია თბილისში თბილისის საშუალო დროით	ჩასვლა ადგილობრივი საშუალო დროით			ამოსვლისა და ჩასვლის აზიგო	
		41°	42°	43°		41°	42°	43°		
0 ა 6 3 ა რ 0										

1	ოთ	7 25	7 28	7 32	12 03 36	16 42	16 39	16 36	121
2	ხით	7 25	7 28	7 32	12 04 04	16 43	16 40	16 37	121
3	პრ	7 25	7 28	7 32	12 04 32	16 44	16 41	16 38	120
4	შბ	7 25	7 28	7 32	12 04 59	16 45	16 42	16 38	120
5	პპ	7 25	7 28	7 31	12 05 26	16 46	16 43	16 40	120
6	ორ	7 25	7 28	7 31	12 05 53	16 47	16 44	16 41	120
7	სბ	7 25	7 28	7 31	12 06 19	16 48	16 45	16 42	120
8	ოთ	7 25	7 28	7 31	12 06 44	16 49	16 46	16 43	120
9	ხით	7 25	7 28	7 31	12 07 09	16 50	16 47	16 44	119
10	პრ	7 24	7 28	7 30	12 07 33	16 51	16 48	16 45	119
11	შბ	7 24	7 27	7 30	12 07 57	16 52	16 49	16 46	119
12	პპ	7 24	7 27	7 30	12 08 20	16 53	16 50	16 47	119
13	ორ	7 24	7 26	7 30	12 08 43	16 54	16 51	16 48	119
14	სბ	7 23	7 26	7 29	12 09 05	16 55	16 52	16 50	118
15	ოთ	7 23	7 26	7 28	12 09 26	16 56	16 54	16 51	118
16	ხით	7 22	7 25	7 28	12 09 47	16 58	16 55	16 52	118
17	პრ	7 22	7 24	7 28	12 10 07	16 59	16 56	16 53	118
18	შბ	7 22	7 24	7 27	12 10 27	17 00	16 58	16 54	117
19	პპ	7 22	7 24	7 26	12 10 45	17 01	16 59	16 56	117
20	ორ	7 21	7 23	7 26	12 11 03	17 02	17 00	16 57	117
21	სბ	7 20	7 22	7 25	12 11 20	17 04	17 01	16 58	116
22	ოთ	7 19	7 22	7 24	12 11 37	17 05	17 02	17 00	116
23	ხით	7 18	7 21	7 23	12 11 52	17 06	17 04	17 01	116
24	პრ	7 18	7 20	7 22	12 12 07	17 08	17 05	17 02	115
25	შბ	7 17	7 19	7 22	12 12 21	17 09	17 06	17 03	115
26	პპ	7 16	7 18	7 21	12 12 35	17 10	17 08	17 05	115
27	ორ	7 15	7 18	7 20	12 12 47	17 11	17 09	17 06	114
28	სბ	7 14	7 17	7 20	12 12 59	17 12	17 10	17 08	114
29	ოთ	7 14	7 16	7 18	12 13 10	17 13	17 11	17 09	114
30	ხით	7 13	7 15	7 18	12 13 20	17 14	17 12	17 10	113
31	პრ	7 12	7 14	7 16	12 13 29	17 16	17 14	17 11	113



თვეის რიცხვი	წლის დასახურის ხილან განვლილი მშენ ნაწილი	იულიუსის ბეჭედი კერივილის დღე	ღეღამიწის დინამიკური დროით 0 <sup>h</sup> -9 <sup>h</sup>				სიმული რადიუსი	გარსებლაპირი დრო 0 <sup>h</sup> -9 <sup>h</sup> თბილის სა- შეადგი დროით
ხოლოელია			ხოლოელია	ხოლოელია				
0 9 6 3 5 0								

		2460	h m s	h m s	° .	' "	h m s	
1	0.002	676.5	6 43 34	18 46 59	-23 01	16 18	6 43 04	
2	.004	677.5	6 47 31	18 51 24	22 56	16 18	6 47 01	
3	.007	678.5	6 51 27	18 55 48	22 50	16 18	6 50 57	
4	.010	679.5	6 55 24	19 00 12	22 44	16 18	6 54 54	
5	.013	680.5	6 59 20	19 04 36	22 38	16 18	6 58 50	
6	.015	681.5	7 03 17	19 08 59	22 31	16 18	7 02 47	
7	.018	682.5	7 07 13	19 13 22	22 24	16 18	7 06 43	
8	.021	683.5	7 11 10	19 17 44	22 16	16 17	7 10 40	
9	.024	684.5	7 15 07	19 22 06	22 08	16 17	7 14 36	
10	.026	685.5	7 19 03	19 26 27	22 59	16 17	7 18 33	
11	.029	686.5	7 23 00	19 30 47	21 50	16 17	7 22 30	
12	.032	687.5	7 26 56	19 35 07	2140	16 17	7 26 26	
13	.034	688.5	7 30 53	19 39 27	21 31	16 17	7 30 23	
14	.037	689.5	7 34 49	19 43 46	21 20	16 17	7 34 19	
15	.040	690.5	7 38 46	19 48 04	21 10	16 17	7 38 16	
16	.043	691.5	7 42 42	19 52 21	20 58	16 17	7 42 12	
17	.045	692.5	7 46 40	19 56 38	20 47	16 17	7 46 10	
18	.048	693.5	7 50 36	20 00 54	20 35	16 17	7 50 06	
19	.051	694.5	7 54 32	20 05 10	20 23	16 17	7 54 02	
20	.054	695.5	7 58 29	20 09 25	20 10	16 17	7 57 59	
21	.056	696.5	8 02 25	20 13 39	19 57	16 17	8 01 55	
22	.059	697.5	8 06 22	20 17 52	19 43	16 17	8 05 52	
23	.062	698.5	8 10 26	20 22 05	19 29	16 16	8 09 56	
24	.065	699.5	8 14 15	20 26 16	19 15	16 16	8 13 45	
25	.067	700.5	8 18 11	20 30 27	19 01	16 16	8 17 41	
26	.070	701.5	8 22 08	20 34 37	18 46	16 16	8 21 38	
27	.073	702.5	8 26 05	20 38 47	18 30	16 16	8 25 35	
28	.076	703.5	8 30 01	20 42 55	18 15	16 16	8 29 31	
29	.078	704.5	8 33 58	20 47 03	17 59	16 16	8 33 28	
30	.081	705.5	8 37 54	20 51 10	17 43	16 16	8 37 24	
31	0.084	706.5	8 41 51	20 55 16	-17 26	16 16	8 41 21	



გე

2025

თვეის რიცხვი	მკინარე დღე	ამოსვლა ადგილობრივი საშუალო დროით			ცენტრის ზედა გულმინაცია თბილისში თბილისის საშუალო დროით	ჩასვლა ადგილობრივი საშუალო დროით			ადამიანის აზისტური ჩასვლის და	
		41°	42°	43°		41°	42°	43°		
0 3 8 9 9 3 8 0										
1	შბ	h m	h m	h m	h m s	h m	h m	h m	°	112
2	კვ	7 10	7 12	7 14	12 13 45	17 18	17 16	17 14		112
3	ორ	7 09	7 11	7 13	12 13 51	17 20	17 18	17 15		112
4	სმ	7 08	7 10	7 12	12 13 57	17 21	17 19	17 17		111
5	ოთ	7 07	7 09	7 11	12 14 02	17 22	17 20	17 18		111
6	ხთ	7 06	7 08	7 10	12 14 06	17 23	17 21	17 19		110
7	პრ	7 04	7 06	7 08	12 14 10	17 24	17 22	17 20		110
8	შბ	7 03	7 05	7 07	12 14 12	17 26	17 24	17 22		110
9	კვ	7 02	7 04	7 06	12 14 14	17 27	17 25	17 23		109
10	ორ	7 01	7 03	7 05	12 14 15	17 28	17 26	17 24		109
11	სმ	7 00	7 02	7 03	12 14 15	17 29	17 28	17 26		108
12	ოთ	6 59	7 00	7 02	12 14 15	17 30	17 29	17 27		108
13	ხთ	6 58	6 59	7 00	12 14 13	17 32	17 30	17 28		107
14	პრ	6 56	6 58	6 59	12 14 11	17 33	17 31	17 30		107
15	შბ	6 54	6 56	6 58	12 14 09	17 34	17 32	17 31		106
16	კვ	6 53	6 54	6 56	12 14 05	17 35	17 34	17 32		106
17	ორ	6 52	6 53	6 54	12 14 01	17 36	17 35	17 34		105
18	სმ	6 50	6 52	6 53	12 13 57	17 38	17 36	17 35		105
19	ოთ	6 49	6 50	6 52	12 13 51	17 39	17 38	17 36		105
20	ხთ	6 48	6 49	6 50	12 13 45	17 40	17 39	17 38		104
21	პრ	6 46	6 48	6 49	12 13 38	17 42	17 40	17 39		104
22	შბ	6 45	6 46	6 48	12 13 31	17 43	17 41	17 40		103
23	კვ	6 44	6 45	6 46	12 13 23	17 44	17 42	17 42		103
24	ორ	6 42	6 44	6 44	12 13 14	17 45	17 44	17 43		102
25	სმ	6 40	6 42	6 43	12 13 05	17 46	17 45	17 44		102
26	ოთ	6 39	6 40	6 41	12 12 55	17 47	17 46	17 45		101
27	ხთ	6 38	6 38	6 40	12 12 45	17 48	17 48	17 46		101
28	პრ	6 36	6 37	6 38	12 12 34	17 50	17 49	17 48		100



БЕЛ

2025

№	Номер документа	Наименование учебного заведения	Наименование учебной группы	Фамилия, имя, отчество ученика	Для подтверждения достижения 0-й ступени			Оценка занятия
					богемлю α	богемлю δ	дата и место выполнения	
1	0.086	2460	h m s	h m s	°	"	h m s	8 45 17
		707.5	8 45 47	20 59 21	-17 09	16 15		
2	.089	708.5	8 49 44	21 03 25	16 52	16 15	8 49 14	
3	.092	709.5	8 53 40	21 07 29	16 35	16 15	8 53 10	
4	.095	710.5	8 57 37	21 11 31	16 17	16 15	8 57 07	
5	.098	711.5	9 01 34	21 15 33	15 59	16 15	9 01 04	
6	.100	712.5	9 05 30	21 19 34	15 41	16 15	9 05 00	
7	.103	713.5	9 09 27	21 23 35	15 22	16 15	9 08 57	
8	.106	714.5	9 13 23	21 27 34	15 03	16 14	9 12 53	
9	.108	715.5	9 17 20	21 31 33	14 44	16 14	9 16 50	
10	.111	716.5	9 21 16	21 35 31	14 25	16 14	9 20 46	
11	.114	717.5	9 25 13	21 39 28	14 05	16 14	9 24 43	
12	.117	718.5	9 29 09	21 43 24	13 45	16 14	9 28 39	
13	.119	719.5	9 33 06	21 47 20	13 25	16 13	9 32 36	
14	.122	720.5	9 37 03	21 51 15	13 05	16 13	9 36 33	
15	.125	721.5	9 40 59	21 55 09	12 45	16 13	9 40 29	
16	.128	722.5	9 44 56	21 59 02	12 24	16 13	9 44 26	
17	.130	723.5	9 48 52	22 02 55	12 03	16 13	9 48 22	
18	.133	724.5	9 52 49	22 06 47	11 42	16 12	9 52 19	
19	.136	725.5	9 56 45	22 10 38	11 21	16 12	9 56 15	
20	.138	726.5	10 00 42	22 14 29	10 59	16 12	10 00 12	
21	.141	727.5	10 04 38	22 18 19	10 38	16 12	10 04 08	
22	.144	728.5	10 08 35	22 22 09	10 16	16 12	10 08 05	
23	.147	729.5	10 12 32	22 25 57	9 54	16 11	10 12 02	
24	.150	730.5	10 16 28	22 29 46	9 32	16 11	10 15 58	
25	.152	731.5	10 20 25	22 33 33	9 10	16 11	10 19 55	
26	.155	732.5	10 24 21	22 37 20	8 48	16 11	10 23 51	
27	.158	733.5	10 28 18	22 41 07	8 25	16 10	10 27 48	
28	0.160	734.5	10 32 14	22 44 52	-8 02	16 10	10 31 44	



օ հ ա շ

2025

օրին թույլեցի քայլություն	ջեղագիտական դիմում	ամռավելաց ազգային մասնակիցներից սամայականությունը			Եղբայրության կազմակերպության ազգային մասնակիցներից սամայականությունը			Բարեկարգացնելու համար ազգային մասնակիցներից սամայականությունը		
		41°	42°	43°	41°	42°	43°	ամռավելաց ազգային մասնակիցներից սամայականությունը		

Ց Ա Ր Գ Ո

		h	m	h	m	h	m	s	h	m	h	m	h	m	o	
1	ՑՑ	6	34	6	35	6	36		12	12	23		17	51	17 49	100
2	ՑՑ	6	33	6	34	6	34		12	12	11		17	52	17 50	99
3	ՈՒ	6	31	6	32	6	33		12	11	58		17	53	17 52	99
4	ԱԺ	6	30	6	30	6	31		12	11	45		17	54	17 54	98
5	ՈՒ	6	28	6	29	6	30		12	11	32		17	56	17 55	97
6	ԵԾ	6	26	6	27	6	28		12	11	18		17	57	17 56	97
7	ՑՌ	6	25	6	26	6	26		12	11	04		17	58	17 58	97
8	ՑՑ	6	23	6	24	6	24		12	10	49		17	59	17 58	96
9	ՑՑ	6	22	6	22	6	22		12	10	34		18	00	18 00	95
10	ՈՒ	6	20	6	20	6	21		12	10	18		18	01	18 01	95
11	ԱԺ	6	18	6	19	6	19		12	10	03		18	02	18 02	94
12	ՈՒ	6	17	6	18	6	18		12	09	47		18	03	18 03	94
13	ԵԾ	6	16	6	16	6	16		12	09	30		18	04	18 04	93
14	ՑՌ	6	14	6	14	6	14		12	09	14		18	06	18 05	93
15	ՑՑ	6	12	6	12	6	12		12	08	57		18	07	18 06	92
16	ՑՑ	6	11	6	11	6	11		12	08	40		18	08	18 08	92
17	ՈՒ	6	09	6	09	6	09		12	08	23		18	09	18 09	91
18	ԱԺ	6	07	6	07	6	07		12	08	05		18	10	18 10	91
19	ՈՒ	6	06	6	06	6	06		12	07	48		18	11	18 11	90
20	ԵԾ	6	04	6	04	6	04		12	07	30		18	12	18 12	90
21	ՑՌ	6	02	6	02	6	02		12	07	12		18	13	18 13	89
22	ՑՑ	6	00	6	00	6	00		12	06	55		18	14	18 14	88
23	ՑՑ	5	59	5	58	5	58		12	06	37		18	15	18 16	88
24	ՈՒ	5	57	5	57	5	56		12	06	19		18	16	18 17	87
25	ԱԺ	5	56	5	55	5	54		12	06	00		18	18	18 18	87
26	ՈՒ	5	54	5	53	5	53		12	05	42		18	18	18 19	86
27	ԵԾ	5	52	5	52	5	51		12	05	24		18	20	18 20	86
28	ՑՌ	5	50	5	50	5	49		12	05	06		18	20	18 21	85
29	ՑՑ	5	48	5	48	5	48		12	04	48		18	22	18 22	85
30	ՑՑ	5	47	5	46	5	46		12	04	30		18	23	18 24	84
31	ՈՒ	5	45	5	44	5	44		12	04	12		18	24	18 25	84

26



თვეის რიცხვი	წლის დასაწყისი ქილომეტრი კლიმატიკური მისამართი	თვეულის სისქეული პერიოდის დღე	გედამიწის დინამიკური დროით 0° - ზე ცვლილ დროით		გედამიწის დინამიკური დროით 0° - ზე ცვლილ დროით		ხოჯვის რიცხვი
			ხ მ ს	ხ მ ს	ხ მ ს	ხ მ ს	
1	0.163	735.5	2460 10 36 11	h m s 22 48 38	o '      ' "	-7 40 16 10	h m s 10 35 41
2	.166	736.5	10 40 07	22 52 22	7 17	16 10	10 39 37
3	.169	737.5	10 44 04	22 56 07	6 54	16 10	10 43 34
4	.171	738.5	10 48 01	22 59 50	6 31	16 09	10 47 31
5	.174	739.5	10 51 57	23 03 34	6 08	16 09	10 51 27
6	.177	740.5	10 55 54	23 07 17	5 45	16 09	10 55 24
7	.180	741.5	10 59 50	23 10 59	5 21	16 09	10 59 20
8	.182	742.5	11 03 47	23 14 41	4 58	16 08	11 03 17
9	.185	743.5	11 07 43	23 18 23	4 35	16 08	11 07 13
10	.188	744.5	11 11 40	23 22 04	4 11	16 08	11 11 10
11	.191	745.5	11 15 36	23 25 45	3 48	16 08	11 15 06
12	.193	746.5	11 19 33	23 29 25	3 24	16 07	11 19 03
13	.196	747.5	11 23 30	23 33 06	3 00	16 07	11 23 00
14	.199	748.5	11 27 26	23 36 46	2 37	16 07	11 26 56
15	.202	749.5	11 31 23	23 40 26	2 13	16 06	11 30 53
16	.204	750.5	11 35 19	23 44 05	1 49	16 06	11 34 49
17	.207	751.5	11 39 16	23 47 45	1 26	16 06	11 38 46
18	.210	752.5	11 43 12	23 51 24	1 02	16 06	11 42 42
19	.212	753.5	11 47 09	23 55 03	0 38	16 05	11 46 39
20	.215	754.5	11 51 05	23 58 42	-0 15	16 05	11 50 35
21	.218	755.5	11 55 02	0 02 21	+0 09	16 05	11 54 32
22	.221	756.5	11 58 59	0 05 59	0 33	16 05	11 58 29
23	.223	757.5	12 02 55	0 09 38	0 57	16 04	12 02 25
24	.226	758.5	12 06 52	0 13 17	1 20	16 04	12 06 22
25	.229	759.5	12 10 48	0 16 55	1 44	16 04	12 10 18
26	.232	760.5	12 14 45	0 20 34	2 07	16 03	12 14 15
27	.234	761.5	12 18 41	0 24 12	2 31	16 03	12 18 11
28	.237	762.5	12 22 38	0 27 50	2 54	16 03	12 22 08
29	.240	763.5	12 26 34	0 31 29	3 18	16 03	12 26 04
30	.243	764.5	12 30 31	0 35 07	3 41	16 02	12 30 01
31	0.245	765.5	12 34 28	0 38 46	+4 04	16 02	12 33 58



გან

2025

თვეის რიცხვი	გეორგის დღე	ამოსვლა ადგილობრივი საშუალო დროით			ცენტრის ზედა ქალმინაცია თბილისში თბილისის საშუალო დროით			ჩასვლა ადგილობრივი საშუალო დროით			ამოსვლისა და ჩასვლის აზიმუტი
		41°	42°	43°				41°	42°	43°	
ა პ რ ი ლ ი											
1	სე	5 44	5 43	5 42	12 03 54	18 25	18 26	18 26	18 26	18 26	83
2	ოთ	5 42	5 41	5 40	12 03 36	18 26	18 27	18 27	18 28	18 28	83
3	ხთ	5 40	5 40	5 39	12 03 18	18 27	18 28	18 28	18 29	18 29	82
4	პრ	5 39	5 38	5 37	12 03 01	18 28	18 29	18 29	18 30	18 30	82
5	შბ	5 37	5 36	5 36	12 02 43	18 29	18 30	18 30	18 31	18 31	81
6	პპ	5 36	5 35	5 34	12 02 26	18 30	18 31	18 31	18 32	18 32	81
7	ორ	5 34	5 33	5 32	12 02 09	18 31	18 32	18 32	18 33	18 33	80
8	სე	5 32	5 32	5 30	12 01 52	18 32	18 33	18 33	18 34	18 34	80
9	ოთ	5 31	5 30	5 29	12 01 36	18 33	18 34	18 34	18 35	18 35	79
10	ხთ	5 29	5 28	5 27	12 01 19	18 34	18 35	18 35	18 36	18 36	79
11	პრ	5 27	5 26	5 25	12 01 03	18 35	18 36	18 36	18 38	18 38	78
12	შბ	5 26	5 24	5 24	12 00 47	18 36	18 38	18 38	18 39	18 39	78
13	პპ	5 24	5 23	5 22	12 00 32	18 37	18 39	18 39	18 40	18 40	77
14	ორ	5 22	5 21	5 20	12 00 17	18 38	18 40	18 40	18 42	18 42	77
15	სე	5 21	5 20	5 18	12 00 02	18 40	18 41	18 41	18 42	18 42	76
16	ოთ	5 20	5 18	5 17	11 59 48	18 40	18 42	18 42	18 44	18 44	76
17	ხთ	5 18	5 16	5 15	11 59 34	18 42	18 43	18 43	18 44	18 44	75
18	პრ	5 16	5 15	5 14	11 59 20	18 42	18 44	18 44	18 46	18 46	75
19	შბ	5 15	5 14	5 12	11 59 07	18 44	18 45	18 45	18 47	18 47	74
20	პპ	5 14	5 12	5 10	11 58 55	18 45	18 46	18 46	18 48	18 48	74
21	ორ	5 12	5 10	5 09	11 58 42	18 46	18 48	18 48	18 49	18 49	73
22	სე	5 10	5 09	5 07	11 58 30	18 47	18 49	18 49	18 50	18 50	73
23	ოთ	5 09	5 08	5 06	11 58 19	18 48	18 50	18 50	18 52	18 52	72
24	ხთ	5 08	5 06	5 04	11 58 08	18 49	18 51	18 51	18 53	18 53	72
25	პრ	5 06	5 04	5 02	11 57 58	18 50	18 52	18 52	18 54	18 54	72
26	შბ	5 05	5 03	5 01	11 57 48	18 52	18 53	18 53	18 55	18 55	71
27	პპ	5 04	5 02	5 00	11 57 38	18 53	18 54	18 54	18 56	18 56	71
28	ორ	5 02	5 00	4 58	11 57 29	18 54	18 56	18 56	18 58	18 58	70
29	სე	5 01	4 59	4 57	11 57 20	18 55	18 57	18 57	18 59	18 59	70
30	ოთ	5 00	4 58	4 56	11 57 12	18 56	18 58	18 58	19 00	19 00	69



თვეის რიცხვი	წლის დასახური სიდან განვითარები მისი ნაწილი	იუველირობის პერსონალის და	გარსებრთის მიზანი დრო ზე-ზე მსო- ცლით დროით	დედამიწის დინამიკური დროით 0 <sup>h</sup> -ზე				იყვანილი რეაციები
				სიმული α	სიმული δ			
ა პ რ 0 ლ 0								
1	0.248	2460	h m s	h m s	° ′ ″	' "	h m s	
2	.251	766.5	12 38 24	0 42 24	+4 28	16 02	12 37 54	
3	.254	767.5	12 42 21	0 46 03	4 51	16 02	12 41 51	
4	.256	768.5	12 46 17	0 49 42	5 14	16 01	12 45 47	
5	.259	769.5	12 50 14	0 53 21	5 37	16 01	12 49 44	
		770.5	12 54 10	0 57 00	6 00	16 01	12 53 40	
6	.262	771.5	12 58 07	1 00 39	6 22	16 01	12 57 37	
7	.264	772.5	13 02 03	1 04 18	6 45	16 00	13 01 33	
8	.267	773.5	13 06 00	1 07 58	7 08	16 00	13 05 30	
9	.270	774.5	13 09 57	1 11 38	7 30	16 00	13 09 27	
10	.273	775.5	13 13 53	1 15 18	7 52	15 59	13 13 23	
11	.275	776.5	13 17 50	1 18 58	8 14	15 59	13 17 20	
12	.278	777.5	13 21 46	1 22 39	8 36	15 59	13 21 16	
13	.281	778.5	13 25 43	1 26 20	8 58	15 59	13 25 13	
14	.284	779.5	13 29 39	1 30 01	9 20	15 58	13 29 09	
15	.286	780.5	13 33 36	1 33 43	9 41	15 58	13 33 06	
16	.289	781.5	13 37 32	1 37 25	10 03	15 58	13 37 02	
17	.292	782.5	13 41 29	1 41 08	10 24	15 57	13 41 00	
18	.295	783.5	13 45 26	1 44 51	10 45	15 57	13 44 56	
19	.297	784.5	13 49 22	1 48 34	11 06	15 57	13 48 52	
20	.300	785.5	13 53 19	1 52 17	11 27	15 57	13 52 49	
21	.303	786.5	13 57 15	1 56 01	11 47	15 56	13 56 45	
22	.306	787.5	14 01 12	1 59 46	12 08	15 56	14 00 42	
23	.308	788.5	14 05 08	2 03 31	12 28	15 56	14 04 38	
24	.311	789.5	14 09 05	2 07 17	12 48	15 56	14 08 35	
25	.314	790.5	14 13 01	2 11 02	13 07	15 55	14 12 31	
26	.316	791.5	14 16 58	2 14 49	13 27	15 55	14 16 28	
27	.319	792.5	14 20 55	2 18 36	13 46	15 55	14 20 25	
28	.322	793.5	14 24 51	2 22 23	14 05	15 55	14 24 21	
29	.325	794.5	14 28 48	2 26 11	14 24	15 54	14 28 18	
30	0.328	795.5	14 32 44	2 29 59	+14 42	15 54	14 32 14	



თვე	რიცხვი	ამოსვლა ადგილობრივი საშუალო დროით			ცენტრის ზედა ქალიბინაცია თბილობის თბილისის საშუალო დროით	ჩასვლა ადგილობრივი საშუალო დროით	ამინისტრი და წარმომადგენერი	
		41°	42°	43°				
თვე	რიცხვი	ამოსვლა ადგილობრივი საშუალო დროით	ცენტრის ზედა ქალიბინაცია თბილობის თბილისის საშუალო დროით	ჩასვლა ადგილობრივი საშუალო დროით	ამინისტრი და წარმომადგენერი			
თვე	რიცხვი	41°	42°	43°	41°	42°	43°	ამინისტრი და წარმომადგენერი

a s o b o

		h m	h m	h m	h m s	h m	h m	h m	o
1	ԵԵ	4 58	4 56	4 54	11 57 05	18 57	18 59	19 01	69
2	ՅՐ	4 57	4 55	4 53	11 56 58	18 58	19 00	19 02	68
3	ՑՑ	4 56	4 54	4 51	11 56 51	18 59	19 01	19 03	68
4	ՅՅ	4 54	4 52	4 50	11 56 45	19 00	19 02	19 04	68
5	ՈՐ	4 53	4 51	4 49	11 56 40	19 01	19 03	19 06	67
6	ԱԺ	4 52	4 50	4 47	11 56 35	19 02	19 04	19 06	67
7	ՈՒ	4 51	4 48	4 46	11 56 31	19 03	19 05	19 08	66
8	ԵԵ	4 50	4 47	4 44	11 56 27	19 04	19 06	19 08	66
9	ՅՐ	4 48	4 46	4 43	11 56 24	19 05	19 07	19 10	65
10	ՑՑ	4 48	4 45	4 42	11 56 22	19 06	19 08	19 11	65
11	ՅՅ	4 46	4 44	4 41	11 56 20	19 07	19 09	19 12	65
12	ՈՐ	4 46	4 43	4 40	11 56 18	19 08	19 10	19 13	65
13	ԱԺ	4 44	4 42	4 39	11 56 18	19 09	19 11	19 14	64
14	ՈՒ	4 44	4 41	4 38	11 56 17	19 10	19 12	19 15	64
15	ԵԵ	4 42	4 40	4 37	11 56 18	19 11	19 14	19 16	64
16	ՅՐ	4 42	4 39	4 36	11 56 19	19 12	19 15	19 18	63
17	ՑՑ	4 41	4 38	4 35	11 56 20	19 13	19 16	19 19	63
18	ՅՅ	4 40	4 37	4 34	11 56 22	19 14	19 17	19 20	63
19	ՈՐ	4 39	4 36	4 33	11 56 25	19 15	19 18	19 21	62
20	ԱԺ	4 38	4 35	4 32	11 56 28	19 16	19 19	19 22	62
21	ՈՒ	4 37	4 34	4 31	11 56 32	19 17	19 20	19 23	62
22	ԵԵ	4 36	4 34	4 30	11 56 37	19 18	19 20	19 24	61
23	ՅՐ	4 36	4 33	4 30	11 56 41	19 18	19 21	19 25	61
24	ՑՑ	4 35	4 32	4 29	11 56 47	19 19	19 22	19 26	61
25	ՅՅ	4 34	4 31	4 28	11 56 53	19 20	19 23	19 26	61
26	ՈՐ	4 34	4 30	4 28	11 56 59	19 21	19 24	19 27	60
27	ԱԺ	4 33	4 30	4 27	11 57 06	19 22	19 25	19 28	60
28	ՈՒ	4 32	4 29	4 26	11 57 13	19 23	19 26	19 29	60
29	ԵԵ	4 32	4 28	4 25	11 57 21	19 24	19 27	19 30	60
30	ՅՐ	4 31	4 28	4 25	11 57 29	19 24	19 28	19 31	59
31	ՑՑ	4 30	4 28	4 24	11 57 37	19 25	19 29	19 32	59



თვეს რიცხვი წლის დასასქანი- სების განვითარები მინისტრი	იულიუსის კალენდარი იულიუსის კალენდარი	გარსებრძოს მსო- ფლიური კრისტალი	დედამიწის დინამიკური დროით 0°-ზე				გარსებრძოს დინამიკი მსოფლიური დროით
			სილაპა- ა	სილაპა- ბ			
მ ა ს ი ს							
1	0.330	2460	h m s	h m s	° ′ ″	° ′ ″	h m s
2	.333	796.5	14 36 41	2 33 48	+15 01	15 54	14 36 11
3	.336	797.5	14 40 37	2 37 37	15 19	15 54	14 40 07
4	.338	798.5	14 44 34	2 41 27	15 37	15 53	14 44 04
5	.341	799.5	14 48 30	2 45 17	15 54	15 53	14 48 00
6	.344	800.5	14 52 27	2 49 08	16 12	15 53	14 51 57
7	.347	801.5	14 56 24	2 53 00	16 29	15 53	14 55 54
8	.349	802.5	15 00 20	2 56 52	16 45	15 53	14 59 50
9	.352	803.5	15 04 17	3 00 45	17 02	15 52	15 03 47
10	.355	804.5	15 08 13	3 04 38	17 18	15 52	15 07 43
11	.358	805.5	15 12 10	3 08 32	17 34	15 52	15 11 40
12	.360	806.5	15 16 06	3 12 26	17 50	15 52	15 15 36
13	.363	807.5	15 20 03	3 16 21	18 05	15 51	15 19 33
14	.366	808.5	15 23 59	3 20 17	18 20	15 51	15 23 29
15	.368	809.5	15 27 56	3 24 13	18 35	15 51	15 27 26
16	.371	810.5	15 31 53	3 28 09	18 49	15 51	15 31 23
17	.374	811.5	15 35 49	3 32 07	19 03	15 51	15 35 19
18	.377	812.5	15 39 46	3 36 05	19 17	15 50	15 39 16
19	.380	813.5	15 43 42	3 40 03	19 30	15 50	15 43 12
20	.382	814.5	15 47 39	3 44 02	19 43	15 50	15 47 09
21	.385	815.5	15 51 35	3 48 02	19 56	15 50	15 51 05
22	.388	816.5	15 55 32	3 52 02	20 08	15 50	15 55 02
23	.390	817.5	15 59 28	3 56 03	20 21	15 49	15 58 58
24	.393	818.5	16 03 25	4 00 04	20 32	15 49	16 02 55
25	.396	819.5	16 07 22	4 04 06	20 44	15 49	16 06 52
26	.399	820.5	16 11 18	4 08 08	20 55	15 49	16 10 48
27	.401	821.5	16 15 15	4 12 11	21 05	15 49	16 14 45
28	.404	822.5	16 19 11	4 16 14	21 16	15 49	16 18 41
29	.407	823.5	16 23 08	4 20 17	21 26	15 48	16 22 38
30	.410	824.5	16 27 04	4 24 22	21 35	15 48	16 26 34
31	0.412	825.5	16 31 01	4 28 26	21 44	15 48	16 30 31
		826.5	16 34 57	4 32 31	+21 53	15 48	16 34 27



გა

2025

თვეს დინებები	კვირის დაჯები	ამოსვლა ადგილობრივი საშუალო დროით			ცენტრის ზედა პედმინისტრიული თბილისში თბილისის საშუალო დროით			ჩასვლა ადგილობრივი საშუალო დროით			აშენებელი და აშენებული ქადაგები
		41°	42°	43°	41°	42°	43°	41°	42°	43°	
0 3 6 0 ს 0											
1	33	4 30	4 27	4 24	11 57 46	19 26	19 29	19 32	59		
2	ორ	4 30	4 26	4 23	11 57 55	19 27	19 30	19 33	59		
3	სბ	4 29	4 26	4 22	11 58 05	19 27	19 30	19 34	59		
4	ოთ	4 29	4 26	4 22	11 58 15	19 28	19 31	19 35	58		
5	ხთ	4 28	4 25	4 22	11 58 25	19 28	19 32	19 36	58		
6	პრ	4 28	4 25	4 21	11 58 36	19 29	19 32	18 36	58		
7	შბ	4 28	4 24	4 21	11 58 47	19 30	19 33	19 36	58		
8	33	4 28	4 24	4 21	11 58 58	19 30	19 34	19 37	58		
9	ორ	4 28	4 24	4 20	11 59 10	19 31	19 34	19 38	58		
10	სბ	4 27	4 24	4 20	11 59 22	19 32	19 34	19 38	58		
11	ოთ	4 27	4 24	4 20	11 59 34	19 32	19 35	19 39	57		
12	ხთ	4 27	4 24	4 20	11 59 46	19 32	19 36	19 39	57		
13	პრ	4 27	4 24	4 20	11 59 59	19 33	19 36	19 40	57		
14	შბ	4 27	4 24	4 20	12 00 11	19 33	19 36	19 40	57		
15	33	4 27	4 24	4 20	12 00 24	19 34	19 37	19 41	57		
16	ორ	4 27	4 24	4 20	12 00 37	19 34	19 38	19 41	57		
17	სბ	4 28	4 24	4 20	12 00 50	19 34	19 38	19 42	57		
18	ოთ	4 28	4 24	4 20	12 01 03	19 35	19 38	19 42	57		
19	ხთ	4 28	4 24	4 20	12 01 16	19 35	19 38	19 42	57		
20	პრ	4 28	4 24	4 20	12 01 29	19 35	19 39	19 42	57		
21	შბ	4 28	4 24	4 20	12 01 43	19 36	19 39	19 42	57		
22	33	4 28	4 24	4 21	12 01 56	19 36	19 39	19 43	57		
23	ორ	4 28	4 25	4 21	12 02 09	19 36	19 40	19 43	57		
24	სბ	4 29	4 26	4 22	12 02 22	19 36	19 40	19 43	57		
25	ოთ	4 29	4 26	4 22	12 02 35	19 36	19 40	19 44	57		
26	ხთ	4 29	4 26	4 22	12 02 47	19 36	19 40	19 44	57		
27	პრ	4 30	4 26	4 23	12 03 00	19 36	19 40	19 44	57		
28	შბ	4 30	4 27	4 23	12 03 12	19 36	19 40	19 44	57		
29	33	4 30	4 27	4 24	12 03 24	19 36	19 40	19 44	57		
30	ორ	4 31	4 28	4 24	12 03 36	19 36	19 40	19 43	57		



ՃՆԵ

2025

ԴՐԱՅԻՆ ՌՈՒԲՅԱՆ ՀԱՅՈՒՆ ՋԱԽԱՎՅՈ- ՏՈՒՅԱՆ ՀԱԲՐԵՐՈՅՈ ՑՈՒՅԻ ԽԱՎՈՅՈ	ՕՐԵԼՈՐԴՈՒՄՆԵՐՈՒ- ՅԵՐՈՅՈՒՆ ՁԵՐ	ՀԵՖԵԹՈՒՄՆԵՐՈՒ- ՅԵՐՈ 0 <sup>h</sup> -ից մեր- ցնուող գրառուտ				ՀԵՖԵԹՈՒՄՆԵՐՈՒ- ՅԵՐՈ 0 <sup>h</sup> -ից մեր- ցնուող գրառուտ	ՀԵՖԵԹՈՒՄՆԵՐՈՒ- ՅԵՐՈ 0 <sup>h</sup> -ից մեր- ցնուող գրառուտ
ՀԵՖԵԹՈՒՄՆԵՐՈՒ- ՅԵՐՈ 0 <sup>h</sup> -ից մեր- ցնուող գրառուտ							

0 3 6 0 և 0

		2460	հ մ ս	հ մ ս	° ′ ″	' "	հ մ ս
1	0.415	827.5	16 38 54	4 36 36	+22 01	15 48	16 38 24
2	.418	828.5	16 42 51	4 40 42	22 10	15 48	16 42 21
3	.420	829.5	16 46 47	4 44 48	22 17	15 48	16 46 17
4	.423	830.5	16 50 44	4 48 54	22 24	15 47	16 50 14
5	.426	831.5	16 54 40	4 53 01	22 31	15 47	16 54 11
6	.429	832.5	16 58 37	4 57 08	22 38	15 47	16 58 07
7	.432	833.5	17 02 33	5 01 16	22 44	15 47	17 02 04
8	.434	834.5	17 06 30	5 05 23	22 50	15 47	17 06 00
9	.437	835.5	17 10 26	5 09 31	22 55	15 47	17 09 56
10	.440	836.5	17 14 23	5 13 40	23 00	15 47	17 13 53
11	.442	837.5	17 18 20	5 17 48	23 04	15 47	17 17 50
12	.445	838.5	17 22 16	5 21 57	23 08	15 47	17 21 46
13	.448	839.5	17 26 13	5 26 06	23 12	15 46	17 25 43
14	.451	840.5	17 30 09	5 30 15	23 15	15 46	17 29 39
15	.453	841.5	17 34 06	5 34 24	23 18	15 46	17 33 36
16	.456	842.5	17 38 02	5 38 34	23 20	15 46	17 37 32
17	.459	843.5	17 41 59	5 42 43	23 22	15 46	17 41 29
18	.462	844.5	17 45 55	5 46 53	23 24	15 46	17 45 25
19	.464	845.5	17 49 52	5 51 03	23 25	15 46	17 49 22
20	.467	846.5	17 53 49	5 55 12	23 26	15 46	17 53 19
21	.470	847.5	17 57 45	5 59 22	23 26	15 46	17 57 15
22	.473	848.5	18 01 42	6 03 32	23 26	15 46	18 01 12
23	.475	849.5	18 05 38	6 07 42	23 26	15 46	18 05 08
24	.478	850.5	18 09 35	6 11 51	23 25	15 46	18 09 05
25	.481	851.5	18 13 31	6 16 01	23 24	15 46	18 13 01
26	.484	852.5	18 17 28	6 20 10	23 22	15 46	18 16 58
27	.486	853.5	18 21 24	6 24 19	23 20	15 46	18 20 54
28	.489	854.5	18 25 21	6 28 28	23 17	15 46	18 24 51
29	.492	855.5	18 29 18	6 32 37	23 14	15 45	18 28 48
30	0.494	856.5	18 33 14	6 36 45	+23 11	15 45	18 32 44



გაც

2025

თვეს რიცხვი	კვირის დღე	ამოსებლა ადგილობრივი საშუა- ლო დროით			ცენტრის ზედა ქულმინაცია თბილისში თბილისის საშუალო დროით		ჩასებლა ადგილობრივი საშუალო დროით			აძღიეულის და ჩასებლის აზიმუტი
		41°	42°	43°	41°	42°	43°	41°	42°	
0 8 დ 0 ს 0										

1	სმ	4 32	4 28	4 24	12 03 48	19 36	19 40	19 43	57
2	ოთ	4 32	4 29	4 25	12 03 59	19 36	19 39	19 43	57
3	ხთ	4 32	4 29	4 26	12 04 10	19 36	19 39	19 42	58
4	პრ	4 33	4 30	4 26	12 04 21	19 35	19 39	19 42	58
5	შბ	4 34	4 30	4 27	12 04 31	19 35	19 38	19 42	58
6	ვვ	4 34	4 31	4 28	12 04 41	19 35	19 38	19 42	58
7	ორ	4 35	4 32	4 28	12 04 51	19 34	19 38	19 42	58
8	სმ	4 36	4 32	4 29	12 05 01	19 34	19 38	19 41	58
9	ოთ	4 36	4 33	4 30	12 05 10	19 34	19 37	19 40	58
10	ხთ	4 37	4 34	4 30	12 05 18	19 33	19 36	19 40	59
11	პრ	4 38	4 34	4 31	12 05 26	19 33	19 36	19 40	59
12	შბ	4 38	4 35	4 32	12 05 34	19 32	19 36	19 39	59
13	ვვ	4 39	4 36	4 32	12 05 41	19 32	19 35	19 38	59
14	ორ	4 40	4 36	4 33	12 05 48	19 32	19 34	19 38	59
15	სმ	4 40	4 37	4 34	12 05 54	19 31	19 34	19 37	60
16	ოთ	4 41	4 38	4 35	12 06 01	19 31	19 33	19 36	60
17	ხთ	4 42	4 39	4 36	12 06 06	19 30	19 32	19 36	60
18	პრ	4 43	4 40	4 37	12 06 11	19 29	19 32	19 35	60
19	შბ	4 44	4 41	4 38	12 06 15	19 28	19 31	19 34	61
20	ვვ	4 45	4 42	4 39	12 06 19	19 27	19 30	19 33	61
21	ორ	4 46	4 43	4 40	12 06 22	19 26	19 30	19 32	61
22	სმ	4 47	4 44	4 41	12 06 25	19 26	19 29	19 32	61
23	ოთ	4 48	4 45	4 42	12 06 27	19 25	19 28	19 31	62
24	ხთ	4 48	4 46	4 42	12 06 28	19 24	19 27	19 30	62
25	პრ	4 49	4 46	4 44	12 06 29	19 23	19 26	19 29	62
26	შბ	4 50	4 47	4 44	12 06 29	19 22	19 25	19 28	63
27	ვვ	4 51	4 48	4 46	12 06 29	19 22	19 24	19 27	63
28	ორ	4 52	4 49	4 46	12 06 28	19 20	19 23	19 26	63
29	სმ	4 53	4 50	4 48	12 06 26	19 20	19 22	19 25	64
30	ოთ	4 54	4 51	4 49	12 06 23	19 18	18 21	19 24	64
31	ხთ	4 54	4 52	4 50	12 06 29	19 18	19 20	19 22	64



աշխատանքի համար	պահանջման համար	պահանջման համար	պահանջման համար	Համար 0 3 Հ 0 ս 0				պահանջման համար	պահանջման համար
				կողմանական	կողմանական	դաշտային	դաշտային		
ՀԱՄԱՐ 0 3 Հ 0 ս 0									
1	0.497	857.5	18 37 11	6 40 53	+23 07	15 45	18 36 41		
2	.500	858.5	18 41 07	6 45 02	23 03	15 45	18 40 37		
3	.503	859.5	18 45 04	6 49 09	22 59	15 45	18 44 34		
4	.505	860.5	18 49 00	6 53 17	22 54	15 45	18 48 30		
5	.508	861.5	18 52 57	6 57 24	22 48	15 45	18 52 27		
6	.511	862.5	18 56 53	7 01 31	22 43	15 45	18 56 23		
7	.514	863.5	19 00 50	7 05 37	22 36	15 45	19 00 20		
8	.516	864.5	19 04 47	7 09 43	22 30	15 45	19 04 17		
9	.519	865.5	19 08 43	7 13 49	22 23	15 45	19 08 13		
10	.522	866.5	19 12 40	7 17 54	22 16	15 45	19 12 10		
11	.525	867.5	19 16 36	7 21 59	22 08	15 45	19 16 06		
12	.527	868.5	19 20 33	7 26 04	22 00	15 46	19 20 03		
13	.530	869.5	19 24 29	7 30 08	21 51	15 46	19 24 00		
14	.533	870.5	19 28 26	7 34 11	21 43	15 46	19 27 56		
15	.536	871.5	19 32 22	7 38 14	21 33	15 46	19 31 52		
16	.538	872.5	19 36 19	7 42 17	21 24	15 46	19 35 49		
17	.541	873.5	19 40 16	7 46 19	21 14	15 46	19 39 46		
18	.544	874.5	19 44 12	7 50 21	21 04	15 46	19 43 42		
19	.546	875.5	19 48 09	7 54 22	21 53	15 46	19 47 39		
20	.549	876.5	19 52 05	7 58 22	20 42	15 46	19 51 35		
21	.552	877.5	19 56 02	8 02 22	20 31	15 46	19 55 32		
22	.555	878.5	19 59 58	8 06 22	20 19	15 46	19 59 28		
23	.557	879.5	20 03 55	8 10 21	20 07	15 46	20 03 25		
24	.560	880.5	20 07 51	8 14 19	19 55	15 46	20 07 21		
25	.563	881.5	20 11 48	8 18 16	19 42	15 46	20 11 18		
26	.566	882.5	20 15 45	8 22 13	10 29	15 46	20 15 15		
27	.568	883.5	20 19 41	8 26 10	19 15	15 46	20 19 11		
28	.571	884.5	20 23 38	8 30 06	19 02	15 47	20 23 08		
29	.574	885.5	20 27 34	8 34 01	18 48	15 47	20 27 04		
30	.577	886.5	20 31 31	8 37 55	18 34	15 47	20 31 01		
31	0.579	887.5	20 35 27	8 41 49	+18 19	15 47	20 34 57		



86

2025

თვეის რიცხვი	გვირის დღე	ამოსგლა ადგილობრივი საშუალო დროით			ცენტრის ხედა კულმინაცია თბილისის საშუალო დროით	ჩასგლა ადგილობრივი საშუალო დროით			ამოსგლის დანართის აზიგი
		41°	42°	43°		41°	42°	43°	
ა ბ 3 0 ს ტ ო									

		h	m	h	m	h	m	s	h	m	h	m	h	m	°	
1	პრ	4	56	4	53	4	50		12	06	18		19	16	19 21	65
2	შბ	4	56	4	54	4	52		12	06	14		19	15	19 20	65
3	პპ	4	58	4	55	4	52		12	06	09		19	14	19 19	65
4	ორ	4	58	4	56	4	54		12	06	04		19	13	19 18	66
5	სბ	5	00	4	57	4	55		12	05	58		19	12	19 16	66
6	ოთ	5	00	4	58	4	56		12	05	51		19	10	19 12	66
7	ხთ	5	02	4	59	4	57		12	05	44		19	09	19 11	67
8	პრ	5	02	5	00	4	58		12	05	37		19	08	19 10	67
9	შბ	5	04	5	01	4	59		12	05	28		19	07	19 09	68
10	პპ	5	05	5	02	5	00		12	05	20		19	06	19 10	68
11	ორ	5	06	5	04	5	01		12	05	10		19	04	19 08	68
12	სბ	5	07	5	05	5	02		12	05	00		19	03	19 05	69
13	ოთ	5	08	5	06	5	04		12	04	50		19	02	19 04	69
14	ხთ	5	09	5	07	5	05		12	04	39		19	00	19 02	70
15	პრ	5	10	5	08	5	06		12	04	28		18	58	19 00	70
16	შბ	5	10	5	09	5	07		12	04	16		18	57	18 59	71
17	პპ	5	12	5	10	5	08		12	04	03		18	56	18 58	71
18	ორ	5	12	5	11	5	09		12	03	50		18	54	18 56	71
19	სბ	5	14	5	12	5	10		12	03	37		18	53	18 54	72
20	ოთ	5	14	5	13	5	11		12	03	23		18	52	18 53	72
21	ხთ	5	16	5	14	5	12		12	03	08		18	50	18 52	73
22	პრ	5	16	5	15	5	13		12	02	53		18	48	18 50	73
23	შბ	5	18	5	16	5	14		12	02	38		18	47	18 48	74
24	პპ	5	18	5	17	5	16		12	02	22		18	46	18 47	74
25	ორ	5	20	5	18	5	16		12	02	05		18	44	18 45	75
26	სბ	5	20	5	19	5	18		12	01	49		18	42	18 44	75
27	ოთ	5	22	5	20	5	18		12	01	32		18	41	18 42	76
28	ხთ	5	22	5	21	5	20		12	01	14		18	39	18 40	76
29	პრ	5	24	5	22	5	21		12	00	56		18	38	18 38	77
30	შბ	5	24	5	23	5	22		12	00	38		18	36	18 37	77
31	პპ	5	26	5	24	5	23		12	00	19		18	34	18 36	77



ცსმ

2025

		დ გ ვ რ ი ს ტ ე ბ ი			დ ე ფ ა მ ი წ ი ს ტ ე ბ ი			მ ა მ ა მ ი ს ტ ე ბ ი					
		დ ი ნ ა მ ი ქ უ ნ ი ს ტ ე ბ ი			დ ე რ ვ ი თ მ ი ს ტ ე ბ ი			მ ა მ ა მ ი ს ტ ე ბ ი					
		ს ი ლ ე კ ლ ი ა			ს ი ლ ე კ ლ ი ბ			ს ი ლ ე კ ლ ი ბ					
		ა ბ ვ რ ი ს ტ ე ბ ი											
		h	m	s	h	m	s	°	'	"	h	m	s
1	0.582	2460	888.5	20 39 24	8 45 44	+18 04	15 47	20 38 54					
2	.585		889.5	20 43 20	8 49 35	17 49	15 47	20 42 50					
3	.588		890.5	20 47 17	8 53 27	17 33	15 47	20 46 47					
4	.590		891.5	20 51 14	8 57 19	17 18	15 47	20 50 44					
5	.593		892.5	20 55 10	9 01 10	17 02	15 48	20 54 40					
6	.596		893.5	20 59 07	9 05 00	16 45	15 48	20 58 37					
7	.598		894.5	21 03 03	9 08 50	16 29	15 48	21 02 33					
8	.601		895.5	21 07 00	9 12 39	16 12	15 48	21 06 30					
9	.604		896.5	21 10 56	9 16 27	15 55	15 48	21 10 26					
10	.607		897.5	21 14 53	9 20 15	15 37	15 48	21 14 23					
11	.609		898.5	21 18 49	9 24 03	15 20	15 48	21 18 19					
12	.612		899.5	21 22 46	9 27 50	15 02	15 49	21 22 16					
13	.615		900.5	21 26 43	9 31 36	14 44	15 49	21 26 13					
14	.618		901.5	21 30 39	9 35 22	14 26	15 49	21 30 09					
15	.620		902.5	21 34 36	9 39 07	14 07	15 49	21 34 06					
16	.623		903.5	21 38 32	9 42 52	13 48	15 49	21 38 02					
17	.626		904.5	21 42 29	9 46 36	13 29	15 49	21 41 59					
18	.629		905.5	21 46 25	9 50 20	13 10	15 50	21 45 55					
19	.631		906.5	21 50 22	9 54 03	12 50	15 50	21 49 52					
20	.634		907.5	21 54 18	9 58 46	12 31	15 50	21 53 48					
21	.637		908.5	21 58 15	10 01 28	12 11	15 50	21 57 45					
22	.640		909.5	22 02 12	10 05 10	11 51	15 50	22 01 42					
23	.642		910.5	22 06 08	10 08 51	11 31	15 51	22 05 38					
24	.645		911.5	22 10 05	10 12 32	11 10	15 51	22 09 35					
25	.648		912.5	22 14 01	10 16 12	10 50	15 51	22 13 31					
26	.650		913.5	22 17 58	10 19 52	10 29	15 51	22 17 28					
27	.653		914.5	22 21 54	10 23 32	10 08	15 51	22 21 24					
28	.656		915.5	22 25 51	10 27 11	9 47	15 52	22 25 21					
29	.659		916.5	22 29 47	10 30 50	9 26	15 52	22 29 17					
30	.662		917.5	22 33 44	10 34 28	9 04	15 52	22 33 14					
31	0.664		918.5	22 37 41	10 38 06	+8 43	15 52	22 37 11					



თვეს რიცხვი	გვირის დღე	ამოსვლა ადგილობრივი საშუალო დროით			ცენტრის ზედა კულმინაცია თბილისში თბილისის საშუალო დროით	ჩასვლა ადგილობრივი საშუალო დროით			ამოსვლისა და ჩასვლის აზიმუტი	
		41°	42°	43°		41°	42°	43°		
		ს ა ძ ტ ვ ა მ პ ე რ ი 0								
1	ორ	5 26	5 25	5 24	12 00 00	18 33	18 34	18 35	78	
2	სმ	5 28	5 26	5 25	11 59 41	18 31	18 32	18 33	78	
3	ოთ	5 28	5 28	5 26	11 59 22	18 30	18 30	18 32	79	
4	ხთ	5 30	5 29	5 28	11 59 02	18 28	18 29	18 30	79	
5	პრ	5 30	5 30	5 29	11 58 42	18 26	18 27	18 28	80	
6	შბ	5 32	5 31	5 30	11 58 22	18 24	18 25	18 26	80	
7	პპ	5 32	5 32	5 31	11 58 01	18 23	18 24	18 24	81	
8	ორ	5 34	5 33	5 32	11 57 41	18 21	18 22	18 23	81	
9	სმ	5 34	5 34	5 33	11 57 20	18 20	18 20	18 21	82	
10	ოთ	5 36	5 35	5 34	11 56 59	18 18	18 18	18 19	82	
11	ხთ	5 36	5 36	5 35	11 56 38	18 16	18 16	18 17	83	
12	პრ	5 38	5 37	5 36	11 56 17	18 14	18 15	18 15	83	
13	შბ	5 38	5 38	5 38	11 55 56	18 12	18 13	18 14	84	
14	პპ	5 40	5 39	5 38	11 55 35	18 11	18 11	18 12	85	
15	ორ	5 40	5 40	5 40	11 55 14	18 09	18 10	18 10	85	
16	სმ	5 42	5 41	5 40	11 54 52	18 08	18 08	18 08	86	
17	ოთ	5 42	5 42	5 42	11 54 31	18 06	18 06	18 06	86	
18	ხთ	5 43	5 43	5 43	11 54 10	18 04	18 04	18 05	86	
19	პრ	5 44	5 44	5 44	11 53 48	18 02	18 02	18 03	87	
20	შბ	5 45	5 45	5 45	11 53 27	18 01	18 01	18 01	88	
21	პპ	5 46	5 46	5 46	11 53 06	17 59	17 59	18 00	88	
22	ორ	5 47	5 47	5 47	11 52 45	17 57	17 57	17 58	89	
23	სმ	5 48	5 48	5 48	11 52 24	17 56	17 56	17 56	89	
24	ოთ	5 49	5 49	5 49	11 52 03	17 54	17 54	17 54	90	
25	ხთ	5 50	5 50	5 50	11 51 42	17 52	17 52	17 52	90	
26	პრ	5 51	5 51	5 51	11 51 22	17 50	17 50	17 50	91	
27	შბ	5 52	5 52	5 52	11 51 01	17 49	17 48	17 48	91	
28	პპ	5 53	5 54	5 54	11 50 41	17 47	17 47	17 47	92	
29	ორ	5 54	5 55	5 55	11 50 21	17 46	17 45	17 45	92	
30	სმ	5 56	5 56	5 56	11 50 01	17 44	17 43	17 43	93	



ՀԵՇ

2025

Առաջնային տարբարակություն	Տարբարակության համար	Տարբարակության ամսագիրը	Տարբարակության աշխատավայրը	Տարբարակության աշխատավայրի պատճենագիրը	Հյուսամոլիք գումարություն		Տարբարակության աշխատավայրի պատճենագիրը
					Տարբարակության աշխատավայրի պատճենագիրը	Տարբարակության աշխատավայրի պատճենագիրը	
Տ Ա Կ Ֆ Յ Ա Ճ Յ Ր Օ							
		2460	h m s	h m s	° °'	' "	h m s
1	0.667	919.5	22 41 37	10 41 44	+8 21	15 52	22 41 07
2	.670	920.5	22 45 34	10 45 21	8 00	15 53	22 45 04
3	.672	921.5	22 49 30	10 48 59	7 38	15 53	22 49 00
4	.675	922.5	22 53 27	10 52 35	7 16	15 53	22 52 57
5	.678	923.5	22 57 23	10 56 12	6 53	15 53	22 56 53
6	.681	924.5	23 01 20	11 59 49	6 31	15 54	23 00 50
7	.683	925.5	23 05 16	11 03 25	6 09	15 54	23 04 46
8	.686	926.5	23 09 13	11 07 01	5 46	15 54	23 08 43
9	.689	927.5	23 13 10	11 10 37	5 24	15 54	23 12 40
10	.692	928.5	23 17 06	11 14 13	5 01	15 55	23 16 36
11	.694	929.5	23 21 03	11 17 48	4 38	15 55	23 20 33
12	.697	930.5	23 24 59	11 21 24	4 15	15 55	23 24 29
13	.700	931.5	23 28 56	11 24 59	3 52	15 55	23 28 26
14	.702	932.5	23 32 52	11 28 35	3 29	15 56	23 32 22
15	.705	933.5	23 36 49	11 32 10	3 06	15 56	23 36 19
16	.708	934.5	23 40 45	11 35 45	2 43	15 56	23 40 15
17	.711	935.5	23 44 42	11 39 20	2 20	15 56	23 44 12
18	.714	936.5	23 48 39	11 42 56	1 57	15 57	23 48 09
19	.716	937.5	23 52 35	11 46 31	1 34	15 57	23 52 05
20	.719	938.5	23 56 32	11 50 06	1 10	15 57	23 56 02
21	.722	939.5	0 00 28	11 53 42	0 47	15 57	23 59 58
22	.724	940.5	0 04 25	11 51 17	+0 24	15 58	0 03 55
23	.727	941.5	0 08 21	12 00 53	0 00	15 58	0 07 51
24	.730	942.5	0 12 18	12 04 28	-0 23	15 58	0 11 48
25	.733	943.5	0 16 14	12 08 04	0 46	15 58	0 15 44
26	.735	944.5	0 20 11	12 11 40	1 10	15 59	0 19 41
27	.738	945.5	0 24 08	12 15 16	1 33	15 59	0 23 38
28	.741	946.5	0 28 04	12 18 53	1 56	15 59	0 27 34
29	.744	947.5	0 32 01	12 22 28	2 20	16 00	0 31 31
30	0.746	948.5	0 35 57	12 26 05	-2 43	16 00	0 35 27



მეცნიერება

2025

თვეს რიცხვი	კვირის დღე	ამოსველია ადგილობრივი საშუალო დროით			ცენტრის ზედა კულტურულია თბილისში თბილისის საშუალო დროით	ჩასვლა ადგილობრივი საშუალო დროით			ამოსველია და ჩატარებული	
		41°	42°	43°		41°	42°	43°		
მ დ ტ მ გ ძ ვ ი რ ი ც ი										
1	ოთ	5 56	5 57	5 57	11 49 42	17 42	17 42	17 41	93	
2	ხთ	5 58	5 58	5 58	11 49 22	17 40	17 40	17 39	94	
3	პრ	5 58	5 59	6 00	11 49 03	17 38	17 38	17 38	94	
4	შბ	6 00	6 00	6 01	11 48 45	17 37	17 36	17 36	95	
5	პპ	6 00	6 01	6 02	11 48 27	17 36	17 35	17 34	95	
6	ორ	6 02	6 02	6 03	11 48 09	17 34	17 34	17 33	96	
7	სმ	6 02	6 03	6 04	11 47 51	17 32	17 32	17 31	96	
8	ოთ	6 04	6 04	6 05	11 47 34	17 31	17 30	17 29	97	
9	ხთ	6 05	6 06	6 06	11 47 18	17 29	17 28	17 28	98	
10	პრ	6 06	6 07	6 07	11 47 02	17 28	17 27	17 26	98	
11	შბ	6 07	6 08	6 08	11 46 46	17 26	17 25	17 24	99	
12	პპ	6 08	6 09	6 10	11 46 31	17 24	17 24	17 22	99	
13	ორ	6 09	6 10	6 11	11 46 16	17 23	17 22	17 21	100	
14	სმ	6 10	6 11	6 12	11 46 02	17 22	17 20	17 19	100	
15	ოთ	6 11	6 12	6 13	11 45 49	17 20	17 19	17 18	101	
16	ხთ	6 12	6 13	6 14	11 45 36	17 18	17 17	17 16	101	
17	პრ	6 14	6 14	6 16	11 45 24	17 17	17 16	17 14	102	
18	შბ	6 15	6 16	6 17	11 45 12	17 15	17 14	17 13	102	
19	პპ	6 16	6 17	6 18	11 45 01	17 13	17 12	17 11	103	
20	ორ	6 17	6 18	6 19	11 44 50	17 12	17 10	17 09	103	
21	სმ	6 18	6 20	6 21	11 44 40	17 10	17 09	17 08	104	
22	ოთ	6 19	6 21	6 22	11 44 31	17 09	17 08	17 06	104	
23	ხთ	6 20	6 22	6 24	11 44 22	17 07	17 06	17 04	104	
24	პრ	6 22	6 23	6 25	11 44 15	17 06	17 05	17 03	105	
25	შბ	6 22	6 24	6 26	11 44 07	17 05	17 04	17 02	105	
26	პპ	6 24	6 25	6 27	11 44 01	17 04	17 02	17 00	106	
27	ორ	6 24	6 26	6 28	11 43 55	17 02	17 01	16 59	106	
28	სმ	6 26	6 27	6 29	11 43 50	17 01	17 00	16 58	107	
29	ოთ	6 27	6 28	6 30	11 43 46	17 00	16 58	16 56	107	
30	ხთ	6 28	6 30	6 32	11 43 42	16 58	16 56	16 56	108	
31	პრ	6 30	6 31	6 33	11 43 39	16 57	16 55	16 54	108	



ები

2025

თვეის დაცხის მიზანი და განვითარების მიზანი	თვეის დაცხის მიზანი და განვითარების მიზანი	გედამიწის დინამიკური დროით 0 <sup>h</sup> - ზე			გედამიწის დინამიკური დროით 0 <sup>h</sup> - ზე მდგრადი და ადამიტი		
		ხილული ა	ხილული ბ	ხილული გ	ხილული ა	ხილული ბ	ხილული გ
(1)	(2)	(3)	(4)	(5)	(6)	(7)	(8)
1	0.749	949.5	0 39 53	12 29 42	-3 06	16 00	0 39 23
2	.752	950.5	0 43 50	12 33 17	3 30	16 00	0 43 20
3	.755	951.5	0 47 47	12 36 57	3 53	16 01	0 47 17
4	.757	952.5	0 51 43	12 40 34	4 16	16 01	0 51 13
5	.760	953.5	0 55 40	12 44 03	4 39	16 01	0 55 10
6	.763	954.5	0 59 37	12 47 51	5 02	16 01	0 59 07
7	.766	955.5	1 03 33	12 51 30	5 25	16 02	1 03 03
8	.768	956.5	1 07 30	12 55 10	5 48	16 02	1 07 00
9	.771	957.5	1 11 26	12 58 49	6 11	16 02	1 10 56
10	.774	958.5	1 15 23	13 02 30	6 34	16 03	1 14 53
11	.776	959.5	1 19 19	13 06 11	6 57	16 03	1 18 49
12	.779	960.5	1 23 16	13 09 52	7 19	16 03	1 22 46
13	.782	961.5	1 27 12	13 13 34	7 42	16 03	1 26 42
14	.785	962.5	1 31 09	13 17 16	8 04	16 04	1 30 39
15	.787	963.5	1 35 06	13 20 59	8 26	16 04	1 34 36
16	.790	964.5	1 39 02	13 24 42	8 49	16 04	1 38 32
17	.793	965.5	1 42 58	13 28 26	9 11	16 05	1 42 28
18	.796	966.5	1 46 55	13 32 11	9 32	16 05	1 46 25
19	.798	967.5	1 50 51	13 35 56	9 54	16 05	1 50 21
20	.801	968.5	1 54 48	13 39 42	10 16	16 06	1 54 18
21	.804	969.5	1 58 45	13 43 28	10 37	16 06	1 58 15
22	.807	970.5	2 02 41	13 47 15	10 59	16 06	2 02 11
23	.809	971.5	2 06 38	13 51 03	11 20	16 06	2 06 08
24	.812	972.5	2 10 35	13 54 51	11 41	16 06	2 10 05
25	.815	973.5	2 14 31	13 58 40	12 02	16 07	2 14 01
26	.818	974.5	2 18 28	14 02 30	12 22	16 07	2 17 58
27	.820	975.5	2 22 17	14 06 21	12 43	16 07	2 21 47
28	.823	976.5	2 26 21	14 10 12	13 03	16 07	2 25 51
29	.826	977.5	2 30 17	14 14 04	13 23	16 08	2 29 47
30	.828	978.5	2 34 14	14 17 56	13 43	16 08	2 33 44
31	0.831	979.5	2 38 10	14 21 50	-14 02	16 08	2 37 40



86

2025

თვეის რიცხვი	გვირის დღე	ამოსველა ადგილობრივი საშუალო დროით			ცენტრის ზედა კულმინაცია თბილისში თბილისის საშუალო დროით			ჩასველა ადგილობრივი საშუალო დროით			ამოსველისა და ჩასველის აზიდუბი
		41°	42°	43°	41°	42°	43°	41°	42°	43°	
6	()	9	8	7	6	5	4	3	2	1	0
1	ვე	h m	h m	h m	h m s	h m	h m	h m	h m	h m	°
1	ვე	6 31	6 32	6 34	11 43 37	16 56	16 54	16 52	108		
2	ვე	6 32	6 34	6 36	11 43 36	16 54	16 52	16 51	109		
3	ორ	6 33	6 35	6 37	11 43 37	16 53	16 51	16 49	109		
4	სტ	6 34	6 36	6 38	11 43 38	16 52	16 50	16 48	110		
5	ოთ	6 35	6 37	6 39	11 43 40	16 51	16 49	16 47	110		
6	ხთ	6 36	6 38	6 41	11 43 43	16 50	16 48	16 46	111		
7	პრ	6 38	6 40	6 42	11 43 47	16 49	16 47	16 45	111		
8	ვე	6 39	6 41	6 44	11 43 51	16 48	16 46	16 44	111		
9	ვე	6 40	6 42	6 45	11 43 57	16 47	16 45	16 42	112		
10	ორ	6 42	6 44	6 46	11 44 03	16 46	16 44	16 42	112		
11	სტ	6 43	6 45	6 47	11 44 10	16 45	16 43	16 40	113		
12	ოთ	6 44	6 46	6 48	11 44 18	16 44	16 42	16 40	113		
13	ხთ	6 45	6 47	6 50	11 44 27	16 43	16 41	16 38	113		
14	პრ	6 46	6 48	6 51	11 44 37	16 42	16 40	16 38	114		
15	ვე	6 47	6 50	6 52	11 44 47	15 41	16 39	16 36	114		
16	ვე	6 48	6 51	6 54	11 45 00	16 40	16 38	16 36	114		
17	ორ	6 50	6 52	6 55	11 45 12	16 40	16 37	16 35	115		
18	სტ	6 51	6 54	6 56	11 45 25	16 39	16 36	16 34	115		
19	ოთ	6 52	6 55	6 57	11 45 39	16 38	16 36	16 33	116		
20	ხთ	6 54	6 56	6 58	11 45 54	16 38	16 35	16 32	116		
21	პრ	6 54	6 57	7 00	11 46 09	16 37	16 34	16 32	116		
22	ვე	6 56	6 58	7 01	11 46 26	16 36	16 34	16 31	116		
23	ვე	6 57	7 00	7 02	11 46 43	16 36	16 33	16 30	117		
24	ორ	6 58	7 01	7 04	16 47 00	16 36	16 32	16 29	117		
25	სტ	6 59	7 02	7 05	11 47 19	16 36	16 32	16 29	117		
26	ოთ	7 00	7 03	7 06	11 47 38	16 35	16 31	16 28	118		
27	ხთ	7 01	7 04	7 07	11 47 58	16 34	16 32	16 28	118		
28	პრ	7 02	7 05	7 08	11 48 10	16 34	16 31	16 28	118		
29	ვე	7 03	7 06	7 09	11 48 29	16 33	16 30	16 28	118		
30	ვე	7 04	7 07	7 10	11 48 40	16 32	16 30	16 27	119		



ՀԵՇ

2025

օրինական թիվ	Առաջնային մասը և դեպարտամենտը	Առաջնային մասը և դեպարտամենտը	Առաջնային մասը և դեպարտամենտը	Հայամայիսի ցունամույշը 0 <sup>h</sup> - 9 <sup>h</sup>		Կողմանական արժեքը	Կողմանական արժեքը
				Կողմանական արժեքը α	Կողմանական արժեքը δ		
ԵՐԵՎԱՆ							
1	0.834	2460	h m s	h m s	° °'	' ''	h m s
		980.5	2 42 07	14 25 44	- 14 22	16 08	2 41 37
2	.837	981.5	2 46 04	14 29 39	14 41	16 09	2 45 34
3	.839	982.5	2 50 00	14 33 35	15 00	16 09	2 49 30
4	.842	983.5	2 53 57	14 37 32	15 18	16 09	2 53 27
5	.845	984.5	2 57 53	14 41 29	15 37	16 09	2 57 23
6	,848	985.5	3 01 50	14 45 28	15 55	16 10	3 01 20
7	.850	986.5	3 05 46	14 49 27	16 13	16 10	3 05 16
8	.853	987.5	3 09 43	14 53 27	16 31	16 10	3 09 13
9	.856	988.5	3 13 39	14 57 28	16 48	16 10	3 13 09
10	.859	989.5	3 17 36	15 01 30	17 05	16 11	3 17 06
11	.861	990.5	3 21 33	15 05 32	17 22	16 11	3 21 03
12	.864	991.5	3 25 29	15 09 38	17 38	16 11	3 25 00
13	,867	992.5	3 29 26	15 13 40	17 54	16 11	3 28 56
14	.870	993.5	3 33 22	15 17 46	18 10	16 12	3 32 52
15	.872	994.5	3 37 19	15 21 52	18 26	16 12	3 36 49
16	.875	995.5	3 41 15	15 25 59	18 41	16 12	3 40 45
17	.878	996.5	3 45 12	15 30 06	18 56	16 12	3 44 42
18	.880	997.5	3 49 08	15 34 15	19 10	16 12	3 48 38
19	.883	998.5	3 53 05	15 38 24	19 25	16 13	3 52 35
20	.886	999.5	3 57 02	15 42 35	19 39	16 13	3 56 32
21	.889	000.5	4 00 58	15 46 46	19 52	16 13	4 00 28
22	.892	001.5	4 04 55	15 50 58	20 05	16 13	4 04 25
23	.894	002.5	4 08 51	15 55 10	20 18	16 13	4 08 21
24	.897	003.5	4 12 48	15 59 23	20 30	16 13	4 12 18
25	.900	004.5	4 16 44	16 03 38	20 42	16 14	4 16 14
26	.902	005.5	4 20 41	16 07 52	20 54	16 14	4 20 11
27	.905	006.5	4 24 37	16 12 08	21 05	16 14	4 24 07
28	.908	007.5	4 28 34	16 16 24	21 16	16 14	4 28 04
29	.911	008.5	4 32 31	16 20 41	21 26	16 14	4 32 01
30	0.913	009.5	4 36 27	16 24 59	-21 37	16 15	4 35 57



86

2025

თვეის რიცხვი გვირის დღე	ამოსველა ადგილობ- რივი საშუალო დროით			ცენტრის ზედა ქულმინაცია თბილისის საშუალო დროით	ჩასველა ადგილობ- რივი საშუალო დროით			აძლიერების და წარვალის აზიდები	
	41°	42°	43°		41°	42°	43°		
დ ა პ ა მ ბ ა რ 0									
1 ორ	7 05	7 08	7 11	11 49 02	16 32	16 30	16 26	119	
2 სმ	7 06	7 09	7 12	11 49 25	16 32	16 29	16 26	119	
3 ოთ	7 07	7 10	7 14	11 49 48	16 32	16 29	16 26	119	
4 ხთ	7 08	7 11	7 14	11 50 12	16 32	16 29	16 26	120	
5 პრ	7 09	7 12	7 16	11 50 37	16 32	16 29	16 26	120	
6 ბბ	7 10	7 13	7 16	11 51 02	16 32	16 29	16 26	120	
7 პპ	7 11	7 14	7 18	11 51 28	16 32	16 29	16 26	120	
8 ორ	7 12	7 15	7 18	11 51 54	16 32	16 29	16 26	120	
9 სმ	7 13	7 16	7 20	11 52 20	16 32	16 29	16 26	120	
10 ოთ	7 14	7 17	7 20	11 52 48	16 32	16 29	16 26	121	
11 ხთ	7 15	7 18	7 21	11 53 15	16 32	16 29	16 26	121	
12 პრ	7 16	7 18	7 22	11 53 43	16 32	16 29	16 26	121	
13 ბბ	7 16	7 19	7 23	11 54 11	16 32	16 29	16 26	121	
14 პპ	7 17	7 20	7 24	11 54 40	16 32	16 29	16 26	121	
15 ორ	7 18	7 21	7 24	11 55 09	16 32	16 29	16 26	121	
16 სმ	7 18	7 22	7 25	11 55 38	16 33	16 30	16 26	121	
17 ოთ	7 19	7 22	7 26	11 56 07	16 33	16 30	16 26	121	
18 ხთ	7 20	7 23	7 26	11 56 37	16 34	16 30	16 26	121	
19 პრ	7 20	7 24	7 27	11 57 06	16 34	16 30	16 27	121	
20 ბბ	7 21	7 24	7 28	11 57 36	16 34	16 31	16 28	121	
21 პპ	7 22	7 24	7 28	11 58 06	16 35	16 32	16 28	121	
22 ორ	7 22	7 25	7 28	11 68 36	16 36	16 32	16 28	121	
23 სმ	7 22	7 26	7 29	11 59 06	16 36	16 33	16 29	121	
24 ოთ	7 23	7 26	7 30	11 59 36	16 37	16 34	16 30	121	
25 ხთ	7 23	7 26	7 30	12 00 05	16 37	16 34	16 31	121	
26 პრ	7 24	7 27	7 30	12 00 35	16 38	16 35	16 32	121	
27 ბბ	7 24	7 27	7 31	2 01 04	16 39	16 36	16 32	121	
28 პპ	7 24	7 28	7 31	12 01 34	16 39	16 36	16 33	121	
29 ორ	7 25	7 28	7 31	12 02 03	16 40	16 36	16 33	121	
30 სმ	7 25	7 28	7 32	12 02 32	16 40	16 37	16 34	121	
31 ოთ	7 25	7 28	7 32	12 03 00	16 41	16 38	16 35	121	



2025

თვეის რიცხვი	მდგრადი განვითარების მინისტრის გვარი გვიანი გვიანი გვიანი	მდგრადი განვითარების მინისტრის გვარი გვიანი გვიანი გვიანი	მდგრადი განვითარების მინისტრის გვარი გვიანი გვიანი გვიანი	დ გ ა პ ა მ ბ ა რ ი			დედამიწის დინამიკური ღროვით 0 <sup>h</sup> - ხე	სილუეტის განვითარების მინისტრის გვარი გვიანი გვიანი გვიანი	დედამიწის დინამიკური ღროვით 0 <sup>h</sup> - ხე
				სილუეტის განვითარების მინისტრის გვარი გვიანი გვიანი გვიანი	სილუეტის განვითარების მინისტრის გვარი გვიანი გვიანი გვიანი	სილუეტის განვითარების მინისტრის გვარი გვიანი გვიანი გვიანი			
1	0.916	010.5	4 40 23	16 29 17	-21 46	16 15	4 39 53		
2	.919	011,5	4 44 20	16 33 36	21 55	16 15	4 43 50		
3	.922	012,5	4 48 17	16 37 56	22 04	26 15	4 47 47		
4	.924	013,5	4 52 13	16 42 16	22 12	16 15	4 51 43		
5	.927	014,5	4 56 10	16 46 37	22 20	16 15	4 55 40		
6	.930	015,5	5 00 06	16 50 59	22 28	16 16	4 59 36		
7	.932	016,5	5 04 03	16 55 21	22 35	16 16	5 03 33		
8	.935	017,5	5 08 00	16 59 43	22 42	16 16	5 07 30		
9	.938	018,5	5 11 56	17 04 06	22 48	16 16	5 11 26		
10	.941	019,5	5 15 53	7 08 30	22 53	16 16	5 15 23		
11	.944	020,5	5 19 49	17 12 53	22 59	16 16	5 19 19		
12	.946	021,5	5 23 46	17 17 18	23 04	16 16	5 23 16		
13	.949	022,5	5 27 42	17 21 43	23 08	16 16	5 27 12		
14	.952	023,5	5 31 39	17 26 08	23 12	16 16	5 31 09		
15	.954	024,5	5 35 35	17 30 33	23 15	16 17	5 35 05		
16	.957	025,5	5 39 32	17 34 59	23 18	16 17	5 39 02		
17	.960	026,5	5 43 29	17 39 24	23 21	16 17	5 42 59		
18	.963	027,5	5 47 25	17 43 50	23 23	16 17	5 46 55		
19	.965	028,5	5 51 22	17 48 16	23 24	16 17	6 50 52		
20	.968	029,5	5 55 18	7 52 43	23 26	16 17	5 54 48		
21	.971	030,5	5 59 15	17 57 09	23 26	16 17	5 58 45		
22	.974	031,5	6 03 11	18 01 35	23 26	16 17	6 02 41		
23	.976	032,5	6 07 08	18 06 02	23 26	16 17	6 06 38		
24	.979	033,5	6 11 04	18 10 28	23 25	16 17	6 10 34		
25	.982	034,5	6 15 01	18 14 55	23 24	16 17	6 14 31		
26	.985	035,5	6 18 58	18 19 21	23 22	16 17	6 18 28		
27	.987	036,5	6 22 54	18 23 47	23 20	16 17	6 22 24		
28	.990	037,5	6 26 51	18 28 13	23 17	16 17	6 26 21		
29	.993	038,5	6 30 47	18 32 39	23 14	16 17	6 30 17		
30	.996	039,5	6 34 44	18 37 04	23 11	16 17	6 34 14		
31	0.998	040,5	6 38 40	18 41 29	-23 07	16 17	6 38 10		



მთვარე

2025

თვეს რიცხვი	იანვარი		თებერვალი		მარტი	
	ამოსვლა	ჩასვლა	ამოსვლა	ჩასვლა	ამოსვლა	ჩასვლა
	h m	h m	h m	h m	h m	h m
1	8 57	18 05	8 53	20 49	7 18	19 44
2	9 33	19 20	9 16	22 04	7 41	21 02
3	10 02	20 34	9 39	23 20	8 06	22 21
4	10 27	21 48	10 04	–	8 34	23 41
5	10 50	23 01	10 33	0 36	9 08	–
6	11 12	–	11 08	1 53	9 50	0 59
7	11 35	0 14	11 53	3 08	10 42	2 11
8	12 01	1 29	12 47	4 17	11 43	3 13
9	12 31	2 46	13 51	5 16	12 51	4 02
10	13 10	4 04	15 01	6 03	14 01	4 42
11	13 58	5 18	16 12	6 40	15 10	5 12
12	14 58	6 26	17 21	7 09	16 16	5 37
13	16 06	7 22	18 28	7 33	17 21	5 58
14	17 18	8 06	19 32	7 53	18 23	6 17
15	18 29	8 40	20 34	8 12	19 24	6 35
16	19 37	9 07	21 35	8 30	20 26	6 53
17	20 43	9 30	22 37	8 48	21 28	7 13
18	21 45	9 50	23 39	9 09	22 32	7 35
19	22 46	10 08	–	9 32	23 36	8 01
20	23 47	10 26	0 44	10 00	–	8 33
21	–	10 45	1 48	10 35	0 39	9 13
22	0 49	11 07	2 51	11 20	1 39	10 02
23	1 53	11 32	3 50	12 15	2 32	11 02
24	2 58	12 03	4 41	13 21	3 18	12 10
25	4 04	12 43	5 24	14 34	3 55	13 24
26	5 06	13 33	5 59	15 51	4 26	14 40
27	6 03	14 34	6 29	17 09	4 53	15 57
28	6 51	15 44	6 54	18 27	5 17	17 15
29	7 30	17 00			5 41	18 34
30	8 03	18 17			6 05	19 55
31	8 30	19 34			6 33	21 18



მთვარე

2025

თვეს რიცხვი	აპრილი		მაისი		ივნისი	
	ამოსებლა	ჩასებლა	ამოსებლა	ჩასებლა	ამოსებლა	ჩასებლა
	h m	h m	h m	h m	h m	h m
1	7 05	22 40	7 20	23 51	9 46	—
2	7 45	23 57	8 28	—	10 54	0 12
3	8 35	—	9 39	0 40	11 59	0 34
4	9 35	1 05	10 51	1 17	13 01	0 53
5	10 42	2 00	12 00	1 46	14 02	1 11
6	11 52	2 43	13 05	2 10	15 03	1 30
7	13 02	3 16	14 08	2 30	16 05	1 50
8	14 09	3 42	15 09	2 48	17 09	2 12
9	15 13	4 04	16 10	3 06	18 13	2 39
10	16 15	4 24	17 11	3 25	19 16	3 11
11	17 16	4 42	18 14	3 45	20 15	3 52
12	18 17	5 00	19 18	4 09	21 08	4 42
13	19 19	5 19	20 22	4 37	21 52	5 41
14	20 22	5 40	21 24	5 12	22 28	6 48
15	21 27	6 04	22 21	5 55	22 57	7 57
16	22 30	6 34	23 11	6 47	23 23	9 08
17	23 31	7 11	23 52	7 48	23 45	10 19
18	—	7 57	—	8 55	—	11 30
19	0 26	8 52	0 26	10 05	0 07	12 42
20	1 13	9 56	0 54	11 17	0 29	13 57
21	1 52	11 05	1 19	12 29	0 54	15 14
22	2 25	12 18	1 41	13 42	1 23	16 35
23	2 52	13 32	2 04	14 57	2 00	17 55
24	3 17	14 47	2 28	16 16	2 46	19 10
25	3 40	16 04	2 55	17 38	3 45	20 14
26	4 04	17 23	3 27	19 01	4 55	21 04
27	4 29	18 45	4 09	20 21	6 10	21 42
28	4 59	20 10	5 02	21 32	7 25	22 12
29	5 36	21 32	6 07	22 29	8 37	22 36
30	6 23	22 48	7 19	23 12	9 44	22 56
31			8 33	23 46		



მთვარე

2025

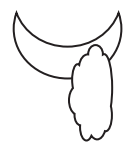
თვე დინები	ივლისი		აგვისტო		სექტემბერი	
	ამოსველა	ჩასველა	ამოსველა	ჩასველა	ამოსველა	ჩასველა
	h m	h m	h m	h m	h m	h m
1	10 49	23 15	22 40	15 41	14 41	23 06
2	11 51	23 34	13 49	23 08	15 35	—
3	12 53	23 53	14 53	23 43	16 20	0 04
4	13 55	—	15 55	—	16 57	1 10
5	14 58	0 15	16 53	0 26	17 29	2 21
6	16 02	0 39	17 43	1 19	17 55	3 34
7	17 06	1 10	18 26	2 21	18 19	4 49
8	18 07	1 48	19 00	3 30	18 42	6 04
9	19 02	2 35	19 29	4 43	19 05	7 19
10	19 49	3 32	19 54	5 56	19 30	8 36
11	20 28	4 37	20 17	7 10	19 59	9 55
12	21 00	5 47	20 39	8 23	20 35	11 15
13	21 27	6 59	21 02	9 36	21 20	12 33
14	21 50	8 11	21 27	10 52	22 16	13 45
15	22 12	9 22	21 58	12 09	23 22	14 45
16	22 34	10 34	22 36	13 27	—	15 34
17	22 57	11 46	23 23	14 43	0 33	16 12
18	23 24	13 01	—	15 51	1 46	16 42
19	23 56	14 19	0 22	16 49	2 56	17 06
20	—	15 38	1 31	17 34	4 04	17 27
21	0 38	16 53	2 44	18 10	5 10	17 46
22	1 30	18 00	3 58	18 38	6 14	18 05
23	2 34	18 55	5 09	19 02	7 16	18 24
24	3 47	19 37	6 17	19 22	8 20	18 45
25	5 02	20 10	7 22	19 41	9 23	19 10
26	6 16	20 37	8 26	20 00	10 27	19 39
27	7 26	20 59	9 29	20 20	11 30	20 14
28	8 33	21 18	10 32	20 42	12 30	20 58
29	9 37	21 37	11 36	21 08	13 25	21 51
30	10 40	21 56	12 40	21 39	14 13	22 52
31	11 42	22 17	13 42	22 18		



მთვარე

2025

თვე წლის ნოტები	ოქტომბერი		ნოემბერი		დეკემბერი	
	ამოსებლა	ჩასებლა	ამოსებლა	ჩასებლა	ამოსებლა	ჩასებლა
	h m	h m	h m	h m	h m	h m
1	14 53	24 00	14 42	1 14	13 51	2 31
2	15 26	–	15 05	2 26	14 19	3 49
3	15 54	1 11	15 28	3 41	14 53	5 11
4	16 19	2 24	15 54	4 59	15 38	6 34
5	16 42	3 38	16 26	6 21	16 35	7 55
6	17 05	4 53	17 05	7 45	17 44	9 05
7	17 30	6 10	17 55	9 08	19 01	10 00
8	17 58	7 30	18 57	10 22	20 19	10 42
9	18 32	8 53	20 09	11 24	21 33	11 15
10	19 15	10 15	21 24	12 11	22 43	11 40
11	20 09	11 32	22 38	12 47	23 49	12 02
12	21 13	12 39	23 48	13 15	–	12 22
13	22 24	13 32	–	13 38	0 52	12 41
14	23 37	14 14	0 54	13 58	1 55	13 00
15	–	14 46	1 58	14 17	2 57	13 22
16	0 48	15 11	3 00	14 36	4 00	13 46
17	1 56	15 33	4 02	14 56	5 03	14 16
18	3 01	15 52	5 05	15 18	6 06	14 52
19	4 05	16 11	6 08	15 44	7 06	15 37
20	5 07	16 30	7 12	16 15	8 00	16 30
21	6 10	16 50	8 14	16 53	8 47	17 30
22	7 13	17 13	9 12	17 40	9 26	18 35
23	8 17	17 41	10 04	18 35	9 58	19 42
24	9 20	18 14	10 48	19 37	10 24	20 50
25	10 21	18 54	11 24	20 42	10 48	21 58
26	11 18	19 44	11 55	21 50	11 09	23 06
27	12 08	20 41	12 21	22 58	11 30	–
28	12 50	21 45	12 44	–	11 52	0 16
29	13 24	22 53	13 05	0 07	12 17	1 29
30	13 54	–	13 27	1 18	12 47	2 45
31	14 19	0 02			13 25	4 05



მთვარე

50

## გ ა ხ ე ბ ი

თვე	პირველი მეოთხედი	სავსე მეოთხედი	უკანასკნელი მეოთხედი	ახალი მიწარე	პირველი მეოთხედი
	d h m	d h m	d h m	d h m	d h m
იანვარი	7 02 58	14 01 28	21 23 32	29 15 37	
თებერვალი	5 11 04	12 16 54	20 20 35	28 03 47	
მარტი	6 19 34	14 09 56	22 14 32	29 14 00	
აპრილი	5 05 17	13 03 24	21 04 38	27 22 33	
მაისი	4 16 53	12 19 58	20 15 01	27 06 04	
ივნისი	3 06 42	11 10 46	18 22 21	25 13 34	
ივლისი	2 22 30	10 23 39	18 03 40	24 22 12	
აგვისტი	1 15 41	9 10 57	16 08 14	23 09 07	31 09 26
სექტემბერი		7 21 11	14 13 35	21 22 55	30 02 55
ოქტომბერი		7 06 49	13 21 15	21 15 26	29 19 22
ნოემბერი		5 16 20	12 08 30	20 09 48	28 10 00
დეკემბერი		5 02 15	11 23 53	20 04 44	27 22 11

2025

# კაშკაშა პლანეთების ხილვადობა

2025

## მერკური

2025 წელს პლანეტა მერკურის დანახვა შეუიარაღებელი თვალით შესაძლებელი იქნება დილით, მზის ამოსვლამდე, აღმოსავლეთის ცაზე, ჰორიზონტის მახლობლობაში: იანვრის I-II დეკადებში (საშუალო ხანგრძლივობის ხილვადობა), აპრილსა და მაისის I დეკადაში (უაღრესად ხანმოკლე ხილვადობა), აგვისტოს II-III დეკადებსა და სექტემბრის პირველ დეკადებში (საშუალო ხანგრძლივობა), აგრეთვე ნოემბრის ბოლო კვირასა და დეკემბერში, მისი ბოლო თარიღების გარდა (ხანგრძლივი ხილვადობა), საღამოს ვი, მზის ჩასვლის მერე, დასავლეთის ცაზე, ასევე ჰორიზონტის მახლობლად: თებერვლის III და მარტის I-II დეკადებში (საშუალო ხანგრძლივობის ხილვადობა), ივნისსა (მის პირველ რიცხვებს გარდა) და ივლისის I ნახევარში (საშუალო ხანგრძლივობის ხილვადობა), აგრეთვე ოქტომბრის II-III და ნოემბრის I დეკადებში (უაღრესად ხანმოკლე ხილვადობა).

მერკური უხილავი იქნება 9 თებერვლის, 30 მაისისა და 13 სექტემბრის (ზედა შეერთება), აგრეთვე 25 მარტის, 1 აგვისტოსადა 20 ნოემბრის (ქვედა შეერთება) თარიღების წინა და მომდევნო რამდენიმევირიან პერიოდებში, ხოლო მზიდან მაქსიმალურად იქნება კუთხურად დაშორებული და, შესაბამისად, მაქსიმალურად ხანგრძლივად მისაწვდომი დაკვირვებებისათვის – იანვრის დასაწყისში, აგრეთვე 8 მარტის, 4 ივლისისა და 30 ოქტომბრის (აღმოსავლეთი ელონ - გაცია), და 21 აპრილის, 19 აგვისტოსა და 8 დეკემბრის (დასავლეთი ელონგაცია) თარიღების სიახლოვეს.

2025 წელს პლანეტა მერკური შეერთებაში იქნება: ვენერასთან – 12 მარტსა ( $5,5^{\circ}\text{S}$ ) და 25 ნოემბერს ( $1^{\circ}\text{N}$ ), მარსთან – 20 ოქტომბერსა ( $2^{\circ}\text{S}$ ) და 13 ნოემბერს ( $1,2^{\circ}\text{S}$ ), იუპიტერთან – 8 ივნისს ( $2^{\circ}\text{N}$ ) და სატურნთან – 25 თებერვალსა ( $1,5^{\circ}\text{N}$ ) და 10 აპრილს ( $2^{\circ}\text{N}$ ).

ხილვადობის პერიოდებში მერკურის ვიზუალური ხილული ბრნყინვალება ნულოვანი ვარსკვლავიერი სიდიდის ახ-

ლომახლოს დარჩება, თუმცაღა ერთმანეთისგან რამდენადმე განსხვავებული იქნება სხვადასხვა თვეებში, მისი განათებული ნაწილის ფართობის სხვადასხვაობისა და დედამიწიდან ამ პლანეტის სხვადასხვა მანძილზე ყოფნის გამო.

## ვენერა

2025 წლის იანვრის დასაწყისში პლანეტა ვენერა მზიდან აღმოსავლეთით იქნება, მისგან 50°-მდე კუთხეურ მანძილზე, ამიტომ ამოვა ხოლმე მზეზე უფრო გვიან და მას დავინახავთ საღამოს მნათობის სახით, მზის ჩასვლის მერე, ცის დასავლეთ მხარეს, ჰორიზონტიდან მცირე სიმაღლეზე, დაახლოებით 3 სთ-ის განმავლობაში. ამ პერიოდში ვენერა იმოძრავებს მზიდან კუთხური მანძილის ზრდის მიმართულებით (აღ მო - ს ა ვ ლ ე თ ე ლ ო ნ გ ა ც ი ა ს 10 იანვარს გაივლის), ამიტომ ყოველ მომდევნო დღეს იგი ჩავა წინა დღესთან შედარებით მზის ჩასვლიდან სულ უფრო მეტი ხნის გავლის მერე, ანუ მისი ხილვადობის პერიოდი წლის დასაწყისში თანდათანობით გახანგრძლივდება, იანვრის შუა რიცხვების მერე კი ასევე თანდათანობით მოიკლებს: მარტის დასაწყისში 2, მარტის შუა რიცხვებში კი 0,5 საათამდე.

23 მარტს ვენერამ ხესთანქ ვე და შე ე რ თ ე ბ ა შ ი გაივლის, რის გამო შუა მარტიდან იგი ერთხანს მზის სხივებში იქნება გაუჩინარებული, მარტის ბოლო რიცხვებიდან კი საკმაო კუთხურ მანძილზე დაშორდება მზეს მისგან დასავლეთის მიმართულებით, ამიტომ მზეს დაასწრებს ხოლმე ამოსვლას და დილის მნათობად იქცევა. ჩვენ მას დავინახავთ ცის აღმოსავლეთ ნაწილში, ჰორიზონტიდან მცირე სიმაღლეზე, დილის ბინძში, მზის ამოსვლამდე ძალზე ხანმოკლე დროით.

ამის შემდეგ ვენერა ყოველდღიურად სულ უფრო მეტი კუთხით დაშორდება მზეს დასავლეთის მიმართულებით, ამიტომ ყოველ მომდევნო დღეს მზის ამოსვლამდე სულ უფრო მეტი ხნით ადრე ამოვა, ანუ მისი ხილვადობის პერიოდი ნელ-ნელა, მაგრამ განუწყვეტლივ გახანგრძლივდება: აპრილის ბოლოს 1, ივნისში 1,5, ივლისში კი 2 სთ-მდე. შუა ივნისში ვენერა და ა ს ა ვ ლ ე თ ე ლ ო ნ გ ა ც ი ა შ ი გაივლის, რის მერეც ცაზე კვლავ მზესთან ხილულ დაახლოებას დაიწყებს და ყოველ მომდევნო დღეს წინა დღესთან შედარებით მზეზე სულ უფრო მცირე ხნით ადრე ამოვა, ანუ მისი ხილვადობის პერიოდი

ნელ-ნელა სტაბილურად შემოვლდება: ივლის-აგვისტოში 2, სექტემბრის ბოლოს 1,5, ნოემბრის შეა რიცხვებში კი 0,5 სთ-მდე. საერთოდ, 2025 წელს ვენერას, როგორც საღამოს მნათობის ხილვადობის პერიოდის ხანგრძლივობა (წლის 1 კვარტალი) მეტი იქნება, ვიდრე წლის დანარჩენ პერიოდში, როცა ვენერა დილის მნათობად იქცევა. ამის მიზები ისაა, რომ ამ მეორე პერიოდში ვენერასა და მზის დახრილობათა სხვაობა უფრო მცირე იქნება, ვიდრე „საღამოს ვენერას“ პირობებში.

წლის ბოლო დღეებში პლანეტა ძლიერ მიუახლოვდება 8 და 9 წერთებას, ამიტომ დეკემბრის განმავლობაში პრაქტიკულად მზის სხივებში გაუჩინარდება და მიუწვდომელი გახდება დაკვირვებებისთვის.

2025 წელს ვენერა შეერთებაში იქნება: მერკურთან - 12 მარტსა ( $5,5^{\circ}\text{N}$ ) და 25 ნოემბერს ( $1^{\circ}\text{S}$ ), იუპიტერთან - 12 აგვისტოს ( $1^{\circ}\text{S}$ ) და სატურნთან - 18 იანვარსა ( $2^{\circ}\text{N}$ ) და 29 აპრილს ( $3,7^{\circ}\text{N}$ ).

19 სექტემბერს მოხდება საინტერესო მოვლენა - პლანეტა ვენერა გაივლის მთვარის დისკოს მიღმა და გაუჩინარდება 46 წუთის განმავლობაში - 16 სთ 45 წთ-დან 17 სთ 39 წთ-მდე. ამ მოვლენას მთვარის მიერ პლანეტის დაფარვა ჰქვია. დაფარვისას მთვარეს ორი დღე ექნება დარჩენილი ახალმთვარეობამდე, ამიტომ ვიწრო განათებული ნამგლის სახით გამოჩნდება, ამოზნექილობით დასავლეთისკენ. რაც შეეხება ვენერას, მისი ხილული ვარსკვლავიერი სიდიდე დაფარვის მახლობლობაში -4-ის ახლოსაა, ანუ პლანეტა ვარსკვლავებზე ბევრად ვაშვაშა, მაგრამ, სამწეხაროდ, ამ პერიოდში იგი დილის მნათობია, დაფარვა კი მზის ჩასვლამდე 2 საათით ადრე მოხდება, ანუ ამ საინტერესო მოვლენის ვიზუალურად დაკვირვება შეუძლებელი იქნება.

## მარსი

2025 წლის დამდეგს პლანეტა მარსი ხილულ ცაზე მზის საპირისპირო მხარეს იქნება (პირისპირი და გომას გაივლის 16 იანვარს), ამიტომ ამოვა მაღლევე მზის ჩასვლის მერე და ხილვადი იქნება გათენებამდე, თითქმის 13 სთის განმავლობაში. იანვრის შეა რიცხვებამდე მისი ხილვადობის შუალედი კიდევ 0,5 სთ-ით გაიზრდება, მერე კი

თანდათანობით მოიკლებს, რადგან პლანეტა უკვე ხილულ ცაზე მზესთან კუთხურ დაახლოებას დაიწყებს; ამის გამო კი, თუმცა მარსი ცაზე საღამოს დადგომიდანვე იქნება, იგი ყოველ მომდევნო დღეს მზის ამოსვლის მომენტის მიმართ სულ უფრო მეტი ხნით ადრე ჩავა წინა დღესთან შედარებით. აპრილის ბოლოს მარსი საღამოს მნათობად იქცევა და ხილვადი იქნება 6 სთ-ის განმავლობაში. 1 მაისს იგი ა ღ მ ო ს ა ვ ლ ე თ კვადრატურაში გაივლის, წლის დარჩენილი ნაწილის განმავლობაში კი სულ უფრო და უფრო შემცირდება მარსიდან მზემდე კუთხური მანძილი, რის გამოც შემოვლდება მარსის ხილვადობის პერიოდიც: ივნისის შუა რიცხვებში 3, ივლისის ბოლოს 1,5, სექტემბრის შუა რიცხვებში კი 0,5 სთ-მდე.

ოქტომბერსა და ნოემბრის I დეკადაში მარსი ხილული იქნება სულ 1-2 ათეული წუთის განმავლობაში, ამის მერე კი წლის ბოლომდე ცაზე მის დანახვას ვეღარ შევძლებთ, რადგან ამ პერიოდში პლანეტა პრაქტიკულად მზის სხივებში იქნება გაუჩინარებული. ამის მიზებია მარსის გავლა ბედაშე ერთებაში, რაც მომდევნო წლის იანვარში მოხდება. საზოგადოდ კი 2025 წლის მეორე ნახევარში მარსზე დაკვირვებების პირობები გაუარესებული იქნება, ვინაიდან ამ პერიოდში პლანეტა თავისი ორბიტის უარყოფით დახრილობათა არეში იმოძრავებს.

2025 წელს პლანეტა მარსი შეერთებაში იქნება მერკურთან 20 ოქტომბერსა ( $2^{\circ}\text{N}$ ) და 13 ნოემბერს ( $1,2^{\circ}\text{N}$ ).

რაც შეეხება მარსის ხილულ ბრწყინვალებას, 2025 წლის დასაწყისში იგი უკაშაშესი ვარსკვლავებისას მიაღწევს ( $-1,4^{\circ}$ ), რასაც დედამიწასთან მისი სივრცული სიახლოვე განაპირობებს; შემდეგ თანდათანობით შემცირდება და სექტემბრის ბოლოს  $+1,5^{\circ}$ -ს გაუტოლდება, რაც გამოწვეული იქნება დედამიწიდან მარსამდე მანძილის განუწყვეტელი ზრდით.

## იუპიტერი

2025 წლის იანვრის დასაწყისში პლანეტა იუპიტერს ახალი განვლილი ექნება პირის პირ და გომა (წინა წლის 8 დეკემბერს), ამიტომ იგი ცაზე მზის საპირისპირო უბანში იქნება განლაგებული, რის გამოც ამოვა ხოლმე მზის ჩასვლამდე, ცაზე დარჩება 12 საათის განმავლობაში და ჩავა

მხოლოდ გათენებისას. ამის შემდეგ მისი ხილვადობის პერიოდი ყოველდღიურად განუწყვეტლივ შემცირდება ხილვალ ცაზე მზესთან მისი მხარდი კუთხური მიახლოების გამო, რადგან პლანეტა ცაზე იქნება საღამოდანვე, მაგრამ ყოველ მომდევნო დღეს ჩავა წინა დღესთან შედარებით გათენებამდე სულ უფრო და უფრო მეტი ხნით ადრე. იანვრის ბოლოს იგი ხილვადი იქნება 10, თებერვლის ბოლოს კი 8 სთ-ზე ნაკლები დროის განმავლობაში.

28 თებერვალს პლანეტა აღ მოსავლეთ კვადრატუ-რაში გაივლის და კვლავაც გააგრძელებს მზესთან კუთხურ მიახლოებას, ამიტომ მისი ხილვადობის პერიოდი მარტის ბოლოს 5, აპრილის დამლევს 3, მაისის დასასრულს კი 1 სთ-მდე შემოკლდება, ამასთან მარტიდან იგი უკვე საღამოს მნათობად იქცევა.

24 ივნისს იუპიტერი მზესთან 8 ედა შეერთებაში გაივლის, რის გამოც 10 ივნისიდან 10 ივლისამდე მზის სხივებში გაუჩინარდება და მიუწვდომი გახდება დაკვირვებებისათვის, შემდეგ კი უკვე მზიდან საკმაოდ დიდ კუთხურ მანძილზე აღმოჩნდება მისგან დასავლეთით, ამიტომ მზებე უფრო ადრე ამოვა ხოლმე და მას აღმოსავლეთის ცაზე შევამჩნევთ გათენებისას, მზის ამოსვლის წინ დილის მნათობის სახით. შემდგომში მზიდან ამ პლანეტის კუთხური მანძილის განუწყვეტლი ზრდის გამო, იგი ყოველ მომდევნო დღეს წინა დღეზე უფრო ადრე ამოვა და მისი ხილვადობის პერიოდის სანგრძლივობა თანდათან მოიმატებს. სახელდობრ ივლისის ბოლოს 1, აგვისტოს დამლევს 3, სექტემბრის მიწურულს 5, ნოემბრის დასაწყისში 7, დეკემბრის პირველ რიცხვებში კი 10 სთ-ს გადააჭარბებს. 22 ოქტომბერს იგი დასავლეთით კვადრატუ-რაში გაივლის, ამასთან წლის ბოლო დეკადაში იუპიტერი უკვე ღამისა და დილის მნათობი გახდება. დეკემბრის მიწურულს, როცა პლანეტა პირის პირდგომას დაუახლოვდება, იგი ხილვადი იქნება მთელ ღამეს - 13 სთ-ის განმავლობაში.

2025 წლის პლანეტა იუპიტერი შეერთებაში იქნება: მერკურთან - 8 ივნისს ( $2^{\circ}\text{S}$ ) და ვენერასთან - 12 აგვისტოს ( $0,9^{\circ}\text{N}$ ).

2025 წლის დასაწყისში იუპიტერი დედამიწასთან თითქმის უმცირეს შესაძლო მანძილზე იქნება და ჩვენგან მაქ-

სიმაღლურად კაშვაშა მნათობის სახით გამოჩნდება (-2,6<sup>m</sup>), შემდეგ კი მისი სიკაშვაშე ივნისამდე განუწყვეტლივ, ოღონდ ნელ-ნელა შემცირდება -1,8<sup>m</sup>-დე, წლის ბოლოსთვის კი ისევ გაიზრდება თითქმის საწყის სიდიდემდე. საერთოდ კი, მთელი წლის განმავლობაში, უხილვადობის ხანმოკლე პერიოდს გარდა, იგი სიკაშვაშით ცაზე ყველა ვარსკვლავს დაჩრდილავს.

მზის გარშემო თავისი წლიური გარემოქცევის მცირე კუთხური სიჩქარის გამო იუპიტერი თანავარსკვლავედთა მიმართ ყოველთვის ნელა გადაადგილდება, ამიტომ 2025 წლის განმავლობაში იგი მხოლოდ კუროსა და მარჩბივის თანავარსკვლავედების ფარგლებში იმოძრავებს, ამასთან იანვრის განმავლობაში და შეუ ნოემბრიდან წლის ბოლომდე – უკუ მიმართულებით.

## სატურნი

2025 წლის დასაწყისში პლანეტა სატურნი ხილულ ცაზე მზიდან აღმოსავლეთით იქნება, მისგან დაახლოებით 60° კუთხურ მანძილზე, ამიტომ ამოვა ხოლმე მზეზე უფრო გვიან და ხილვადი იქნება მხოლოდ საღამოობით, ცის დასავლეთ მხარეს, მზის ჩასვლის მერე, ჰორიზონტიდან მცირე სიმაღლეზე 4 სთ-ზე მეტი ხნის განმავლობაში. ამის მერე იგი თანდათან დაუახლოვდება ხილულ ცაზე მზეს, ამიტომ მისი ხილვადობის პერიოდი ყოველდღიურად ნელ-ნელა შემცირდება და თებერვლის ბოლოს სულ რაღაც ათეულ წუთებს გაუტოლდება. 12 მარტს პლანეტა ზე და შეერთება ში გაივლის, რის გამოც მარტსა და აპრილის I კვირაში მზის სხივებში იქნება გაუჩინარებული და დაკვირვებებისთვის მიუწვდომელი გახდება. 12 მარტიდან იგი მზის დასავლეთით მოექცევა და დილის მნათობად გადაიქცევა, ანუ ამოვა ხოლმე მზის ამოსვლის წინ და განლაგებული იქნება ცის აღმოსავლეთ მხარეს, ჰორიზონტის მახლობლად. ოღონდ იგი ხილვადი გახდება მხოლოდ აპრილის II დეკადიდან, როცა საკმაო კუთხური მანძილით დაშორდება მზეს და ამოვა ხოლმე მასზე სავრძნობლად ადრე.

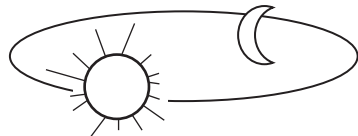
შემდგომში სატურნი სულ უფრო და უფრო მეტად დაშორდება ხილულ ცაზე მზეს, ამდენად ყოველ მომდევნო დღეს

წინასთან შედარებით სულ უფრო მეტი ხნით დაასწრებს მას ამოსვლას და სულ უფრო მეტ ხანს იქნება ხილვადი: მაისის დასაწყისში 1, ივნისში 2-4, ივლისის ბოლოს 6 სთის განმავლობაში. ამ პერიოდში იგი ჭერ ღამისა და დილის, მერე კი ღამის მნათობად იქცევა.

23 ივნისს სატურნი დასავლეთ კვადრატურაში გაივლის (მზიდან  $90^{\circ}$  კუთხეზე მანძილზე), 21 სექტემბერს კი პირის პირდეგომაში. ამის გამო აგვისტოს ბოლოს მისი ხილვადობა 9 სთ-მდე გახანგრძლივდება, სექტემბრის მიწურულს კი თითქმის 11 საათამდე. ამ პერიოდში პლანეტა ცაბე იქნება მზის ჩასვლიდან მის ამოსვლამდე. ოქტომბრის დასაწყისიდან კი სატურნის ხილვადობის ხანგრძლივობა უკვე შემცირებას დაიწყებს, რადგან ყოველ მომდევნო დღეს მზის ამოსვლამდე სულ უფრო მეტი ხნით ადრე ჩავა, თუმცა ცაბე იქნება შეღამებისთანავე. სახელდობრ, მისი ხილვადობა ოქტომბრის ბოლოს 9, ნოემბრის დასასრულს 8, დეკემბრის დამლევს კი 6 სთ-მდე შემოკლდება. 19 დეკემბერს პლანეტა აღმოსავლეთ კვადრატურაში გაივლის, ამდენად წლის ბოლო თვეებში იგი საღამოსა და ღამის მნათობად დარჩება.

2025 წელს პლანეტა სატურნი შეერთებაში იქნება: მერკურთან - 25 თებერვალს ( $1,5^{\circ}\text{S}$ ) და 10 აპრილს ( $2^{\circ}\text{S}$ ) და ვენერასთან - 18 იანვარსა ( $2^{\circ}\text{S}$ ) და 29 აპრილს ( $3,7^{\circ}\text{S}$ ).

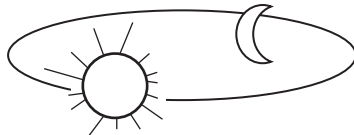
მზის მიმართ გარემოქცევის პერიოდის დიდი ხანგრძლივობის გამო (30 წელიწადი) სატურნი წლის განმავლობაში სულ რამდენიმე თანავარსკვლავედს გადის, 2025 წლის 1 კვარტალში იგი მერწყულში იმძრავებს, აპრილიდან წლის ბოლომდე კი თევზში. 17 ივლისიდან 13 დეკემბრამდე მისი მოძრაობა შექცეული იქნება - აღმოსავლეთიდან დასავლეთისკენ ვარსკვლავების მიმართ. მისი ბრწყინვალება პირველი სიდიდის ვარსკვლავების შესადარი იქნება და წლის განმავლობაშიც დიდად არ შეიცვლება - მხოლოდ სექტემბრის ბოლოს მოიმატებს 0,5 ვარსკვლავიერი სიდიდით დედამიწასთან მაქსიმალური მოახლოების შედეგად.



მერკური

2025

თარიღი	თბილისის საშუალო დროით					$\Delta \text{მინიმუმისდა ჩატვირტისამონტი} \pm A$	მანძილი გვლიცი გწლით	დედამიწის დინამიკური დროით 0°-ზე	
	ამონტი	გვლიცი მინიმუმი	ჩატვირტის ამონტი	ჩატვირტის ამონტი	ხასკოვი			ხ	მ
		h	m	h	m	°		h	m
იანვარი	1	5 54	10 33	15 12	120	171.7	17 16	-21 56	
	8	6 13	10 47	15 20	121	187.4	17 57	-23 17	
	15	6 32	11 04	15 35	122	198.9	18 42	-23 47	
	22	6 49	11 23	15 57	121	206.6	19 29	-23 16	
	29	7 02	11 44	16 25	119	210.6	20 16	-21 39	
ოქტომბერი	5	7 11	12 05	16 58	115	210.7	21 05	-18 52	
	12	7 16	12 26	17 36	109	206.2	21 54	-14 53	
	19	7 17	12 46	18 16	102	195.6	22 42	-9 46	
	26	7 14	13 05	18 56	94	177.2	23 28	-3 51	
გარები	5	7 04	13 15	19 27	86	150.9	0 07	1 57	
	12	6 44	13 08	19 32	81	122.3	0 28	5 57	
	19	6 11	12 37	19 02	81	100.0	0 26	6 40	
	26	5 35	11 50	18 05	84	89.9	0 08	4 05	
აპრილი	2	5 04	11 07	17 09	89	91.6	23 51	0 32	
	9	4 42	10 38	16 34	92	101.2	23 49	-1 37	
	16	4 28	10 24	16 21	92	114.8	0 02	-1 43	
	23	4 17	10 20	16 24	89	130.1	0 26	-0 03	
	30	4 10	10 24	16 39	85	146.1	0 57	2 56	
გაისი	7	4 06	10 34	17 04	80	162.4	1 34	6 56	
	14	4 04	10 51	17 38	73	177.8	2 18	11 38	
	21	4 09	11 15	18 23	67	190.7	3 09	16 37	
	28	4 22	11 48	19 15	60	197.5	4 09	21 11	
ივნისი	4	4 45	12 26	20 07	56	194.6	5 14	24 19	
	11	5 17	13 02	20 46	54	182.6	6 18	25 18	
	18	5 50	13 30	21 08	56	165.7	7 14	24 20	
	25	6 19	13 47	21 14	59	147.5	8 00	22 03	



მერავრი

2025

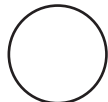
თარიღი	თბილის საშეალო დროით				ამოსკოპის დასახურის სახელი	ამოსკოპის დასახურის სახიზე $\pm A$	პანდიური მილიმეტრი	დედამიწის დინამიკური დროით $0^h - 9^h$	
	ამოსკოპი	ზედა- ქვედა- გენერი	ჩასკვეთი	ამოსკოპი				ხოლოედი $\alpha$	ხოლოედი $\delta$
		h m	h m	h m	°		h m	°	‘
ივნისი	2	6 38	13 54	21 07	64	129.9	8 35	19 06	
	9	6 46	13 49	20 50	68	113.8	8 58	16 07	
	16	6 38	13 30	20 21	71	100.2	9 08	13 40	
	23	6 10	12 57	19 43	73	90.7	9 03	12 25	
	30	5 24	12 12	19 00	72	88.1	8 46	12 50	
აგვისტო	6	4 31	11 27	18 22	70	95.0	8 28	14 36	
	13	3 53	10 57	18 01	67	112.4	8 24	16 33	
	20	3 41	10 49	17 57	66	137.9	8 44	17 24	
	27	3 58	11 03	18 05	68	165.8	9 24	16 11	
სექტემბერი	3	4 35	11 26	18 14	73	188.6	10 14	12 43	
	10	5 18	11 49	18 19	79	202.5	11 05	7 46	
	17	5 58	12 09	18 19	87	208.5	11 53	2 16	
	24	6 34	12 25	18 15	94	208.7	12 37	-3 13	
ოქტომბერი	1	7 06	12 39	18 10	101	204.7	13 18	-8 22	
	8	7 35	12 51	18 05	107	197.2	13 58	-13 02	
	15	8 02	13 02	18 00	113	186.4	14 36	-17 06	
	22	8 25	13 11	17 56	118	172.2	15 13	-20 25	
	29	8 41	13 17	17 51	121	154.5	15 47	-22 49	
ნოემბერი	5	8 43	13 13	17 43	122	133.9	16 12	-23 58	
	12	8 17	12 50	17 22	121	113.1	16 17	-23 19	
	19	7 10	11 56	16 42	117	101.4	15 52	-20 07	
	26	5 56	10 58	16 00	111	110.0	15 21	-16 15	
დეკემბერი	3	5 25	10 30	15 35	111	133.5	15 19	-15 38	
	10	5 30	10 28	15 25	113	158.4	15 44	-17 35	
	17	5 50	10 37	15 23	117	178.9	16 20	-20 09	
	24	6 14	10 52	15 29	120	194.2	17 02	-22 23	
	31	6 38	11 10	15 40	122	204.9	17 47	-23 52	



ՏԱՐԻՈՒԹՅՈՒՆ	ԹԾՈՂՈՅԻՍԻ ՏԱՇՄԱԳՐՈՒԹՅՈՒՆ				ԱԲԵԼՎԱՐԴՈՒՄ ՀԱՅԱՍՏԱՆԻ ՏԵԽՆՈԼՈԳԻԿԱԿԱՆ ՀԱՆՐԱՊԵՏՈՒԹՅՈՒՆ ± A	ԲԱՆՈՋՈՒՄ ՅԱՅ-ՅԱՅ	ՀԵՋԱՅԻՆԻ ԸՆԿԱՑՄԱՐՈՒԹՅՈՒՆ 0 <sup>h</sup> -9 <sup>h</sup>	
	ԱԺՐԱՎՐԱՆ	ԿԱՐԱՎԱՐ- ՀԱՆՐԱՊԵՏՈՒԹՅՈՒՆ	ԲԱԿԱՎՈՒՄ	ԿՈՂՎՈՒՄ			ԿՈՂՎՈՒՄ α	ԿՈՂՎՈՒՄ δ
ՕԱԿԱՐԱԿԱՆ	1	10 04	15 18	20 32	107	112.3	22 02	-13 35
	8	9 52	15 18	20 44	103	104.6	22 29	-10 26
	15	9 38	15 16	20 54	99	96.8	22 55	-7 10
	22	9 22	15 11	20 01	94	89.1	23 18	-3 52
	29	9 04	15 05	21 06	90	81.4	23 39	-0 36
ՄԵՋՔՐՁԱԼՈՅ	5	8 43	14 55	21 08	86	73.9	23 58	2 32
	12	8 20	14 43	21 05	82	66.7	0 13	5 25
	19	7 54	14 26	20 57	79	59.8	0 24	7 55
	26	7 25	14 03	20 41	76	53.6	0 29	9 51
ԹԱՐԾՈՅ	5	6 52	13 33	20 15	75	48.3	0 27	10 59
	12	6 15	12 57	19 38	75	44.4	0 19	11 03
	19	5 38	12 16	18 52	76	42.3	0 05	9 55
	26	5 04	11 33	18 01	79	42.2	23 50	7 48
ԱՎԵՐՈՅՆՈ	2	4 33	10 54	17 14	83	44.3	23 38	5 19
	9	4 08	10 21	16 33	85	48.2	23 33	3 07
	16	3 48	9 56	16 03	87	53.6	23 35	1 37
	23	3 31	9 37	15 42	88	60.1	23 43	0 56
	30	3 17	9 23	15 29	88	67.3	23 57	1 00
ԲԱԾՈՅ	7	3 04	9 13	15 22	87	75.1	0 14	1 43
	14	2 53	9 06	15 19	85	83.1	0 34	2 57
	21	2 42	9 01	15 20	83	91.4	0 57	4 34
	28	2 32	8 58	15 24	81	99.7	1 21	6 29
ՕՋԻՈՅՆ	4	2 22	8 56	15 30	78	108.1	1 47	8 34
	11	2 13	8 55	15 38	75	116.6	2 14	10 44
	18	2 06	8 56	15 47	72	124.9	2 42	12 55
	25	1 59	8 58	15 57	69	133.2	3 11	15 01



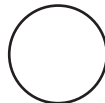
თარიღი	თბილისის სამუნდო დროით					ამოსებრი ზედა განცხა ნაცვლა	ამოსებრი ნაცვლა	დედამიწის დინამიკური დროით 0 <sup>h</sup> -ზე	
	ამოსებრი	ზედა განცხა ნაცვლა	ამოსებრი	ამოსებრი განცხა	ნივთი			ნივთი	ნივთი
ივლისი	2	1 54	9 01	16 07	66	141.3	3 42	16 58	
	9	1 51	9 05	16 19	64	149.2	4 13	18 41	
	16	1 50	9 10	16 30	62	157.0	4 46	20 06	
	23	1 51	9 16	16 41	60	164.6	5 20	21 10	
	30	1 55	9 23	16 50	60	172.0	5 54	21 49	
აგვისტო	6	2 02	9 30	16 58	59	179.1	6 29	22 00	
	13	2 11	9 38	17 05	60	185.9	7 05	21 43	
	20	2 22	9 46	17 09	61	192.5	7 40	20 56	
	27	2 35	9 53	17 11	63	198.7	8 15	19 41	
სექტემბერი	3	2 50	10 01	17 10	65	204.7	8 50	17 58	
	10	3 05	10 07	17 08	68	210.3	9 24	15 50	
	17	3 21	10 13	17 04	72	215.6	9 58	13 20	
	24	3 37	10 19	16 59	75	220.6	10 31	10 31	
ოქტომბერი	1	3 54	10 24	16 52	80	225.3	11 03	7 27	
	8	4 10	10 28	16 45	84	229.6	11 35	4 12	
	15	4 26	10 33	16 37	89	233.6	12 07	0 50	
	22	4 43	10 37	16 30	93	237.2	12 40	-2 35	
	29	5 00	10 42	16 22	98	240.5	13 12	-5 59	
ნოემბერი	5	5 17	10 47	16 15	102	243.5	13 44	-9 17	
	12	5 35	10 53	16 09	106	246.1	14 18	-12 25	
	19	5 52	10 59	16 05	110	248.4	14 52	-15 19	
	26	6 10	11 07	16 02	114	250.4	15 27	-17 54	
დეკემბერი	3	6 28	11 15	16 02	117	252.1	16 03	-20 05	
	10	6 45	11 25	16 04	119	253.4	16 40	-21 48	
	17	7 00	11 35	16 09	121	254.5	17 18	-23 00	
	24	7 14	11 46	16 17	122	255.3	17 56	-23 38	
	31	7 25	11 57	16 28	122	255.8	18 35	-23 40	



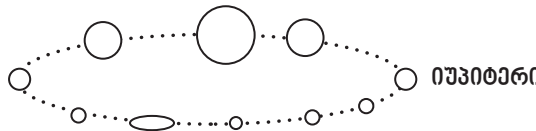
მარსი

2025

თარიღი	თბილისის საშუალო დროით			ამონეტი გეგმა მინაცია	ჩასების მიხედვა	დედამიწის დინამიკური დროით 0 <sup>h</sup> -ზე	
	ამონეტი	გეგმა მინაცია	ჩასების მიხედვა			ხოლოები α	ხოლოდი δ
	h m	h m	h m	°	ამონეტისა და ჩასების აზიმუტი ± A	h m	°
იანვარი	1 17 58	1 37	9 10	57	98.2	8 20	23 33
	8 17 17	0 59	8 36	56	96.4	8 10	24 19
	15 16 34	0 20	8 00	55	96.2	7 58	25 01
	22 15 52	23 35	7 23	54	97.6	7 46	25 35
	29 15 12	22 57	6 47	53	100.6	7 35	25 59
ოქტომბერი	5 14 34	22 21	6 12	53	105.0	7 26	26 11
	12 14 01	21 47	5 38	53	110.8	7 20	26 14
	19 13 30	21 16	5 06	53	117.7	7 16	26 09
	26 13 03	20 48	4 37	53	125.5	7 16	25 58
მარტი	5 12 39	20 23	4 10	54	133.9	7 18	25 41
	12 12 17	20 00	3 45	54	142.9	7 22	25 21
	19 11 58	19 39	3 22	55	152.3	7 28	24 56
	26 11 41	19 19	3 00	56	162.0	7 36	24 28
აპრილი	2 11 25	19 01	2 39	57	171.8	7 45	23 55
	9 11 11	18 44	2 19	57	181.7	7 56	23 18
	16 10 58	18 28	2 00	59	191.7	8 07	22 35
	23 10 46	18 13	1 41	60	201.5	8 19	21 48
	30 10 35	17 58	1 22	61	211.3	8 32	20 56
მაისი	7 10 25	17 44	1 04	62	221.0	8 45	19 59
	14 10 16	17 30	0 46	64	230.4	8 59	18 56
	21 10 07	17 16	0 27	65	239.7	9 13	17 48
	28 9 59	17 03	0 09	67	248.6	9 27	16 35
ივნისი	4 9 51	16 50	23 48	69	257.3	9 42	15 17
	11 9 44	16 37	23 30	71	265.7	9 57	13 55
	18 9 36	16 24	23 11	73	273.8	10 11	12 28
	25 9 30	16 12	22 53	75	281.6	10 26	10 57



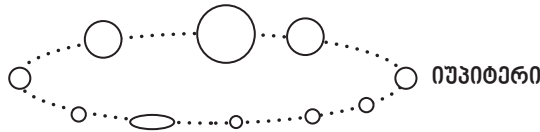
თარიღი	თბილისის საშუალო დროით				ასებულია დანაკვეთის აზიმუტი ± A	განალი გილიან გრ-ით	დედამიწის დინამიკური დროით 0 <sup>h</sup> -ზე	
	ამისკვა	ხელა კუნძულის გილი გრ-ით	ჩასკვა	ხ მ			ხ მ	ხ მ
ივლისი	2	9 23	15 59	22 35	77	289.0	10 41	9 22
	9	9 17	15 47	22 16	79	296.1	10 57	7 44
	16	9 11	15 35	21 58	82	302.9	11 12	6 03
	23	9 05	15 23	21 39	84	309.3	11 27	4 19
	30	8 59	15 10	21 21	86	315.3	11 43	2 33
აგვისტო	6	8 53	14 59	21 03	89	320.9	11 59	0 45
	13	8 48	14 47	20 45	91	326.2	12 15	-1 04
	20	8 43	14 36	20 27	94	331.1	12 31	-2 53
	27	8 39	14 24	20 09	96	335.6	12 47	-4 43
სექტემბერი	3	8 34	14 14	19 52	98	339.7	13 04	-6 33
	10	8 30	14 03	19 35	101	343.4	13 21	-8 21
	17	8 27	13 53	19 18	103	346.8	13 38	-10 08
	24	8 23	13 43	19 02	106	349.8	13 56	-11 52
ოქტომბერი	1	8 20	13 34	18 46	108	352.5	14 14	-13 33
	8	8 18	13 25	18 31	110	354.8	14 33	-15 10
	15	8 15	13 16	18 16	112	356.8	14 52	-16 42
	22	8 13	13 08	18 03	114	358.5	15 11	-18 08
	29	8 11	13 01	17 50	116	359.9	15 32	-19 27
ნოემბერი	5	8 09	12 54	17 38	118	361.0	15 52	-20 38
	12	8 07	12 47	17 27	119	361.8	16 13	-21 41
	19	8 05	12 42	17 17	120	362.3	16 35	-22 34
	26	8 03	12 36	17 09	121	362.6	16 57	-23 16
დეკემბერი	3	8 00	12 31	17 01	122	362.6	17 20	-23 48
	10	7 57	12 26	16 55	123	362.4	17 42	-24 07
	17	7 53	12 22	16 50	123	362.0	18 06	-24 13
	24	7 48	12 18	16 47	123	361.5	18 29	-24 07
	31	7 42	12 13	16 44	122	360.8	18 52	-23 47



07.01.07.010

2025

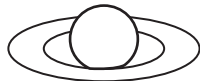
თარიღი	თბილისის საშუალო დროით			ამისელია და ჩატველის აზიტები ± A	მანძილი გზით	დედამიწის დინამიკური დროით 0°-ზე		
	ამოსფერი	ზედა გენერიკია	ნასფერი			ხილული α	ხილული δ	
	h m	h m	h m	°	h m	°	°	
იანვარი	1	14 34	22 00	5 30	60	625.9	4 47	21 46
	8	14 04	21 30	4 59	60	635.0	4 44	21 43
	15	13 35	21 00	4 29	60	645.9	4 42	21 40
	22	13 06	20 31	4 00	60	658.4	4 40	21 38
	29	12 37	20 02	3 31	60	672.3	4 39	21 38
ოქტომბერი	5	12 09	19 35	3 03	60	687.3	4 39	21 39
	12	11 42	19 08	2 36	60	703.1	4 39	21 41
	19	11 15	18 41	2 10	60	719.5	4 40	21 45
	26	10 49	18 15	1 45	60	736.3	4 42	21 49
გარები	5	10 24	17 50	1 20	59	753.3	4 45	21 55
	12	9 59	17 26	0 56	59	770.1	4 48	22 02
	19	9 34	17 02	0 32	59	786.7	4 51	22 09
	26	9 10	16 39	0 10	59	802.9	4 55	22 16
აპრილი	2	8 47	16 16	23 44	59	818.5	5 00	22 24
	9	8 23	15 53	23 22	58	833.3	5 05	22 32
	16	8 01	15 31	23 00	58	847.3	5 10	22 40
	23	7 38	15 09	22 39	58	860.2	5 16	22 47
	30	7 16	14 47	22 18	58	872.1	5 21	22 54
მაისი	7	6 54	14 26	21 57	58	882.8	5 28	23 00
	14	6 33	14 05	21 36	58	892.3	5 34	23 05
	21	6 11	13 44	21 16	58	900.5	5 41	23 10
	28	5 50	13 23	20 55	58	907.3	5 47	23 13
ივნისი	4	5 29	13 02	20 34	57	912.7	5 54	23 15
	11	5 09	12 41	20 14	57	916.7	6 01	23 16
	18	4 48	12 21	19 53	57	919.2	6 08	23 16
	25	4 27	12 00	19 33	57	920.3	6 15	23 15



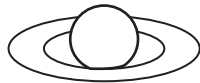
იუპიტერი

2025

თარიღი	თბილისის საშუალო დროით				ამოსკოს ამოსკოს და ჩანაცვლის ამომზღვის + A	მანილი მილიონ კმ-ზე	დედამიწის დინამიკური დროით 0°-ზე	
	ამოსკოს	ტენის მინისკო	ჩანაცვლა	ხასკვლა			ხ m	ხ m
ივლისი	2	4 07	11 40	19 12	58	919.9	6 22	23 13
	9	3 47	11 19	18 51	58	918.1	6 29	23 09
	16	3 26	10 58	18 30	58	914.8	6 36	23 05
	23	3 06	10 38	18 09	58	910.1	6 42	22 59
	30	2 45	10 17	17 47	58	904.0	6 49	22 52
აგვისტო	6	2 25	9 55	17 25	58	896.5	6 55	22 45
	13	2 04	9 34	17 03	58	887.8	7 02	22 37
	20	1 43	9 13	16 41	59	877.8	7 08	22 28
	27	1 22	8 51	16 19	59	866.7	7 14	22 19
სექტემბერი	3	1 01	8 29	15 56	59	854.5	7 19	22 10
	10	0 39	8 06	15 33	59	841.3	7 24	22 01
	17	0 17	7 43	15 09	59	827.2	7 29	21 52
	24	23 51	7 20	14 45	60	812.5	7 33	21 43
ოქტომბერი	1	23 28	6 57	14 21	60	797.1	7 37	21 35
	8	23 04	6 32	13 56	60	781.2	7 40	21 28
	15	22 40	6 08	13 31	60	765.2	7 43	21 22
	22	22 15	5 42	13 06	60	749.0	7 46	21 17
	29	21 49	5 17	12 40	60	733.0	7 47	21 14
ნოემბერი	5	21 23	4 50	12 13	60	717.3	7 48	21 12
	12	20 56	4 23	11 46	60	702.3	7 49	21 12
	19	20 27	3 55	11 18	60	688.0	7 48	21 14
	26	19 59	3 26	10 50	60	674.9	7 47	21 18
დეკემბერი	3	19 29	2 57	10 21	60	663.1	7 45	21 24
	10	18 58	2 27	9 51	60	653.0	7 43	21 31
	17	18 27	1 57	9 22	60	644.6	7 40	21 39
	24	17 56	1 26	8 51	60	638.3	7 37	21 48
	31	17 24	0 55	8 21	59	634.1	7 33	21 57



თარიღი	თბილისის საშუალო დროით				ამოსფერის განვითარებული სამიზნები ± A	განმიღების მიზანი მდგრადი	დედამიწის დინამიკური დროით 0 <sup>h</sup> -ზე	
	ამოსფერის ტემპერატურა მდგრადი	ტემპერატურა მდგრადი	ტემპერატურა მდგრადი	სისტემის მიზანი			ხ m	° °
იანვარი	1	10 47	16 21	21 55	100	1499.4	23 07	-7 51
	8	10 21	15 56	21 30	100	1514.5	23 09	-7 37
	15	9 55	15 30	21 06	99	1528.6	23 11	-7 22
	22	9 29	15 05	20 42	99	1541.4	23 14	-7 05
	29	9 03	14 41	20 18	99	1552.8	23 16	-6 48
ოქტომბერი	5	8 37	14 16	19 54	98	1562.7	23 19	-6 30
	12	8 11	13 51	19 31	98	1570.9	23 22	-6 11
	19	7 45	13 27	19 08	97	1577.5	23 25	-5 51
	26	7 20	13 02	18 44	97	1582.2	23 28	-5 31
მარტი	5	6 54	12 38	18 21	96	1585.2	23 31	-5 11
	12	6 29	12 14	17 58	96	1586.2	23 34	-4 51
	19	6 03	11 49	17 35	95	1585.5	23 38	-4 30
	26	5 37	11 25	17 12	95	1582.8	23 41	-4 10
აპრილი	2	5 12	11 00	16 49	95	1578.4	23 44	-3 51
	9	4 46	10 36	16 25	94	1572.2	23 47	-3 32
	16	4 21	10 11	16 02	94	1564.4	23 50	-3 13
	23	3 55	9 47	15 38	93	1554.9	23 53	-2 56
	30	3 29	9 22	15 14	93	1543.9	23 56	-2 39
მაისი	7	3 03	8 57	14 50	93	1531.6	23 58	-2 24
	14	2 37	8 32	14 26	92	1518.1	0 01	-2 10
	21	2 11	8 06	14 01	92	1503.4	0 03	-1 57
	28	1 45	7 41	13 36	92	1487.9	0 05	-1 46
ივნისი	4	1 19	7 15	13 11	92	1471.6	0 07	-1 36
	11	0 52	6 49	12 46	91	1454.7	0 08	-1 28
	18	0 26	6 23	12 20	91	1437.4	0 09	-1 22
	25	23 55	5 56	11 53	91	1420.1	0 10	-1 17



თარიღი	თბილისის საშეადგო დროით				ამოსველის და ჩატვირტების ზომი	განხლითი მიღები	დედამიწის დინამიკური დროით 0 <sup>h</sup> -ზე	
	ამოსველი	ტექან. გულ- მინერას	ჩატვირტები	ხასების			ხოლოები $\alpha$	ხილული $\delta$
ოვლისი	2	23 28	5 29	11 27	91	1402.7	0 11	-1 15
	9	23 01	5 02	11 00	91	1385.7	0 11	-1 15
	16	22 33	4 35	10 32	91	1369.2	0 12	-1 16
	23	22 06	4 07	10 04	91	1353.4	0 11	-1 19
	30	21 38	3 39	9 36	91	1338.6	0 11	-1 25
აგვისტო	6	21 10	3 11	9 07	92	1325.1	0 10	-1 32
	13	20 42	2 42	8 38	92	1312.9	0 09	-1 41
	20	20 14	2 13	8 08	92	1302.4	0 08	-1 51
	27	19 45	1 44	7 39	92	1293.6	0 06	-2 02
სექტემბერი	3	19 17	1 15	7 09	92	1286.8	0 04	-2 14
	10	18 48	0 46	6 39	93	1282.1	0 02	-2 27
	17	18 20	0 16	6 08	93	1279.5	0 01	-2 40
	24	17 51	23 43	5 38	93	1279.2	23 59	-2 54
ოქტომბერი	1	17 22	23 13	5 08	94	1281.1	23 57	-3 07
	8	16 53	22 44	4 38	94	1285.2	23 55	-3 19
	15	16 25	22 14	4 08	94	1291.5	23 53	-3 30
	22	15 56	21 45	3 38	94	1289.8	23 51	-3 40
	29	15 28	21 16	3 09	95	1310.0	23 50	-3 48
ნოემბერი	5	14 60	20 48	2 39	95	1321.9	23 49	-3 54
	12	14 31	20 19	2 11	95	1335.3	23 48	-3 59
	19	14 03	19 51	1 42	95	1350.0	23 47	-4 01
	26	13 36	19 23	1 15	95	1365.7	23 47	-4 02
დეკემბერი	3	13 08	18 56	0 47	95	1382.3	23 47	-4 00
	10	12 41	18 29	0 20	95	1399.3	23 47	-3 56
	17	12 13	18 02	23 50	95	1416.6	23 48	-3 50
	24	11 46	17 35	23 24	94	1434.0	23 49	-3 42
	31	11 20	17 09	22 58	94	1451.1	23 50	-3 33

**სამოქალაქო და ასტრონომიული ბინა**  
**და დღის ხანგრძლივობა 2025**

თარიღი	დილის ბინდი ადგილ. საშუალო დროით		საღამოს ბინდი ადგილ. საშუალო დროით		სატრონოშ. ბინდის დასაწყისი	სატრო. ბინდის დასაწყისი	სატრო. ბინდის დასასრული	სატრონოშ. ბინდის დასასრული	მ	მ	მ	მ	მ	ღლის სანერგზლივობა	
	ასტრონომიული დღესასწაულის დასაწყისი	სატრო. ბინდის დასაწყისი	სატრო. ბინდის დასასრული	სატრო. ბინდის დასასრული											
იანვარი	1	5 46	6 55	17 11	18 20	100	31	9 13							
	5	46	55	15	24	100	31	17							
	10	46	55	20	28	100	31	26							
	15	45	53	26	34	99	30	29							
	20	44	51	31	38	98	30	40							
	25	41	48	37	44	97	30	48							
თებერვალი	1	5 36	6 42	17 46	18 52	96	30	10 03							
	5	33	39	50	56	95	29	12							
	10	27	32	56	19 01	94	29	27							
	15	22	27	18 02	07	94	29	37							
	20	16	21	07	12	93	29	50							
	25	09	14	13	18	93	29	11 03							
მარტი	1	5 04	6 08	18 18	19 22	93	28	11 14							
	5	4 57	01	23	27	93	28	26							
	10	48	5 53	29	34	93	28	43							
	15	39	44	34	39	93	28	53							
	20	33	36	40	46	94	28	12 08							
	25	20	27	46	52	95	28	22							
აპრილი	1	4 08	5 16	18 53	20 01	96	28	12 41							
	5	3 58	06	19 00	08	97	28	53							
	10	49	4 59	04	14	99	28	13 06							
	15	40	51	09	20	100	28	21							
	20	30	43	16	29	103	29	33							
	25	21	36	21	36	105	29	46							
მაისი	1	3 09	4 27	19 27	20 45	108	30	14 01							
	5	02	21	33	52	111	31	11							
	10	2 53	15	39	21 01	114	31	21							
	15	46	10	44	08	116	32	31							
	20	36	03	51	18	120	32	41							
	25	30	3 59	55	24	122	33	50							
ივნისი	1	2 22	3 54	20 02	21 34	124	34	15 00							
	5	18	52	05	39	128	34	05							
	10	13	49	08	44	130	34	08							
	15	14	51	10	47	130	34	11							
	20	14	51	13	50	132	34	13							
	25	14	51	15	52	132	34	12							

**სამოქალაქო და ასტრონომიული პინდი**

**და დღის ხანგრძლივობა 2025**

თარიღი	დილის ბინდი ადგილ. საშუალო დროით		საღამოს ბინდი ადგილ. საშუალო დროით		ასტრონომ. ბინდის დასაწყისი	ასტრონომ. ბინდის სამდებულო	ასტრონომ. ბინდის სამდებულო (დილის საღამო)	ასტრონომ. ბინდის სამდებულო (დილის საღამო)	ასტრონომ. ბინდის სამდებულო (დილის საღამო)	ასტრონომ. ბინდის სამდებულო (დილის საღამო)
	ასტრონომ. ბინდის და	სამდებულო	ასტრონომ. ბინდის დასაწყისი	სამდებულო						
ივლისი	1	h 2 19	h 3 55	h 20 12	h 21 48	m 132	m 34	m 15	m 09	m 15 09
	5	21	56	12	47	128	34		07	07
	10	29	4 01	10	42	127	34		01	01
	15	34	05	06	37	124	33		14 55	14 55
	20	42	09	03	30	121	33		47	47
	25	49	15	19 57	23	118	32		38	38
აგვისტო	1	3 01	4 22	19 50	21 11	113	32		14 24	14 24
	5	07	27	44	04	111	32		16	16
	10	15	32	38	20 55	108	32		05	05
	15	22	38	30	46	105	30		13 53	13 53
	20	30	44	23	36	104	30		40	40
	25	36	49	14	27	102	29		27	27
სექტემბერი	1	3 46	4 56	19 03	20 13	99	29		13 09	13 09
	5	51	5 01	18 56	06	99	29		12 58	12 58
	10	58	06	47	19 55	96	29		45	45
	15	4 05	12	38	45	95	28		30	30
	20	11	17	29	35	94	28		16	16
	25	17	22	21	26	94	28		03	03
ოქტომბერი	1	4 24	5 29	18 10	19 15	94	28		11 45	11 45
	5	28	33	03	08	92	28		34	34
	10	34	39	17 56	00	92	28		20	20
	15	39	44	47	18 52	92	28		07	07
	20	45	50	40	45	92	28		10 53	10 53
	25	50	55	32	37	93	28		41	41
ნოემბერი	1	4 58	6 03	17 24	18 29	94	28		10 23	10 23
	5	5 01	07	20	26	95	29		14	14
	10	06	12	15	21	96	30		02	02
	15	12	19	10	17	96	30		9 51	9 51
	20	17	24	07	14	97	30		42	42
	25	23	30	04	11	97	31		32	32
დეკემბერი	1	5 28	6 36	17 02	18 10	98	31		9 24	9 24
	5	31	41	01	10	99	31		19	19
	10	35	44	02	11	100	32		14	14
	15	40	49	02	11	100	32		10	10
	20	42	51	04	13	100	32		10	10
	25	44	53	07	16	101	32		09	09
დეკემბერი	30	5 46	6 55	17 11	18 20	101	32		9 12	9 12

## მზის დაპნეულება 2025 წელს.

2025 წელს დედამიწაზე მოხდება მზის ორი დაბნელება – 29 მარტსა და 21-22 სექტემბერს. ორივე ნაწილობრივია და საქართველოს ტერიტორიიდან არცერთი მათგანი არ გამოჩნდება.

29 მარტის მზის ნაწილობრივი დაბნელება ძირითადად მოიცავს: აფრიკის კონტინენტის ჩრდილო-დასავლეთ (მათ შორის ალჟირის) ტერიტორიებს, ევროპის კონტინენტის ჩრდილოეთ და დასავლეთ ნაწილებს (პირენეებს და სკანდინავიის ნახევარკუნძულების ჩათვლით), კ. გრენლანდიას და კანადის უკიდურეს აღმოსავლეთ სანაპიროს, აგრეთვე ატლანტის ოკეანის ჩრდილოეთ აკვატორიას და ნორვეგიის ზღვას.

ამ დაბნელების ცენტრალური ზოლი გადის კ. გრენლანდიის მახლობლად მისგან დასავლეთით, და იქვეა დაბნელების უდიდესი ფაზის (0,94) ადგილიც.

29 მარტის მზის ნაწილობრივი დაბნელების დასაწყისი დედამიწაზე იქნება თბილისის დეკრეტული დროით 12 სთ 52 წთ-ზე, დაბნელების შუა მომენტი – 14 სთ 48 წთ-სა და დაბნელების დასასრული დედამიწაზე – 16 სთ 44 წთ-ზე.

21-22 სექტემბრის მზის ნაწილობრივი დაბნელება მოიცავს წყნარი ოკეანის სამხრეთ-დასავლეთ აკვატორიას, ამერიკის კონტინენტის უკიდურესი სამხრეთი წერტილის მახლობლობიდან აკვატრალიამდე, აგრეთვე ანტარქტიდის კონტინენტის ჩრდილოეთ ნაწილსა და კუნძულ ახალ ზელანდიას.

ამ დაბნელების ცენტრალური ზოლი დედამიწის სამხრეთი პოლუსისა და კ. ახალი ზელანდიის მახლობლობაში გადის და ამ ორ პუნქტს შორის შუა წერტილის მახლობლადაა დაბნელების მაქსიმალური ფაზის (0,86) მოხდენის ადგილიც.

21-22 სექტემბრის მზის ნაწილობრივი დაბნელების დასაწყისი დედამიწაზე იქნება თბილისის დეკრეტული დროით 21 სთ 31 წთ-ზე, დაბნელების შუა მომენტი – 23 სთ 43 წთ-სა და დაბნელების დასასრული დედამიწაზე – 22 სექტემბრის 01 სთ 54 წთ-ზე.

## მთვარის დაბნელება 2025 წელს.

2025 წელს დედამიწაზე მოხდება მთვარის ორი დაბნელება: 14 მარტსა და 7 სექტემბერს. ორივე მათგანი სრული იქნება. საქართველოს ტერიტორიიდან გამოჩნდება მხოლოდ მთვარის 7 სექტემბრის დაბნელება.

14 მარტის მთვარის დაბნელების ნაწილობრივი ფაზის დასაწყისისა და დასასრულის მომენტებია შესაბამისად, თბილისის დეკემბერის დროით 9 სთ 10 წთ და 12 სთ 47 წთ, დაბნელების სრული ფაზის დასაწყისისა და დასასრულის მომენტები – 10 სთ 26 წთ და 11 სთ 31 წთ, ხოლო დაბნელების შუა მომენტი – 10 სთ 58 წთ.

2025 წლის 14 მარტს თბილისში მთვარე ჩავა 6 სთ 17 წთ-ზე და ამოვა 18 სთ 23 წთ-ზე, მაშასადამე მთვარის დაბნელება დაიწყება საქართველოში ამ დღეს მთვარის ჩასვლიდან დაახლოებით 3 სთ-ით გვიან და დამთავრდება მთვარის ამოსვლამდე 5,5 სთ-ით ადრე. მაშასადამე საქართველოს ტერიტორიიდან 14 მარტის მთვარის დაბნელების არცერთი ფაზა არ იქნება ხილვადი, ამ დაბნელებას დაინახავენ 22-ე და მის მახლობელ, უფრო მცირეობრივიან სასაათო ზოლთა მცხოვრებინი.

რაც შეეხება 7 სექტემბრის მთვარის დაბნელებას, მისი ნაწილობრივი ფაზის დასაწყისისა და დასასრულის მომენტებია, შესაბამისად, 20 სთ 27 წთ და 23 სთ 55 წთ, დაბნელების სრული ფაზის დასაწყისისა და დასასრულის მომენტები კი, შესაბამისადვე, 21 სთ 30 წთ და 22 სთ 52 წთ. ამ დღეს თბილისში მთვარე ამოვა 18 სთ 18 წთ-ზე, ხოლო ჩავა მომდევნო დღის (8 სექტემბრის) 6 სთ 03 წთ-ზე. მაშასადამე, 7 სექტემბრის მთვარის დაბნელება დაიწყება საქართველოში მთვარის ამოსვლიდან დაახლოებით 2 სთ-ის მერე, ხოლო დასრულდება მთვარის ჩასვლამდე თითქმის 6 სთ-ით ადრე. ეს ნიშნავს, რომ საქართველოს ტერიტორიიდან 7 სექტემბრის მთვარის დაბნელების ყველა ფაზა ხილვადი იქნება. ხილვადი იქნება იგი საქართველოსთან როგორც აღმოსავლეთიდან ისე დასავლეთიდან შედარებით ახლომდებარე საათიერ ზოლთა მცხოვრებლებისთვისაც.

**შესანიშვნაზო მეტეორული ნაკაღები**

2025

№	ნაკადის სახელწოდება	ხილვადობის დრო	მაქსიმუმის დღე	რადიანტის გევარულული კოორდი- ნატები		უახლოესი კატეგო- რიანი განვითარების გარემოები	მეტეორიზი- ზოდების რაოდენობი
				α	δ		
1	პადრანტიდები	1.1-5.1	3.I	230	+50	ι გველეშაბისა	120
2	აურიგიდები	8-12.II	9.II	75	+42	η მეტეორისა	12
3	ლირიდები	18-25.IV	21.IV	270	+33	α ქნაისა	15
4	γ - აპვარიდები	21.IV-12.V	4.V	338	-1	γ მერწყულისა	60
5	სკორპიონიდები	მაისი-ივნისი	23.VI	250	-27	α დრიანგალისა	16
6	δ - აპვარიდები	22.VII-23.VIII	28.VII	338	-12	σ მერწყულისა	12
7	β-პარიქორნიიდები	ივნისი	16.VII	310	-15	τ ოხის რქისა	10
8	კასიოპეიდები	17.VII-15.VIII	28.VII	14	-63	γ კასიოპეასი	18
9	სამხრ.პისციიდები	ივლ.-აგვის.	1.VIII	345	-30	α სამხრ.თვეგზისა	10
10	φ - პერსეიდები	1-14.VIII	-	31	+46	ϕ პერსევისა	15
11	პერსეიდები	17.VII-24.VIII	13.VIII	45	+57	h პერსევისა	140
12	κ - ციგნიდები	3-25.VIII	17.VIII	291	+53	ι გედისა	3
13	α - არიეტიდები	11-27.X	14.X	32	+20	η ვერძისა	11
14	ცეტიდები	12-24.X	20.X	45	+10	λ ვეზაპისა	10
15	ორიონიდები	2.X-7.XI	23.X	95	+16	ν ორიონისა	10
16	სამხრ. ტაურიდები	1.X-25.XI	4.XI	52	+13	f პუროსი	5
17	არიეტიდები	ნოემბერი	12.XI	50	+22	τ ვერძისა	11
18	ანდრომედიდები	15--27.XI	24.XI	24	+44	x ანდრომედები	-
19	ლეონიდები	14-20.XI	17.XI	152	+22	ζ ლომისა	ცვალ.
20	გემინიდები	25.XI-18.XII	17.XII	112	+33	α მარნბივისა	120
21	ურსიდები	7-26.XII	22.XII	217	+76	β პატ. დათვისა	10

## 3 ԱՐՏՎՅԱՎԼԱՑՄԱՆ ՏԱԺՄԱԼՈՐ ԹԱՐԵԲԱՐԵՐԸՆՈ

2025

№	Յարևմանագիր	Աստղի հայտնի անունը	Տարբերակային հայտնի անունը	Տարբերակային հայտնի անունը	Տարբերակային հայտնի անունը	Տարբերակային հայտնի անունը	α			δ			
							Տարբերակային հայտնի անունը						
1	α	Աճքառմյացես	α	And	Աճքառմյաց	0	m	h	m	s	°	'	"
2	β	Կատօպյած	β	Cas	Շագյո	2.3	0	10	32.3		+59	17	29
3	γ	Հյուստիսա	γ	Peg	Ալգյենօծօ	2.8	0	14	33.2		+15	19	31
4	α	Կատօպյած	α	Cas	Շշագար	2.2	0	41	57.1		+56	40	45
5	β	Հյովածիսա	β	Cet	Շշիվծ	2.0	0	44	51.9		-17	50	42
6	γ	Կատօպյած	γ	Cas		2.3 <sup>1</sup>	0	58	16.9		+60	51	05
7	β	Աճքառմյացես	β	And	Խորած	2.1	1	11	10.6		+35	45	18
8	δ	Կատօպյած	δ	Cas	Ռշեծած	2.7	1	27	31.0		+60	22	12
9	β	Հյուստիսա	β	Ari		2.6	1	56	02.5		+20	55	42
10	γ	Դեմքառմյացես	γ	And	Ալմայ	2.3	2	05	28.3		+42	27	00
11	α	Հյուստիսա	α	Ari	Ամալո	2.0	2	08	37.1		+23	34	58
12	α	Անդրա Ռատչուս	α	Umi	Առլարշլո	2.1	2	58	35.4		+89	31	17
13	α	Հյովածիսա	α	Cet	Բյեյարօ	2.5	3	03	35.8		+4	11	20
14	δ	Հյուստեցիսա	γ	Per		2.9	3	06	40.0		+53	36	20
15	β	Հյուստեցիսա	β	Per	Ալգոլո	2.8 <sup>2</sup>	3	09	49.6		+41	03	18
16	α	Հյուստեցիսա	α	Per	Խորդայ	1.8	3	26	09.0		+49	57	12
17	δ	Հյուստեցիսա	δ	Per		3.0	3	44	45.2		+47	50	56
18	η	Հյուրուս	η	Tau	Ալցուրի	2.9	3	49	00.9		+24	12	14
19	ζ	Հյուստեցիսա	ζ	Per		2.8	3	55	44.8		+31	57	11
20	ε	Հյուստեցիսա	ε	Per		2.9	3	59	33.2		+40	04	52
21	γ	Երօւանցիսա	γ	Eri		3.0	3	59	13.2		-13	26	16
22	α	Հյուրուս	α	Tau	Ալդյեարան	0.8	4	37	21.9		+16	33	32
23	$\pi^3$	Որօւնիսա	$\pi^3$	Ori		3.2	4	51	14.6		+7	00	14
24	ι	Մյջըլուսա	ι	Aur		2.7	4	58	39.1		+33	12	05
25	η	Մյջըլուսա	η	Aur		3.2	5	08	18.0		+41	16	12
26	β	Երօւանցիսա	β	Eri		2.8	5	09	07.5		-5	03	29
27	β	Որօւնիսա	β	Ori	Ռույլո	0.1	5	15	46.2		-8	10	24
28	α	Մյջըլուսա	α	Aur	Ճաճյլո	0.1	5	18	33.5		+46	01	09
29	η	Որօւնիսա	η	Ori		3.4	5	25	45.1		-2	22	33
30	γ	Որօւնիսա	γ	Ori	ՃյլաՅրոյիս	1.6	5	26	29.2		+6	22	15

<sup>1)</sup> Ըստ պատմական աստղագիր կամ աստղագիր անունից պահպան է հայտնի անունը:

<sup>2)</sup> Պատմական աստղագիր անունից պահպան է հայտնի անունը:

Nº	ვარსკვლავი	სტრენგ.	საქუთარი სახელი	ბერძნული გარემოების ზოდები	α 2025.5	δ 2025.5
31	β პუროსი	β	Tau	ნათი	1.6	5 27 54.4 +23 37 43
32	β პურდლისა	β	Lep		2.8	5 29 21.0 -20 44 17
33	δ ორიონისა	δ	Ori	მინტაბა	2.2	5 33 19.5 -0 17 06
34	α პურდლისა	α	Lep	არნები	2.6	5 33 50.1 -17 43 29
35	ι ორიონისა	ι	Ori		2.8	5 36 39.9 -5 53 45
36	ε ორიონისა	ε	Ori	ალნილამი	1.7	5 37 29.3 +1 11 52
37	ζ პუროსი	ζ	Tau		3.0	5 39 10.5 +21 09 24
38	ζ¹ ორიონისა	ζ¹	Ori	ალნიტაპი	2.0	5 42 02.0 -1 55 42
39	χ ორიონისა	χ	Ori	სააფი	2.1	5 48 56.8 -9 39 45
40	α ორიონისა	χ	Ori	ბერებულებები	0.6¹	5 56 31.9 + 7 24 25
41	β მექტლისა	β	Aur		1.9	6 01 23.9 +44 56 51
42	θ მექტლისა	θ	Aur		2.6	6 01 27.8 +37 12 45
43	ζ დიდი ქოფაკისა	ζ	CMa		3.0	6 21 17.4 -30 04 39
44	β დიდი ქოფაკისა	β	CMa	მირზამი	2.0	6 23 48.2 +17 57 12
45	μ მარჩბილისა	μ	Gem		2.9	7 24 29.4 +22 29 58
46	γ მარჩბილისა	γ	Cem	ალპენა	1.9	6 39 12.0 +16 22 41
47	ε მარჩბილისა	ε	Cem		3.0	6 45 30.3 +25 06 10
48	α დიდი ქოფაკისა	α	CMa	სირიუსი	-1.5	6 46 15.2 -16 45 05
49	ξ მარჩბილისა	ξ	Cem		3.4	6 46 44.1 +12 52 02
50	ε დიდი ქოფაკისა	ε	CMa	ალპერა	1.5	6 59 38.8 -29 00 27
51	σ² დიდი ქოფაკისა	σ²	CMa		3.0	7 04 05.2 -23 52 07
52	δ დიდი ქოფაკისა	δ	CMa		1.9	7 09 24.7 -26 26 09
53	η დიდი ქოფაკისა	η	CMa		2.4	7 25 06.9 -29 21 10
54	β პატარა ქოფაკისა	β	CMi		2.9	7 28 33.2 + 8 14 23
55	α პატარა ქოფაკისა	α	Gem	კასტორი	2.4²	7 36 12.9 +31 49 55
56	α პატარა ქოფაკისა	α	CMi	პარციონი	0.4	7 40 37.1 +5 09 42
57	β მარჩბილისა	β	Gem	პოლუქსი	1.1	7 46 53.3 +27 57 45
58	ρ პიროსი	ρ	Pup		2.8	8 08 39.0 -24 22 56
59	ζ პირასი	ζ	Hya		3.1	8 56 44.7 + 5 55 47
60	ι დიდი დათვისა	ι	UMa		3.1	9 00 57.0 +47 56 33
61	α ფოცხვრისა	α	Lin		3.1	9 22 35.1 +34 17 11
62	α პირასი	α	Hya	ალფარდი	2.0	9 28 49.2 -8 46 18
63	θ დიდი დათვისა	θ	UMa		3.2	9 34 53.6 + 51 33 34
64	ε ლომისა	ε	Leo	ალგენები	3.0	9 47 17.8 +23 39 14
65	α ლომისა	α	Leo	რეპული	1.4	10 09 43.9 +11 50 23
66	γ¹ ლომისა	γ¹	Leo	ალგიბა	2.6	10 21 30.0 +19 42 51
67	μ დიდი დათვისა	μ	UMa		3.0	10 23 51.6 +41 22 19
68	ν პირასი	ν	Hya		3.1	10 50 54.0 -16 19 42
69	β დიდი დათვისა	β	UMa	მერაკი	2.4	11 03 22.3 +56 14 52
70	α დიდი დათვისა	α	UMa	ღუბჰე	1.8	11 05 18.0 +61 36 33

¹) ცვალებ. ვარსკვლ.

0.4 -1.3.

²) 1.95 - 2.85.

Nº	ვარსკვლავი	ფაზი	საბუთარი სახელი	საბუთარი სახელი	α 2025.5	δ 2025.5
71	φ დიდი დათვისა	φ UMa	ზომბა	m	11 11 06.5	+44 21 24
72	δ ლომისა	δ Leo	ზომბა	h m s	11 15 28.1	+20 22 55
73	θ ლომისა	θ Leo	ზორბი	3.3	11 15 33.4	+15 17 16
74	β ლომისა	β Leo	დენებოლა	2.1	11 50 22.6	+14 26 00
75	γ დიდი დათვისა	γ UMa	გაქდა	2.4	11 55 08.9	+53 34 11
76	ε ყორნისა	ε Crv		3.0	12 11 26.5	-22 45 41
77	δ დიდი დათვისა	δ UMa	მეგრები	3.3	12 16 42.1	+56 53 27
78	γ ყორნისა	γ Crv		2.6	12 17 07.4	-17 41 01
79	β ყორნისა	β Crv		2.6	12 35 44.9	-23 32 18
80	ε დიდი დათვისა	ε UMa	ალიოთი	1.8	12 55 08.0	+55 49 05
81	α მწევრებისა	α CVn		2.9	12 57 13.1	+38 11 02
82	ε ქალწულისა	ε Vir	ვინდემიატრიქსი	2.8	13 03 27.1	+10 49 29
83	γ ჰიდრასი	γ Hya		3.0	13 20 19.4	-23 18 22
84	ζ დიდი დათვისა	ζ UMa	მიცარი	2.3	13 24 56.7	+54 47 27
85	α ქალწულისა	α Vir	სპირ	1.0	13 26 33.2	-11 17 45
86	ζ ქალწულისა	ζ Vir		3.4	13 36 00 6	-0 43 24
87	η დიდი დათვისა	η UMa	ბენეტნაში	1.9	13 48 33. 6	+49 11.09
88	η მენაბირისა	η Boo		2.7	13 55 55.0	+18 16 13
89	α მენაბირისა	α Boo	არქეპრი	0.0	14 16 48 5	+19 02 52
90	γ მენაბირისა	γ Boo		3.0	14 33 05.9	+38 11 42
91	ε მენაბირისა	ε Boo		2.7	14 46 05.5	+26 58 05
92	α² სასწორისა	α² Lib		2.8	14 52 08.2	-16 08 53
93	β პატარა დათვისა	β Umi	ქოხაბი	2.1	14 50 48.4	+74 02 57
94	β სასწორისა	β Lib		2.6	15 18 22.0	-9 28 30
95	γ პატარა დათვისა	γ UMi		3.0	15 20 41.5	+71 44 31
96	α ჩრდილგვინისა	α CrB	გემა	2.2	15 35 45.0	+26 37 47
97	α გველისა	α Ser	უნეკი	2.6	15 45 32.6	+6 20 52
98	π ღრიანქლისა	π Sco		2.9	15 00 22.9	-26 11 06
99	δ ღრიანქლისა	δ Sco		2.3	16 01 51.8	-22 41 33
100	β ღრიანქლისა	β Sco		2.6	16 06 55.5	-19 52 35
101	δ გველისმჭერისა	δ Oph		2.7	16 15 39.8	-3 45 29
102	ε გველისმჭერისა	ε Oph		3.2	16 19 40.9	-4 45 23
103	σ ღრიანქლისა	σ Sco		2.9	16 22 43.1	-25 38 58
104	η გველეშაბისა	η Dra		2.7	16 24 19.9	+61 27 27
105	α ღრიანქლისა	α Sco	ანტარესი	1.2¹	16 30 58.8	-26 29 19
106	β პერკულებისა	β Her	რებილიკები	2.8	16 31 19.5	+21 25 58
107	τ ღრიანქლისა	τ Sco		2.8	16 37 27.3	-28 15 56
108	ζ გველისმჭერისა	ζ Oph		2.6	16 39 33.7	-10 37 00
109	ζ პერკულებისა	ζ Her		2.8	16 42 15.9	+31 33 38
110	χ გველისმჭერისა	χ Oph		3.2	16 58 51.5	+9 20 23

1) ცვალება. ვარსკვლ. 0.9 - 1.8

Nº	ვარსებელაგი	ვარსებელაგი	საკუთარი სახელი	ვარსებელაგი	ვარსებელაგი	α 2025.5	δ 2025.5
111	ζ გველეშაპისა	ζ Dra		m	h m s	° ' "	
112	η გველიშმეტერისა	η Oph		3.2	17 08 52.3	+65 41 11	
113	δ ჰერკულესისა	δ Her		2.6	17 11 49.4	-15 45 11	
114	π ჰერკულესისა	π Her		3.2	17 16 05.7	+24 48 39	
115	θ გველიშმეტერისა	θ Oph		3.4	17 15 56.4	+36 46 51	
116	β გველეშაპისა	β Dra		3.4	17 23 34.9	-25 01 15	
117	α გველიშმეტერისა	α Oph	რას-ალ-ჰაგე	2.1	17 36 07.5	+12 32 45	
118	β გველიშმეტერისა	β Oph		2.9	17 44 44.9	+ 4 33 37	
119	γ გველეშაპისა	γ Dra	ვტამინი	2.4	17 57 12.1	+51 29 20	
120	δ მშვიდოვნებისა	δ Sgr		2.8	18 22 36.5	-29 48 50	
121	η გველისა	η Ser		3.4	18 22 44.6	-2 53 30	
122	λ მშვიდოვნებისა	λ Sgr		2.9	18 29 32.6	-25 24 26	
123	α ქნარისა	α Lyr	ვეგა	0.1	18 37 47.3	+38 48 19	
124	σ მშვიდოვნებისა	σ Sgr		2.1	18 56 50.2	-26 15 41	
125	γ ქნარისა	γ Lyr		3.3	18 59 52.7	+32 43 30	
126	ζ მშვიდოვნებისა	ζ Sgr		2.7	19 04 13.6	-29 50.42	
127	ζ ორწივისა	ζ Aql		3.0	19 06 36.0	+13 54 22	
128	π მშვიდოვნებისა	π Sgr		3.0	19 11 17.6	-20 56 54	
129	δ გველეშაპისა	δ Dra		3.2	19 12 33.3	+67 42 14	
130	δ ორწივისა	δ Aql		3.4	19 26 46.4	+3 09 51	
131	β გედისა	β Cyg	ალბირეთ	3.2	19 31 44.5	+28 00 59	
132	δ გედისა	δ Cyg		3.0	19 45 47.0	+45 11 40	
133	γ ორწივისა	γ Aql		2.8	19 47 29.6	+10 40 37	
134	α ორწივისა	α Aql	ალბარით	0.9	19 52 00.9	+8 56 21	
135	θ ორწივისა	θ Aql		3.4	19 12 37.3	-0 44 37	
136	γ გედისა	γ Cyg		2.3	20 23 09.8	+40 20 30	
137	α გედისა	α Cyg	დენები	1.3	20 42 16.9	+45 22 21	
138	ε გედისა	ε Cyg		2.6	20 47 13.9	+34 04 10	
139	ζ გედისა	ζ Cyg		3.4	21 14 02.5	+30 20 00	
140	α ცეცვებისა	α Cep	ალდერამინი	2.6	21 19 10.5	+62 41 30	
141	β ცეცვებისა	β Cep		3.3	21 29 00.0	+70 40 27	
142	β მერცეულისა	β Aqr		3.7	21 32 55.2	-5 27 28	
143	ε ჰერასისა	ε Peg	ენიფი	2.5	21 45 25.1	+9 59 44	
144	δ თხის რქისა	δ Cap		3.0	21 48 26.6	-16 00 53	
145	α მერცეულისა	α Aqr	სადალმერი	3.2	22 07 06.1	-0 11 40	
146	η ჰეგასისა	η Peg		3.1	22 44 11.5	+30 21 21	
147	α სამხრ. თევზისა	α PsA	ფომალასური	1.3	22 59 03.2	-29 29 40	
148	β ჰეგასისა	β Peg	შეაბი	2.6 <sup>1</sup>	23 05 00.4	+28 13 22	
149	α ჰეგასისა	α Peg	მარტბი	2.6	23 06 02.2	+15 20 23	
150	γ ცეცვებისა	γ Cep		3.4	23 40 24.6	+77 46 27	

1) ცვალები. ვარსებვლ. 2.1 - 3.0

## ცვალებადი ვარსკვლავები

გარსებ- ლაგი	$\alpha$ 2025.5	$\delta$ 2025.5	სიგაშეაშის ცვალებადობის ამჰლიტუდა	ცვალებადობის ეფექტურიდები
-----------------	--------------------	--------------------	---	------------------------------

### ცვალებადი

	h m s	° ′ ″	m m	d d
RT Aur	06 30 12.4	+30 28 30	5.00 – 5.82	2442361.115 + 3.728115 * E
ζ Gem	07 05 37.2	+20 31 50	3.62 – 4.18	2443805.927 + 10.15073 * E
η Aql	19 53 46.3	+01 04 22	3.48 – 4.39	2436084.656 + 7.17664 * E
S Sge	19 57 10.8	+16 42 14	5.24 – 6.04	2442678.792 + 8.382086 * E
T Vul	20 52 33.2	+28 20 51	5.41 – 6.09	2441705.121 + 4.435462 * E
δ Cep	22 30 07.4	+58 32 47	3.48 – 4.37	2436075.445 + 5.366341 * E

### ბრძელვერიონდიანი ცვალებადი ვარსკვლავები

	h m s	° ′ ″	m m	d d
ο Cet*	02 20 38.2	-02 51 41	2.0 – 10.1	2444839 + 331.96 * E
R Leo*	09 48 55.7	+11 18 35	4.4 – 11.3	2444164 + 309.95 * E
R Hya*	13 31 06.9	-23 24 45	3.5 – 10.9	2443596 + 388.87 * E
χ Cyg	19 51 32.8	+32 58 49	3.3 – 14.2	2442140 + 408.05 * E
T Cep*	21 09 51.6	+68 35 43	5.2 – 11.3	2444177 + 388.14 * E
R Cas*	23 59 43.2	+51 31 51	4.7 – 13.5	2444463 + 430.46 * E

### ბენდებადი – ცვალებადი ვარსკვლავები

	h m s	° ′ ″	m m	d d
β Per	03 09 50.3	+41 03 07	2.12 – 3.39	2445641.5135 + 2.8673043 * E
AR Aur	05 19 59.8	+33 47 33	6.15 – 6.82	2438402.1832 + 4.134695 * E
WW Aur	06 34 07.1	+32 26 04	5.70 – 6.54	2432945.53930 + 2.52501922*E
U Oph	17 17 49.4	-01 11 03	5.84 – 6.56	2444416.3864 + 1.67734617 *E
β Lyr	18 51 01.3	+33 23 38	3.25 – 4.36	2408247.950 + 12.913834 * E

მონაცემები ბრძელვერიონდიან ცვალებად ვარსკვლავებზე  
დაკპირვებისა 0130ს

გარსებ-ლაგი	ცვალებადობის პერიოდი	სიგაშეაშის მაქსიმუმი (m)	მაქსიმუმის მომენტის დასაწყისი 2025 წელს
ვეშაპის O	332 ღლე-ღამე	2.0	5 აპრილი
ლომის R	310 „	4.4	12 აგვისტო
ჰიდრას R	389 „	3.5	28 იანვარი
გედის χ	408 „	3.3	20 აგვისტო
ცეცეცხის T	388 „	5.2	8 ოქტომბერი
კასიოპეას R	430 „	4.7	22 მაისი

გრძელპერიოდიან ცვალებად ვარსკვლავებზე დაკვირვება იწყება რამდენიმე დღით ადრე და გრძელდება რამდენიმე დღე მინიმუმის მომენტის შემდეგ. დაკვირვების დაწყებისა და დამთავრების მომენტები დასაშვებია 10-15 წუთის ცდომილებით.

\* უკანასკნელ ცვალებად ვარსკვლავთა პატაროვის მიხედვით გრძელპერიოდიან ცვალებადი ვარსკვლავები: ο Cet, R Leo, R Hya, T Cep, R Cas მაეუთვნებანა ცვალებადთა Mira Cet ტიპს, ხოლო χ Cyg ცვალებადი – S ტიპს.

## მონაცემები გრძელებაზე-ცვალებაზე გარსპელავის პერიოდის მარკაში

β Per ბნელებადი-ცვალებადი ვარსკვლავის კოორდინატები 2025.5 წლის (შეა მომენტისათვის) არის  $\alpha=03^{\text{h}}09^{\text{m}}50^{\text{s}}.3, \delta=+41^{\circ}03'07''$ . სიკაშაშე ცვალებადობს  $2.^{\text{m}}12$  ვარსკვლავიერი სიღიღიღან (მაქსიმუმი)  $3.^{\text{m}}39$  ვარსკვლავიერ სიღიღიღმდე (მინიმუმი) ფარგლებში. ცვალებადობის პერიოდია (სიკაშაშის ორ მთავარ, მომდევნო მინიმუმს შორის დროის ხანგრძლივობა) 2 დღე-ღამე, 20 საათი, 48 წუთი და 55.1 წამი.

სიკაშაშის მაქსიმუმიდან ვარსკვლავი 4 საათსა და 48 წუთში აღწევს სიკაშაშის მინიმუმს. სასურველია ამ ცვალებად ვარსკვლავზე დაკვირვება დაიწყოს მინიმუმის მომენტამდე  $4^{\text{h}}48^{\text{m}}$ -ით აღრე და გაგრძელდეს ამდენივე დროით, მინიმუმის შემდეგ. სიკაშაშის სხვა მომენტებისათვის საჭიროა პერიოდულად დაგაკვირდეთ ამ ვარსკვლავს, სრული ცვალებადობის შესასწავლად.

β Per-ის სიკაშაშის ცვალებადობის შენიშვნისა და შესწავლისათვის საჭიროა ცვალებად ვარსკვლავთან ერთად დაგაკვირდეთ შესადარებლად, მუდმივი სიკაშაშის შემდეგ ვარსკვლავებს: პერსევსის  $\alpha$  (ვარსკვლავიერი სიღიღიღით 1.72), ანდრომედეს  $\alpha(2.06)$ , პერსევსის  $\epsilon(2.89)$ , სამკუთხედის  $\alpha(3.42)$ .

დაკვირვებებისათვის ხელსაყრელი თვეებისათვის, სიკაშაშის მინიმუმის მომენტები მოცემულია ცხრილში. ამასთან, ცხრილის პირველ სვეტში მოყვანილია დასახლებული თვის შერჩეული დღეების თარიღები, მეორეში – ამ თარიღების შესაბამისი კვირის დღეები, მესამეში – მინიმუმის მომენტები თბილისის საშუალო დროით, მეოთხეში – სასურველი დაკვირვების დროის შუალედი, ასტრონომიული ბინდის გათვალისწინებით, მეხუთეში – ფაზა. მეხუთე სვეტში 0.0 აღნიშნავს მთავარ მინიმუმს, ხოლო 0.5 მეორად მინიმუმს.

ქვევით მოყვანილი გვაქეს დაკვირვების მომენტები გამოთვლილი საღამოს 17 საათიდან დიღის 6 საათამდე თბილისის საშუალო დროით.

თარი- ღი	კვირის დღე	მომენტი h m s	დაპვირვების შუალედი h m – h m	ფაზა
-------------	---------------	------------------	-------------------------------------	------

**o a ნ გ ა რ o**

3	პრ	17 10 53	18 21 – 21 59	0.5
5	გვ	03 35 20	22 47 – 05 46	0.0
8	ოთ	00 24 15	19 36 – 05 23	0.0
10	პრ	21 13 10	18 21 – 02 01	0.0
13	ორ	18 02 05	18 25 – 22 50	0.0
15	ოთ	04 26 33	23 14 – 05 45	0.5
18	შბ	01 15 28	20 27 – 05 43	0.5
20	ორ	22 04 23	18 38 – 02 52	0.5
23	ხო	18 53 18	18 42 – 23 41	0.5
28	სმ	02 06 41	21 19 – 05 39	0.0
30	ხო	22 55 36	18 51 – 03 44	0.0

**თ ე ბ ე რ გ ა ლ ი օ**

2	გვ	19 44 31	18 51 – 00 33	0.0
7	პრ	02 57 54	22 10 – 05 29	0.5
9	გვ	23 46 49	19 00 – 04 35	0.5
12	ოთ	20 35 44	19 05 – 01 24	0.5
15	შბ	17 24 39	19 07 – 22 13	0.5
17	ორ	03 49 07	23 01 – 05 18	0.0
20	ხო	00 38 02	19 50 – 05 17	0.0
22	შბ	21 26 57	19 17 – 02 15	0.0
25	სმ	18 15 52	19 18 – 23 04	0.0
27	ხო	04 40 19	23 52 – 05 07	0.5
29	ხო	01 07 43	20 20 – 05 03	0.5

**გ ა რ ტ ი**

2	გვ	01 29 14	20 41 – 05 05	0.5
4	სმ	22 18 10	19 26 – 03 06	0.5
7	პრ	19 07 05	19 29 – 23 55	0.5
12	ოთ	02 20 27	21 32 – 04 46	0.0
14	პრ	23 09 22	19 38 – 04 57	0.0
17	ორ	19 58 17	19 41 – 00 46	0.0
22	შბ	03 11 40	22 24 – 04 30	0.5
25	სმ	00 00 35	19 52 – 04 21	0.5
27	ხო	20 49 30	19 54 – 01 37	0.5
30	გვ	17 38 25	19 58 – 22 26	0.5

თა- რიღი	პვირის დღე	მომენტი h m s	დაკვირვების შუალედი h m – h m	ფაზა
-------------	---------------	------------------	-------------------------------------	------

### ო ქ ტ ო მ ბ ე რ ი

3	პრ	02 38 06	21 50 – 04 25	0.5
5	კვ	23 27 01	19 09 – 04 15	0.5
8	ოთ	20 15 57	19 07 – 01 04	0.5
11	შბ	17 04 52	18 58 – 21 53	0.5
13	ორ	03 29 19	22 41 – 04 37	0.0
16	ხო	00 18 14	19 30 – 04 41	0.0
18	შბ	21 07 09	18 49 – 02 55	0.0
21	სმ	17 56 04	18 43 – 22 44	0.0
23	ხო	04 20 32	23 32 – 04 48	0.5
26	კვ	01 09 27	21 21 – 04 52	0.5
28	სმ	21 58 22	18 33 – 02 46	0.5
31	პრ	18 47 17	18 30 – 23 35	0.5

### ნ ო ე მ ბ ე რ ი

5	ოთ	02 00 40	21 13 – 05 01	0.0
7	პრ	22 49 35	18 24 – 03 38	0.0
10	ორ	19 38 30	18 21 – 00 26	0.0
15	შბ	02 51 53	22 04 – 05 11	0.5
17	ორ	23 40 48	18 16 – 04 29	0.5
20	ხო	20 29 43	18 14 – 01 18	0.5
23	კვ	17 18 38	18 13 – 22 07	0.5
25	სმ	03 43 06	22 55 – 05 23	0.0
28	პრ	00 32 01	19 44 – 05 26	0.0
30	კვ	21 20 56	18 12 – 02 09	0.0

### დ ა პ ა მ ბ ე რ ი

3	ოთ	18 09 51	18 10 – 22 58	0.0
5	პრ	04 34 18	23 46 – 05 31	0.5
8	ორ	01 23 13	20 35 – 05 33	0.5
10	ოთ	22 12 09	18 11 – 03 00	0.5
13	შბ	19 01 04	18 11 – 23 49	0.5
18	ხო	02 14 26	21 26 – 05 41	0.0
20	შბ	23 03 21	18 13 – 03 51	0.0
23	სმ	19 52 16	18 16 – 00 40	0.0
28	კვ	03 05 39	22 18 – 05 45	0.5
30	სმ	23 54 34	19 07 – 04 43	0.5

## ზოგიერთი თანავარსკვლავედის მდებარეობა ცახე სხვადასხვა თვეში

ი ა ნ ვ ა რ ი. შუაღამეს დიდი დათვის თანავარსკვლავედი ცის ჩრდილო-აღმოსავლეთ მხარესაა, ჰორიზონტიდან დიდ სიმაღლეზე. სამხრეთით მერიდიანის ახლოს ორიონია, ზენიტში – მეეტლე.

თ ე ბ ე რ ვ ა ლ ი. შუაღამეს დიდი დათვის თანავარსკვლავედი დიდ სიმაღლეზეა. ცის სამხრეთ-აღმოსავლეთ ნაწილში ლომის თანავარს კვლავედია, სამხრეთ-დასავლეთში – ორიონი და კურო.

მ ა რ ტ ი. ჩრდილო-აღმოსავლეთ ცაზე შუაღამისას მოჩანს კაშკაშა ვეგა (ქნარის α) და დენები (გედის α). დიდი დათვი ზენიტს უახლოვდება, მერიდიანის ახლოს არის, სამხრეთით, ლომის კაშკაშა ვარსკვლავი რეგული.

აპრილი. შუაღამეს დიდი დათვი ზენიტშია. სამხრეთ-აღმოსავლე-თით მაღლა ასულია არქტური (მენახირის α).

მ ა ი ს ი. შუაღამეს სამხრეთით ქალბულის თანავარსკვლავედია; მის ზემოთ – არქტური, რომლის აღმოსავლეთით ჩრდილოეთის გვირგვინია. აღმოსავლეთით კიაფობენ სამკუთხედად დალაგებული დენები, ვეგა და ალტაირი (არჩივის α).

ი ვ ნ ი ს ი. შუაღამეს მერიდიანზე, სამხრეთით ჩრდილოეთის გვირგვინია. მის ქვემოთ – გველისმჭერია. დასავლეთით ჰორიზონტს უახლოვდება ლომი.

ი ვ ლ ი ს ი. მაღლა, სამხრეთით კიაფობენ „ზაფხულის სამკუთხე-დის“ ვარსკვლავები: დენები, ვეგა, ალტაირი. არქტური დასავლეთით ეშვება. დიდი დათვი ჩრდილო-დასავლეთითაა.

ა გ ვ ი ს ტ ო. ღამის ცას ამშვენებს ირმის ნახტომი, რომელიც გადაჭიმულია სამხრეთიდან ჩრდილოეთით, თითქმის ზენიტის გადავ-ვეთით. დიდი დათვი დასავლეთით ჰორიზონტის ახლოსაა.

ცის ჩრდილო-აღმოსავლეთ მხარეზე მაღლა ადის კაპელა (მეეტლის α).

ს ე ქ ტ ე მ ბ ე რ ი. ზენიტს უახლოვდება კასიოპეა. აღმოსავლე-თით ამოდის პლეადები (ხომლი). დიდი დათვი ჰორიზონტთან არის ჩრდილოეთის წერტილის ახლოს.

ო ქ ტ ო მ ბ ე რ ი. ქნარი, გედი და არჩივი დასავლეთით ეშვებიან. აღმოსავლეთით – კურო და მასში პლეადები საკმაოდ მაღლა არის ჰორიზონტიდან. კაპელა მაღლაა აღმოსავლეთის ცაზე. ღამის მეორე ნახევარში გამოჩნდება ორიონი.

ნ ო ე მ ბ ე რ ი. კასიოპეა ნაშეაღამევს დასავლეთისკენ ეშვება. კურო და ორიონი სამხრეთ-აღმოსავლეთ ცაზეა. კაპელა ზენიტს უახ-

ლოვდება. სამხრეთ-აღმოსავლეთით სირიუსიც მოჩანს. დიდი დათვი ჩრდილო-აღმოსავლეთ ცაზეა.

დ ე ვ ე მ ბ ე რ ი. შუალამეზე ქნარი პორიზონტის ახლოს არის, მის ჩრდილო-დასავლეთ ნაწილთან. აღმოსავლეთით ამოდის ლომი. ორიონის, მეეტლის, მარჩბივის და სხვა თანავარსკვლავედების ვაშკა-შა ვარსკვლავების მთელი არე მაღლაა პორიზონტიდან; კურო პლე-ადებითურთ და მეტადრე პერსევსი და კაპელა – ზენიტთან ახლოს. დიდი დათვი საკმაოდ მაღლაა, ჩრდილო-აღმოსავლეთით.

## მ უ დ მ 0 3 0 ნ ა ნ 0 ლ 0

რეფრაქცია (1"-ის სიზუსტით)

საშუალო რეფრაქცია (T=10°C; B=760 მმ)

გენიტური მანძილი Z	რეფრაქცია	გენიტური მანძილი Z	რეფრაქცია	გენიტური მანძილი Z	რეფრაქცია
0	"	0	" "	0	" "
0	0	32	0 36	56	1 26
5	5	34	0 39	58	1 33
10	10	36	0 42	60	1 41
14	14	38	0 45	61	1 45
16	17	40	0 49	62	1 49
18	19	42	0 52	63	1 54
20	21	44	0 56	64	1 59
22	24	46	1 0	65	2 4
24	26	48	1 5	66	2 10
26	28	50	1 9	67	2 16
28	31	52	1 14	68	2 23
30	34	54	1 20	69	2 30
32	36	56	1 26	70	2 38

T	Z													
0°	0	0	0	0	0	0	0	0	0	0	0	0	0	0
10	1	1	1	0	0	0	0	1	1	1	0	0	0	1
20	3	2	2	1	1	1	0	0	1	1	2	2	0	1
30	4	3	3	2	1	1	0	1	1	2	3	3	0	1
40	6	4	4	3	2	1	0	1	2	3	4	4	40	0
45	7	5	5	3	2	1	0	1	2	3	4	4	45	0
50	8	6	5	4	3	1	0	1	3	4	5	5	50	0
55	10	8	6	4	3	2	0	2	3	4	6	6	55	0
60	12	10	7	5	4	2	0	2	4	5	7	8	60	0
65	15	12	10	7	5	2	0	2	4	6	8	10	5	6
70	19	15	12	9	6	3	0	3	5	8	10	12	70	0
													B	760
		Z											Z	
			+35°											
				0°										
					"									
						0°								
							0°							
								"						
									"					
										"				
											"			
												"		
													760	770
														780
														790
														800

ნულიაქციის შესწორება T ტემპერატურას და B ბარომეტრულ განვითარებაზე

მაგალითი:  $h = 41^{\circ}45' 7 \text{ z}=48^{\circ}14' 3 \text{ T=+25°C}$   
 $B=750 \text{ მმ}$  საშ.რევ. 1' 5"  
 $B-80$  „ შესწორება -4  
 $B-95$  „ შესწორება -1  
 $\rho = 1,0'' \text{ დონეზე}$

## მნიშვნელი რაოდუნინი უკაშავესი ვარსკვლავის შესახებ

მარსკვლავის სახელმწიფო და აღნიშვნა	0561 აღმასყიდვის აუცილებელი და აღნიშვნელი	0561 აღმასყიდვის აუცილებელი	და-ეგ/ეგ ცეფებულ სფერისძიებები		აუცილებელი აღმასყიდვის აუცილებელი	აუცილებელი აღმასყიდვის აუცილებელი	რთმელ ზავ- ებისა ზედა კულტურისა შუალაპეტე
			აუცილებელი აუცილებელი	აუცილებელი აუცილებელი			
სირიუსი	$\alpha$ CMa	0	-1.6	8.8	22.9	3	1.324
არქტიური	$\alpha$ Boo	642.9	-16.39	-1.6	35.9	100	-8
	$\alpha$ Boo	14.13.4	+19.27	+0.2.03.	26.4	52.5	-5
ვეგა	$\alpha$ Lyr	18.35.2	+38.44	+0.1.03.	45.6	145	-14
პაპლა	$\alpha$ Aur	5.13.0	+45.57	+0.2.03.	815	52500	+30
რიგლი	$\beta$ Ori	5.12.1	-8.15	+0.3.03.	11.4	7.25	+21
პერიციონი	$\alpha$ CMi	7.36.7	+5.21	+0.5.03.	652	20900	+21
ტუტლეპიზე	$\alpha$ Ori	5.52.5	+7.24	+0.6.03.	10	2	-26
ალტარი	$\alpha$ Aql	19.48.3	+8.44	+0.9	158.5	5	+54
ალფიბარანი	$\alpha$ Tau	4.33.0	+16.25	+1.1.03.	260.8	1905	-3
სპირა	$\alpha$ Vir	13.22.6	-10.54	+1.2.03.	423.8	6310	+1
ანტარქტი	$\alpha$ Sco	16.26.3	-26.19	+1.2.03.	33.1	30	-3
ჰალიკსი	$\beta$ Gem	7.42.3	+28.09	+1.2.03.	14.5	0.625	+3
ფრალჰაუერი	$\alpha$ PsA	22.54.9	-29.53	+1.3	1630	92000	+7
ზნები	$\alpha$ Cyg	20.39.7	+45.06	+1.3.03.	84.8	145	-5
რიგლი	$\alpha$ Leo	10.05.7	+12.13	+1.3.03.	1.367	5500	-5
					0.033	12800	+4
					0.248	14000	+4

გ ე ნ ი შ ვ ნ ა: 1. იმ თვეში, როდა ვარსკვლავი ჩედა კულტურისათვის შუალაპეტე, მთი ხილადობის საკუთხევო პირობებია.

2. მუ-11 სეზონი შემთვევაში გ ე და კულტურისათვის შუალაპეტე, მთი ხილადობის საკუთხევო პირობებია.

ცხობები რამდენიმე უახლოესი ვარსკვლავის შესახებ

ვარსკვლავის სახელმწიფო დენი	პირდაპირი აღვლება 1950	დახრილობა 1950	ვარსკვლავის ინტენსიტეტი სიდიდი	მანძილი სინათლის ნლებრიტ	საკუთარი მოძრაობა (წლიწანიში)	სივრცი სიჩქარე
ვენტავრის უახლოესი	14 26	- 62 28	+11.0	4.3	"	- 16
ვენტავრის α A	14 36	- 60 38	0.0	4.4	3.7	- 17
ვენტავრის α B	"	"	+ 1.3	"	"	
ბარნარდისა	17 55	+ 4.33	+ 9.5	5.9	10.3	-108
ვოლფის 359	10 54	+ 7.19 +36	+13.5	7.6	4.7	+ 13
+36o 2147	11 01 18		+ 7.5	8.1	4.8	- 84
სირიუსი A	6 43	-16 39	- 1.5	8.6	1.3	- 8
სირიუსი B	"	"	+ 8.7	"	"	
L726-8 A	1 36	-18 13	+12.4	8.9	3.4	+ 29
როსის 154	18 47	-23 53	+10.6	9.4	0.7	- 4
როსის 248	23 39 55		+12.3	10.3	1.6	- 81
ε Eri	3 31	- 9 38	+ 3.7	10.8	1.0	+ 16
L789-6	22 36	-15 36	+12.2	10.8	3.3	- 60
როსის 128	11 45	+ 1 06	+11.1	10.8	1.4	- 13

ორგანაცი ვარსკვლავები კომპონენტებს შორის მავეთრად  
განსხვავებული ფერებით

დასახლება	α1950.0	δ1950.0	პირველი კომპო- ნენტი-A	მეორე კომპო- ნენტი-B	d"	ფ ე რ ე ბ ი
γ And	h m	o '			"	
γ And	2 0.8	+42 5	2.3	5.0	10	ნარინჯისფერი და ცისფერი
η Per	2 47.0	+55 41	3.9	8.6	28	ყვითელი და ცისფერი
χ Gem	7 41.4	+24 31	3.7	9.5	6.8	ნარინჯისფერი და ცისფერი
I Cne	8 43.7	+28 57	4.2	6.6	30.7	ყვითელი და ცისფერი
α CVn	12 53.7	+38 35	2.9	5.4	20	ყვითელი და ლილისფერი
β Sco	16 2.5	-19 40	2.9	5.0	13.7	თეთრი და მომწვანო- ყვითელი
χ Her	16 19.7	+19 16	4.5	5.5	11	ნითელი და ბურმუხტისფერი
α Her	17 12.4	+14 27	3.5	5.4	5	ყვითელი და ცისფერი
β Cyg	19 28.7	+27 52	3.2	5.4	35	ყვითელი და ცისფერი

## ორჯერადი ვარსკვლავები

			A პრმპონერტის ხილული ვას 33ლავე- ერი სიღრღვე	B პრმპონერტის ხილული ვარს- კვლავების სიღრღვე	შემძლელი ფრთხოები	შემძლელი ფრთხოების რეალის სკექტჩით	შენიშვნა	
1	α	U Mi	h 48.8	89. 2	F8	8.8	18.3	კოლარული ვარსკვლავი ცვალებაზე სამურავი ვარსკვლავი მესამე პრმპონერტის ზოგად- ვარსკვლავი: 6°, მანილი BC=0°-6°.
2	γ	Ari And	1 50.8 2 00.8	+19.3 +42.5	A0 K0	4.8 5.0	A0 A0	
3								
4	θ	Ori	5 32.8	-5 25	B5	7.9 5.4 6.8 11.3	B2 B3	
5	β	Mon	6 26.4	-7 0	B2	4.6 10.8		8.8 13.6 21.6 4.3 4.1 7.4
6	α	Gem	7 31.4	+32 0	A0	2.9	A0	2.2
7	γ	Leo	10 17.2	+20 6	K0	3.8	G5	4.3
8	γ	Vir	12 39.1	-1 11	F0	3.6	F0	5.2
9	α	CVn	12 53.7	+38 35	A0	5.4	A0	20.0
10	ζ	Uma	13 21.9	+55 11	A2	4.0	A2	14.5
11	α	Boo	14 38.4	+16 38	A0	5.8	A0	5.6
12	α	Her	17 12.4	+14 27	M5	5.4	F9	4.6
13	β	Cyg	19 28.7	+27 52	K0	5.4	B9	34.6
14	α	Cap	20 14.9	-12 40	G5	9.0	G0	45.6
15	γ	Del	20 44.3	+15 57	G5	4.5	F8	10.4

## ლია ლა სცენოლი ბროვერი

NGC	M	დაზღვებ -ღმერდ სფეროები		უპირველი ამონაში		განვითარებული სამართლის სამსახური		განვითარებული სამართლის სამსახური		განვითარებული სამართლის სამსახური	
		ამონაში	სფეროები	ამონაში	სფეროები	ამონაში	სფეროები	ამონაში	სფეროები	ამონაში	სფეროები
869	(h per) (X per) 45	Per Per Tau	h 2 15.5 2 18.9 3 43.9	0 +56 55 +56 53 +23 58	0 ლია ლია ლია	36 7 36 100	7 300 4.2	350 300 250	4.5 4.7 1.4	7300 7300 410	1 1 3ლაუფერი (ხომლი) 2 პიალტი
884											
2632	44	Tau	4 17.0	+15 31	ლია	330	4.0	100	0.8	140	
5272	3	Cnc	8 37.5	+19 52	ლია	95	6.5	350	3.7	515	
5904	5	CVn	13 39.9	+28 38	სუვერული	10					
6205	13	Ser	15 15.9	+ 2 16	სუვერული	13					
6656	22	Her	16 39.9	+ 36 33	სუვერული	10					
7092	39	Sgr	18 33.3	-23 58	სუვერული	17					
		Cyg	21 30.5	+48 13	ლია	30	6.5	25	5.2	815	

1) ბულარიალური თვალითაც ტიკიტჩუვა. ხილვალობის პროცესში საუკუთხესოა შემორტომა-გამოსარჩო

2) საუცხოო სანახვაზეა დურინიზომ (ტექილგრონა წამოსარჩო).

3) ურალი თველითაც მოჩანს; დურინიზომი\_კარგად (წამოსარჩო).

4) ძლიერ დურინიზომი ან სასკოლო ჭარბიში დარღვევაში ნილონავანი ლაქების სახით (გაფუხული\_ჟერმალგამი)

5) <> <> <> <> <> <> (გაფუხული)

**ბნელი, დიფუზური ლაპლანეტასის ნისლეულები**

NGC	M	აბცნიად-შეგფრენებ	ა.1950.0	ა.1950.0	01950.0	01950.0	ცბასბურთული აბცნიად-შეგფრენებ	ცბასბურთული აბცნიად-შეგფრენებ
1952	1	Tau	5 31.5	0	-	'	16	1000
1976	42	Ori	5 32.9	+56 53	21 59	კლ	6	1000
B 33		Ori	5 38.0	+23 58	53	დიფ	60	300
2261		Mon	6 36.4			გვ.	4	6500
2392		Gem	7 26.2	+ 21 2	21 2	კლ	2	1400
B 72		Oph	17 20.5	+19 52	19 52	გვ.	0.8	400
6514	20	Sgr	17 59.0	+28 38	38	დიფ	20	2200
6523	8	Sgr	18 1.6	+ 2 16	1.6	დიფ	27	2500
6543		Dra	17 58.8	+ 36 33	58.8	კლ	50	1700
B 92		Sgr	18 12.7	-23 58	12.7	გვ.	0.4	11
6618	17	Sgr	18 18.0	+48 13	18.0	დიფ	15	11
6720	57	Lyr	18 52.0	+32 58	52.0	კლ	40	14
6826		Cyg	19 43.5	+50 24	43.5	დიფ	1.4	11
6853	27	Vul	19 57.4	+22 35	57.4	კლ	9	13
6960		Cyg	20 43.6	+30 32	43.6	დიფ	60	1700
7000		Cyg	20 57.0	+44 7	57.0	დიფ	100	1000
7009		Aqr	21 1.4	-11 34	1.4	კლ	0.7	13
							8	12

გალაქტიკები							
ნომერი კატ- ლოგით NGC	ნომერი კატ- ლოგით M	-ძლიერი უძველესი ფორმი	უძველესი ფორმი	01950.0	01950.0	01950.0	01950.0
221	32	And	h	0 39.9	O	'	'
224	31*	And	m	+40 36	E	2.6X2.1	8.8
598	33*	Tri	0 40.0	+41 00	Sb	450X110	4.8
3031	81	Uma	1 31.0	+30 24	Sc	60X40	7.0
3627	66	Uma	9 51.5	+69 18	Sb	16X10	8.0
4258	106	Leo	11 17.6	+13 16	Sb	8X2	8.4
4736	94	Cvn	12 16.5	+47 34	Sb	20X6	8.7
5194	51	Cvn	12 48.6	+41 24	Sb	5X4	8.0
5236	83	Cvn	13 27.6	+47 27	Sc	12X6	8.1
		Hya	13 34.2	-29 36	Sc	10X8	8

\* საუკეთესო ხილვადობა შემოღვიძლა-ზამთარში

## မြန်မာနိုင်ငံ၏ အကျဉ်းချုပ်

နှစ်	ပြည်ထောင်စုရှိသွေးစွဲ မီလီဘီလီတွေ	ပြည်ထောင်စု၏ ဓာတ်ထွက်လွှာ မီလီဘီလီတွေ	ပြည်ထောင်စု၏ ဤလွှာတွေ၏ စွဲ မီလီဘီလီတွေ	ပြည်ထောင်စု၏ အကျဉ်းချုပ်				
				ပြည်ထောင်စု၏ အကျဉ်းချုပ်				
မြန်မာနိုင်ငံ	ပြည်ထောင်စု၏ အကျဉ်းချုပ်	ပြည်ထောင်စု၏ ဓာတ်ထွက်လွှာ	ပြည်ထောင်စု၏ ဤလွှာတွေ၏ စွဲ	ပြည်ထောင်စု၏ အကျဉ်းချုပ်				
ဒေသ	ဒေသ	ဒေသ	ဒေသ	ဒေသ	ဒေသ	ဒေသ	ဒေသ	ဒေသ
မြန်မာနိုင်ငံ	မြန်မာနိုင်ငံ	မြန်မာနိုင်ငံ	မြန်မာနိုင်ငံ	မြန်မာနိုင်ငံ	မြန်မာနိုင်ငံ	မြန်မာနိုင်ငံ	မြန်မာနိုင်ငံ	မြန်မာနိုင်ငံ
နှစ်	နှစ်	နှစ်	နှစ်	နှစ်	နှစ်	နှစ်	နှစ်	နှစ်
ပြည်ထောင်စု	ပြည်ထောင်စု	ပြည်ထောင်စု	ပြည်ထောင်စု	ပြည်ထောင်စု	ပြည်ထောင်စု	ပြည်ထောင်စု	ပြည်ထောင်စု	ပြည်ထောင်စု
ရက်	ရက်	ရက်	ရက်	ရက်	ရက်	ရက်	ရက်	ရက်

\* ကုသ္ပာလျှော့မျိုး၊ နှေ့လွှာလွှာ၊ မီလီဘီလီ

\*\* ပုဂ္ဂိုလ်အုပ်စီးပါးဝန်ဆောင်ရွက်သူမှူး၏ မီလီဘီလီဖွေးကျော်

**ცნობები პლანეტათა თანამგზავრებზე**

თანამგზავრის სახელი	საშუალო მასშტაბის კლასი, კმ.	პლანეტის გარშემო მოქცვის სიდერული პერიოდი, დღ-წ.	ლიამური, კმ:	ვარსკვლავები სიღრის საშუალო პირისპირი- გომისსას
1	2	3	4	5
<b>დედამინა</b>				
1. მთვარე მარსი	384. 4	27.322	3474	-12.7
1. ფობოსი	9.4	0.319	27	+11.4
2. დეიმოსი იუპიტერი	23.5	1.262	15	+12.5
1. ოო	422	1.769	3630	+5.0
2. ევროპა	671	3.551	3138	+5.3
3. განიმედე	1070	7.155	5262	+4.6
4. კალისტო	1883	16.689	4806	+5.7
5. ამალთეა	181	0.498	250	+14.1
6. ჰიმალია	11460	250.6	170	+14.6
7. ელარა	11740	259.6	80	+16.3
8. პაციფე	23620	743.6	36	+17.0
9. სინოპე	23940	758.9	28	+18.3
10. ლისითეა	11720	259.2	24	+18.4
11. კარმე	23400	734.2	30	+18.0
12. ანანკე	21280	629.8	20	+18.9
13. ლედა	11160	240.9	10	+20.0
14. თეტე	222	0.675	116	+15.7
15. ადრასთეა	129	0.298	20	+19.1
16. მეტიდა	128	0.295	60	+17.5
17. კალიროე	23498	735.9	10	+20.7
18. თემისტო	7398	130.0	8	+21.4
19. მეგაკლიტე	23463	734.3	5	+21.7
20. ტაგენე	22350	682.6	5	+21.9
21. ქალდენე	22452	687.3	4	+22.5
22. პარპალიკე	20836	614.5	4	+22.2
23. კალივე	22623	695.2	5	+21.8
24. იოვასტე	20424	596.3	5	+21.8
25. ერნომე	24062	762.6	3	+22.8
26. იონოვე	23795	749.9	4	+22.5
27. პრაქსიდივე	21342	637.0	7	+21.2
28. ავთონოვე	23776	752.9	4	+22.0
29. თოონე	20841	614.7	4	+22.3
30. ჰერმისე	21324	629.8	4	+22.1
31. ეთნე	23401	735.5	3	+22.7
32. ევრიდომე	23317	713.1	3	+22.7
33. ევანტე	20997	621.5	3	+22.8
34. ევფორიე	18978	534.1	2	+23.1
35. ორთოზიე	20816	616.7	2	+23.1

თანამდებობის საფული	საშუალო მნიშვნელი პლანეტისან, ათასი კ.	პლანეტის გარშემო მოქცევის სიდერული პერიოდი, დღ-ღ.	დორიზტი, კმ;	ვარსკვლავის სიდერული საშუალო კირისანრიზ- გრძელებას
1	2	3	4	5
36. სპონდე	23,515	732.3	2	+23.0
37. კალე	20,712	609.0	2	+23.0
38. პაზიფიკ	22,877	715.3	2	+23.2
39. გეგემონე	24,514	781.6	3	+22.8
40. მნემე	20,800	613.9	2	+23.3
41. აიოდე	23,808	748.8	4	+22.5
42. ტელქსინოე	21,300	635.8	2	+23.5
43. არქე	22,931	732.9	3	+22.8
44. კალიქორე	22,395	683.0	2	+23.7
45. ჰელივე	20,979	617.3	4	+22.6
46. კარპო	17,100	456.5	3	+23.0
47. ეველადე	24,557	781.6	4	+22.6
48. კილეზი	24,000	737.8	2	+23.2
49. S/2000 J 11	12,623	289.7	4	+22.4
50. S/2003 J 2	28,570	982.5	2	+23.2
51. S/2003 J 3	18,340	504.0	2	+23.4
52. S/2003 J 4	23,258	723.2	2	+23.0
53. S/2003 J 5	24,084	759.7	4	+22.4
54. S/2003 J 9	22,442	683.0	1	+23.7
55. S/2003 J 10	24,250	767.0	2	+23.6
56. S/2003 J 12	19,002	533.3	1	+23.9
57. S/2003 J 14	25,000	807.8	2	+23.6
58. S/2003 J 15	22,000	668.4	2	+23.5
59. S/2003 J 16	21,000	595.4	2	+23.3
60. S/2003 J 17	22,000	690.3	2	+23.4
61. S/2003 J 18	20,700	606.3	2	+23.4
62. S/2003 J 19	22,800	701.3	2	+23.7
63. S/2003 J 23	24,000	759.2	2	+23.6
<b>სატურნი</b>				
1. მიმასი	185.6	0.942	397	+12.8
2. ენცელადე	238.1	1.370	500	+11.8
3. ტეფიია	294.7	1.888	1060	+10.2
4. დიონე	377.4	2.737	1120	+10.4
5. რეა	527.1	4.518	1530	+9.6
6. ტიტანი	1221.9	15.945	5150	+8.4
7. ჰიპერიონი	1464.1	21.277	410	+14.4
8. იაფეტი	3560.8	79.331	1460	+9.5-11.7
9. ფება	12944.3	548.21	220	+16.4
10. იანუსი	151.5	0.695	178	+14.4
11. ეპიმეთე	151.4	0.694	120	+15.6
12. ელენე	377.4	2.737	32	+18.4
13. თელესტო	294.7	1.888	24	+18.5
14. კალიფსო	294.7	1.888	19	+18.7
15. ატლასი	137.7	0.602	32	+19.0

თანამდებობავრცის საული	საშუალო მნიშვნელი პლანური კვ.	პლანეტის გარშემო მოქსევის სიდერული პერიოდი, დღ-ც.	დიამეტრი, კმ;	ვარსკვლავები სიღრღლე საშუალო პირის მიწოდ- გრამსას
1	2	3	4	5
16. პრომეთე	139.4	0.613	100	+15.8
17. პანდორა	141.7	0.629	84	+16.4
18. პანი	133.6	0.575	20	+19.4
19. იმირი	23130.0	1315.33	16	+21.8
20. პალასკი	15198.0	686.94	19	+21.4
21. თარვოსი	18239.0	926.13	13	+22.3
22. იჯირავი	11442.0	451.47	10	+22.7
23. სუტუნგი	19465.0	1016.51	6	+23.8
24. კვიოვკი	11365.0	449.22	14	+22.2
25. მუნდილფარი	18722.0	951.56	6	+24.0
26. ალბიორიქსი	16394.0	783.47	26	+20.9
27. სვადი	15641.0	728.18	6	+23.7
28. ერიპო	17604.0	871.25	8	+23.2
29. სარნავი	18195.0	895.55	32	+20.1
30. ტრიუმი	20219.0	1091.76	6	+23.9
31. ნარვი	18719.0	956.19	7	+23.8
32. მეტონა	194.0	1.01	3	?
33. პალენა	211.0	1.14	4	?
34. პოლიდევკი	377.4	2.74	4	?
35. დაფნისი	136.5	0.594	7	?
36. S/2004 S 7	20576.7	1101.99	6	+24.5
37. S/2004 S 8	23608.9	1354.34	6	+24.6
38. S/2004 S 9	20290.8	1079.10	5	+24.7
39. S/2004 S 10	19618.4	1025.91	6	+24.4
40. S/2004 S 11	16898.4	820.13	6	+24.1
41. S/2004 S 12	19905.9	1048.54	5	+24.8
42. S/2004 S 13	18056.3	905.85	6	+24.5
43. S/2004 S 14	20303.3	1080.10	6	+24.4
44. S/2004 S 15	19372.2	1006.66	6	+24.2
45. S/2004 S 16	22610.7	1269.36	4	+25.0
46. S/2004 S 17	19099.2	985.45	4	+25.2
47. S/2004 S 18 ურანი	19958.7	1052.72	7	+23.8
1. არიელი	190.9	2.520	1158	+14.1
2. უმბრიელი	266.0	4.144	1172	+14.8
3. ტიტანია	436.3	8.706	1580	+13.8
4. ობერიონი	583.5	13.463	1524	+14.0
5. მირანდა	129.9	1.414	480	+16.4
6. კორდელია	49.8	0.336	26	+24.1
7. ოფელია	53.8	0.377	30	+23.8
8. ბიანკა	59.1	0.435	42	+23.0
9. კრესიდა	61.8	0.464	62	+22.2
10. დედედომონა	62.7	0.474	54	+22.5
11. ჭულიეტა	64.3	0.494	84	+21.5

თანამდებობრის სახელი	საშუალო მნიშვნელი პლანისამდებ.	პლანეტის გარშემო მოქმედვის სიდერული პერიოდი, დღ-ლ.	დიარეტრი, კვ;	ვარსკვლავები სილელ საშუალო პირისამრე- გამოსასის
1	2	3	4	5
12. პორცია	66.1	0.514	108	+21.0
13. რომალინდა	69.9	0.559	54	+22.5
14. ბელინდა	75.2	0.624	66	+22.1
15. პაკი	86.0	0.762	154	+20.3
16. კალიბანი	7168.9	579	60	+21.1
17. სიკორნაქსი	12213.6	1289	120	+20.6
18. პროსპერო	16113.5	1953	30	+22.4
19. სეტებოსი	18205.2	2345	30	+22.5
20. სტეფანო	7942.5	676	20	+23.5
21. ტრინკულო	8578.0	759.0	10	+25.4
22. ფრანცისკო	4281.0	266.6	12	+25.0
23. მარგარიტა	14688.7	1694.8	11	+25.2
24. ფრიდინანდი	21000.0	2823.4	12	+25.1
25. პერდიტა	76.4	0.638	40	+23.6
26. მაბი	97.7	0.922	10	+26.0
27. კუპიდონი	74.8	0.617	10	+26.0
<b>წეპტუნი</b>				
1. ტრიზონი	354.6	5.877	2700	+13.5
2. ნერეიდა	5511.2	360.13	340	+18.7
3. ნაიადა	48.2	0.295	54	+24.7
4. თაღლასა	50.1	0.312	80	+23.8
5. დესპინა	52.5	0.335	150	+22.6
6. გალათეა	61.9	0.429	160	+22.3
7. ლარისა	73.5	0.555	208	+22.0
8. პრითეოსი	117.6	1.123	436	+20.3
9. S/2002 N 1	21990	2868.23	60	+24.4
10. S/2002 N 2	20151	2515.96	40	+25.7
11. S/2002 N 3	21365	2746.72	40	+25.3
12. S/2002 N 4	47279.7	9007.1	60	+24.6
13. S/2003 N 1	46738.0	9136.1	40	+25.5

#### შენიშვნა:

2006 -2009 წლებში აღმოჩენილია სატურნის კიდევ მცირე ზომის 15 თანამგზავრი, რომელთა უმეტესობას ჰქონდა ნინასნარი სახელმწიფო აქვთ მიკუთვნებული.

**ცნობები დედამიწაზე, მზეზე, მთვარეზე**  
**დ ე დ ა მ ი წ ბ**

დედამიწის ელიფსოიდი	(საბჭოთა განსაზღვრებით, 1940)
ეკვატორული რადიუსი	$a = 6\ 378.245$ კმ
პოლარული რადიუსი	$b = 6\ 356.863$ კმ
დედამიწის ელიფსოიდის შეკუმშულობა	$a = 1/298.3 \pm 04$
სმელების ფართობი	149 860 000 $\text{km}^2$ . (29%)
წყლით დაფარული ბედაპირის ფართობი	361 460 000 $\text{km}^2$ . (71%)
მოცულობა	$1.08 \times 10^{12} \text{km}^3$
მასა	$5.98 \times 10^{27}$ გ
საშუალო სიმკვრივე	5.5 (წყალთან შედარებით)
უმაღლესი წერტილი ზღვის დონიდან (მწვ. ჭომოლუგმა)	8 848 მ.
უდიდესი სიღრმე ოკეანეში (მარიანის ღრმელი)	11 035 მ.
განთავისუფლების კრიზისული სიჩქარე	11.2 კმ/წმ
საშუალო ორბიტული სიჩქარე	29.8 კმ/წმ
ბრუნვის ხაზოვანი სიჩქარე ეკვატორზე	465 მ/წმ

**მ გ ე**

საშუალო მანძილი დედამიწიდან	149 604 000 კმ ( $\pm 17\ 000$ კმ)
ხილული დიამეტრი 1 ასტრონომიული	31'59".3
ერთეულის მანძილზე	
დიამეტრი	1 390 600 კმ
ბრუნვის სიღრული პერიოდი	25. 38 საშუალო დღე-ღამე
(ეკვატორზე)	
ბრუნვის სინოდური პერიოდი	27.35 საშუალო დღე-ღამე
(ეკვატორზე)	
ეკვატორის დახრა ეკლიპტიკის მიმართ	7° 15'
მასა	333 434 (დედამიწასთან შედარებით)
საშუალო სიმკვრივე	1.41 (წყალთან შედარებით)
სიმკვრივე გარე ფენგბში	$10^{-10}$ (წყალთან შედარებით)
სიმკვრივე ცენტრში	11.0 (წყალთან შედარებით)
სიმძიმის ძალის აჩქარება ფოტოსფეროში	27.9 (დედამიწასთან შედარებით)
განთავისუფლების კრიზისული სიჩქარე	619.4 კმ/წმ
მოცულობა	1 301 200 (დედამიწასთან შედარებით)
მზის მუდმივა	1.94 კალ/ სმ <sup>2</sup> . წთ.
ვიზუალური ვარსკვლავიერი სიღიდე	-26.72
ტემპერატურა ფოტოსფეროში	5 730°C
ტემპერატურა დაქისა	4 000°C
ტემპერატურა გულში	~ 14 000 000°C
ნათობა	$3.7 \times 10^{33}$ ერგ/წმ

## მთვარე

საშუალო მანძილი დედამიწიდან	384 400 კმ (60.267 დედამიწის რადიუსთან შედარებით)
ორბიტის ექსცენტრისიტეტი	0.056
ორბიტის საშუალო დახრა	5°8'
ეკლიპტიკის მიმართ	
გარემოქცევის სიდერული პერიოდი	27.322 (საშუალო დღე-ღამე)
გარემოქცევის სინოდური პერიოდი	29.531 (საშუალო დღე-ღამე)
ხილული დიამეტრი დედამიწიდან	31' 05".2
საშ. მანძილზე	
ეკვატორის დახრა ორბიტის მიმართ	6°40'.7
ეკვატორის დახრა ეკლიპტიკის მიმართ	1°32'.1
დიამეტრი	3473 კმ
დიამეტრი	0.272 (დედამიწასთან შედარებით)
მასა	0.012 (დედამიწასთან შედარებით)
სიმკვრივე	3.33 (წყალთან შედარებით)
სიმკვრივე	0.61 (დედამიწასთან შედარებით)
მოცულიანა	0. 020 (დედამიწასთან შედარებით)
სიმძიმის ძალის აჩქარება ზედაპირზე	0.165 (დედამიწასთან შედარებით)
განთავისუფლების კრიზისული სიჩქარე	2.4 კმ/წმ
ფოტოვიზუალური ვარსკვლავიერი	-12.67
სიდიდე	
საშუალო პარალაქსი	57'03"
ტემპირატურა მოვარის განათებულ ზედაპირზე	+120°C, ჩრდილში-130°C
ცენტრის მედა კულმინაციის	მაქსიმალური 66 წთ
ყოველდღიური დაგვიანება	მინიმალური 38 წთი საშუალო 50 წთ
საშუალო ორბიტული სიჩქარე	1.02 კმ/წმ

## სხვადასხვა მონაცემი

გალაქტიკის ჩრდილოეთ პოლუსის მდებარეობა:

$$\alpha=191^\circ, \delta=+27^\circ.7.$$

მზის დაშორება გალაქტიკის ცენტრიდან: 8 200 პარსეკი

გალაქტიკის მასა:  $1.6 \times 10^{11}$  მზის მასა

გალაქტიკის დიამეტრი: 30 კილოპარსეკი

**ზოგიერთი მნიშვნელოვანი სიდიდე  
(მნიშვნელობები, მიღებული საერთაშორისო შეთანხმებით)**

მჩს პარალაქსი	8°.79
ნლიური აბერაციის მუდმივა	20''.49
დღეგამური აბერაციის მუდმივა	0''.32
ნლიური პრეცესია	50°.2564 - 0''.00022.t. 1)
ეკვატორის დახრა ეკლიპტიკასთან	23°27'8''.26 - 0''468.t. 2)
დედამიწის ეკვატორის სიგრძე	40 076 კმ
დედამიწის ეკვატორული რადიუსი	a=6 378.388 კმ
დედამიწის პოლარული რადიუსი	b=6 356.912 კმ
დედამიწის შეკუმშელობა	$(a = \frac{a - b}{a}) \frac{1}{297}$
სიმძიმის ძალის სტანდარტული აჩქარება	g=9.78049+0.05282 sin <sup>2</sup> φ მ/ნმ <sup>2</sup>
დედამიწის მთლიანი ბედაპირის ფართობი	5.101X10 <sup>8</sup> კმ <sup>2</sup>
ასტრონომიული ერთეული	149 604 000 კმ
საშუალო დღე-დამის ხანგრძლივობა	
1.002738 ვარსკვ. დღე-დამე=24 <sup>h</sup> 03 <sup>m</sup> 56 <sup>s</sup> .555 (ვარსკვ. დროით)	
ვარსკვლავიერი დღე-დამე	
0.997269 საშ. დღე-დამე=23 <sup>h</sup> 56 <sup>m</sup> 04 <sup>s</sup> .0905 (საშ. დროით)	
სიდერული ოვე	27.321661 საშ. დღე-დამე =27 <sup>d</sup> 07 <sup>h</sup> 43 <sup>m</sup> 11 <sup>s</sup> .51 (საშ. დროით)
სინოდური ოვე	29.530588 საშ. დღე-დამე =29 <sup>d</sup> 12 <sup>h</sup> 44 <sup>m</sup> 02 <sup>s</sup> .82 (საშ. დროით)
სიდერული წელიწადი	365.256360 საშ. დღე-დამე =365 <sup>d</sup> 06 <sup>h</sup> 09 <sup>m</sup> 09 <sup>s</sup> .54 (საშ. დროით)
ტრიპიკული წელიწადი	365.242196 საშ. დღე-დამე =365 <sup>d</sup> 05 <sup>h</sup> 48 <sup>m</sup> 45 <sup>s</sup> .98 (საშ. დროით)

### ფიზიკური მუდმივები

მიზიდულობის უნივერსალური მუდმივა G, რომელიც შედის ნიუტონის  
მსოფლიო მიზიდულობის კანონის გამოსახულებაში  $F=G \cdot m_1 m_2 / R^2$

$$G=(6,670 \pm 0,005) \times 10^{-8} \text{ გრ}^{-1} \text{ სმ}^3 \text{ ნმ}^{-2} \text{ }^{(3)}$$

$$\text{გაუსის } \text{მუდმივა} \quad k=0.01720210$$

სიმძიმის ძალის აჩქარება 45° განედზე (აბსოლუტური)

$$g_{45^\circ}=980.616 \text{ სმ } \text{ნმ}^{-2}$$

სიმძიმის ძალის სტანდარტული აჩქარება (მოდებულია ბარომეტრული  
გამოთვლებისათვის)  $g_0=980.665 \text{ სმ } \text{ნმ}^{-2}$

სინათლის სიჩქარე ვაკუუმში  $c=299 792. 458 \pm 1,2 \text{ კმ/ნმ}^{-1}$

$$1 \text{ მცირე } \text{ვალორია} = 4.182 \text{ ჭოული}$$

$$\text{აბსოლუტური } \text{ნული } 0^\circ \text{ K}=-273^\circ.16\text{C}$$

1) ტ აქ აითვლება 1900 ნლიდან იულიუსის ნლებით.

2) აქ ტ გამოსახულია ტრიპიკული ნლებით. ათვლილია 1900 ნლიდან.

3) პროცენტის მეოცედი ნანილის სიტუაციით შეგვიძლია მივიღოთ:

$$G=2000/3X10^{-10} \text{ გრ}^{-1} \text{ სმ}^3 \text{ ნმ}^{-2} \text{ (კ. პ. პარენაგოს მიხედვით).}$$

## სიმრბისა და მანძილის ერთხულები

$$\text{ანგსტრომი (A)} = 10^{-8} \text{ სმ}$$

$$\text{მილიმიკრონი (მმ)} = 10^{-7} \text{ სმ}$$

$$\text{მივრონი (\mu)} = 10^{-4} \text{ სმ}$$

$$\text{მეტრი (მ)} = 10^2 \text{ სმ}$$

$$\text{კილომეტრი (კმ)} = 10^5 \text{ სმ}$$

$$\text{ასტრონომიული ერთეული (ა.ე)} 1.49604 \times 10^{13} \text{ სმ}$$

$$\text{სინათლის წელი } 9.460 \times 10^{17} \text{ სმ} = 0.3069 \text{ პარსეკი}$$

$$\text{პარსეკი } 30.84 \times 10^{17} \text{ სმ} = 3.263 \text{ სინათლის წელი}$$

$$\text{კილოპარსეკი} = 1000 \text{ პარსეკი}$$

$$\text{მეგაპარსეკი} = 30.84 \times 10^{23} \text{ სმ} = 3.263 \times 10^6 \text{ სინათლის წელი}$$

$$\text{ინგლისური დუიმი} = 2.540 \text{ სმ}$$

$$\text{ინგლისური ფუტი} = 12 \text{ დუიმი} = 30.48 \text{ სმ}$$

$$\text{ინგლისური მილი} = 1.609344 \text{ კმ}$$

$$\text{საზღვაო მილი} = 1.853 \text{ კმ} \quad (\text{შეესაბამება მერიდიანის რვალის } 1\text{-ს})$$

## მათემატიკური სიდიდეები

$$\pi = 3.1415926536 \quad \lg \pi = 0.497149873$$

$$e = 2.7182818285 \quad \lg e = -1.6377843$$

$$M = \lg e = 0.4342944819 \quad \frac{1}{M} = \ln 10 = 2.3025850930$$

$$\lg \frac{1}{M} = 0.3622157$$

$$1 \text{ რადიანი} = \frac{180^\circ}{\pi} = 57^\circ 295779513 = 57^\circ 17'44''.806 = 3437'.7467708 = 206264''.80625$$

$$\text{სფეროს ფართობი} = 41253 \text{ კვადრატულ გრადუსს}$$

$$360^\circ = 21600' = 1296000''$$

$$2\pi = 6.28319 \quad \frac{1}{\pi} = 0.31831 \quad \sin 1^\circ = 0.017452$$

$$\frac{\pi}{4} = 0.78540 \quad \sqrt{\pi} = 1.77245 \quad \sin 1' = 0.0002909$$

$$\frac{4\pi}{3} = 4.18879 \quad \sqrt{2} = 1.41421 \quad \sin 1'' = 0.00000485$$

$$\pi^2 = 9.86960 \quad \sqrt{3} = 1.73205$$

**თანავარსკვლავედის სახელწოდებაზი და აღნიშვნები**

ლათინური სახელწოდება	შემცველი აღნიშვნები	ქართული სახელწოდება	რუსული სახელწოდება
Andromeda	And	ანდრომედე	Андромеда
Antlia	Ant	ტუმბო	Насос
Apus	Aps	სამოთხის ჩიტი	Райская птица
Aquarius	Aqr	მერწყული	Водолей
Aquila	Aql	არწვი	Орел
Ara	Ara	სამსხვერპლლო	Жертвенник
Aries	Ari	ვერძი	Овен
Auriga	Aur	მეეტლე	Возничий
Bootes	Boo	მენახირე	Волопас
Caelum	Cae	საჭირისი	Резец
Camelopardalis	Cam	ჟირაფი	Жираф
Cancer	Cnc	კირჩხიბი	Рак
Canes Venatici	CVn	მეძებარი ძაღლები	Гончие псы
Canis Major	CMa	დიდი ქოფაკი	Большой пес
Canis Minor	CMi	პატარა ქოფაკი	Малый пес
Capricornus	Cap	თხის რქა	Козерог
Carina	Car	გემის ხერხემალი	Киль
Cassiopeia	Cas	ვასორვეა	Кассиопея
Centaurus	Cen	კენტაური	Кентавр
Cepheus	Cep	ცეფევსი	Цефей
Cetus	Cet	ვეშაპი	Кит
Chamaeleon	Cha	ქამელოუნი	Хамелеон
Circinus	Cir	ფარგალი	Циркуль
Columba	Col	მტრედი	Голубь
Coma berenices	Com	ბერენიკეს თმები	Волосы Вероники
Corona Australis	CrA	სამხრ. გვირგვინი	Южная Корона
Corona Borealis	CrB	ჩრდ. გვირგვინი	Северная Корона
Corvus	Crv	ყორანი	Ворон
Crater	Crt	ფიალა	Чаша
Crux	Cru	სამხრეთის ჯვარი	Южный Крест
Cygnus	Cyg	გედი	Лебедь
Delphinus	Del	დელფინი	Дельфин
Dorado	Dor	ოქროს თევზი	Золотая рыба
Draco	Dra	გველებაპი	Дракон
Equuleus	Equ	კვიცი	Малый Конь
Eridanus	Eri	ერიდანუსი	Эридан
Fornax	For	ღუმელი	Печь
Gemini	Gem	მარჩივი	Близнецы
Grus	Gru	წერო	Журавль
Herkules	Her	ჰერკულესი	Геркулес

ლათინური სახელნოდება	ქართველი სახელი	ქართული სახელნოდება	რესული სახელნოდება
Horologium	Hor	საათი	Часы
Hydra	Hya	ჰიდრა	Гидра
Hydrus	Hyi	სამხ. ჰიდრა	Южная гидра
Indus	Ind	ინდუსი	Индеец
Lacerta	Lac	ხვლიკი	Ящерица
Leo	Leo	ლომი	Лев
Leo Minor	L Mi	პატარა ლომი	Малый лев
Lepus	Lep	კურდღლი	Заяц
Libra	Lib	სასწორი	Весы
Lupus	Lup	მგელი	Волк
Lunx	Lyn	ფოცხვერი	Рысь
Lura	Lur	ქარი	Лира
Mensa	Men	მაგდა მთა	Столовая гора
Microscopium	Mic	მიკროსკოპი	Микроскоп
Monoceros	Mon	მარტორქა	Единорог
Musca	Mus	ბუზი	Муха
Norma	Nor	გონიო	Наугольник
Octans	Oct	ოქტანტი	Октант
Ophiuchus	Oph	გველასმჭრე	Змееносец
Orion	Ori	ორიონი	Орион
Pavo	Pav	ფარშევანგი	Павлин
Pegasus	Peg	პეგასი	Пегас
Perseus	Per	პერსეუსი	Персей
Phoenix	Phx	ფენიксი	Феникс
Pictor	Pic	მხატვარი	Живописец
Pisces	Psc	თევზი	Рыба
Piscis Austrinus	PsA	სამხ. თევზი	Южная рыба
Puppis	Pup	კოჩი	Корма
Pyxis	Pux	კომპასი	Компас
Reticulum	Ret	ბადურა	Сетка
Sagitta	Sge	ისრი	Стрела
Sagittarius	Sgr	მშილდოსანი	Стрелец
Scorpius	Sco	ღრიანვალი	Скорпион
Sculptor	Scl	მოქნდავე	Скульптор
Scutum	Sct	ფარი	Шит
Serpens	Ser	გველი	Змея
Sexants	Sex	სექსტანტი	Секстант
Taurus	Tau	კურო	Телец
Telescopium	Tel	ტელესკოპი	Телескоп
Triangulum	Tri	სამკუთხედი	Треугольник
Triangulum Australe	TrA	სამხ. სამკუთხედი	Южный Треугольник
Tucana	Tuc	ტუკანი	Тукан
Ursa Major	Uma	დიდი დათვი	Большая Медведица
Ursa minor	Umi	პატარა დათვი	Малая Медведица
Vela	Vel	იალქები	Паруса
Vigro	Vir	ქალწელი	Дева
Volans	Vol	მფრინავი თევზი	Летучая рыба
Vulpecula	Vul	მეღა	Лисичка

**საშუალო დროის შუალედის ვარსკვლავი**  
**დროში გადასაყვანი ცხრილი**  
**(შესწორება მიემატება)**

საშუალო სათა ჩ	შესწორება		საშუალო წევი	შესწორება ს						
	m	s								
1	0	9.856	1	0.164	31	5.093	1	0.003	31	0.085
2	0	19.713	2	0.329	32	5.257	2	0.005	32	0.088
3	0	29.569	3	0.493	33	5.421	3	0.008	33	0.090
4	0	39.426	4	0.657	34	5.585	4	0.011	34	0.093
5	0	49.282	5	0.821	35	5.750	5	0.014	35	0.096
6	0	59.139	6	0.986	36	5.914	6	0.016	36	0.099
7	1	8.995	7	1.150	37	6.078	7	0.019	37	0.101
8	1	18.852	8	1.314	38	6.242	8	0.022	38	0.104
9	1	28.708	9	1.478	39	6.407	9	0.025	39	0.107
10	1	38.565	10	1.643	40	6.571	10	0.027	40	0.110
11	1	48.421	11	1.807	41	6.735	11	0.030	41	0.112
12	1	58.278	12	1.971	42	6.900	12	0.033	42	0.115
13	2	8.134	13	2.136	43	7.064	13	0.036	43	0.118
14	2	17.991	14	2.300	44	7.228	14	0.038	44	0.120
15	2	27.847	15	2.464	45	7.392	15	0.041	45	0.123
16	2	37.704	16	2.628	46	7.557	16	0.044	46	0.126
17	2	47.560	17	2.793	47	7.721	17	0.047	47	0.129
18	2	57.417	18	2.957	48	7.885	18	0.049	48	0.131
19	3	7.273	19	3.121	49	8.049	19	0.052	49	0.134
20	3	17.129	20	3.285	50	8.214	20	0.055	50	0.137
21	3	26.986	21	3.450	51	8.378	21	0.057	51	0.140
22	3	36.842	22	3.614	52	8.542	22	0.060	52	0.142
23	3	46.699	23	3.778	53	8.707	23	0.063	53	0.145
24	3	56.555	24	3.943	54	8.871	24	0.066	54	0.148
			25	4.107	55	9.035	25	0.068	55	0.151
საშუალო დღე-დამე =		26	4.271	56	9.199	26	0.071	56	0.153	
$= 24^h 03^m 56^s .555 =$		27	4.435	57	9.364	27	0.074	57	0.156	
= 1.002738		28	4.600	58	9.528	28	0.077	58	0.159	
ვარსკვლავის დღე-დამეს		29	4.764	59	9.692	28	0.079	59	0.162	
		30	4.928	60	9.856	30	0.082	60	0.164	

**ვარსკვლავიერი დროის შუალედის  
საშუალო დროში გადასაყვანი ცხრილი**  
(შესწორება გამოაკლდება)

ვარსკვლავიერი სათი სათი სათი	შესწორება		ვარსკვლავიერი ნუტი	შესწორება ს	ვარსკვლავიერი ნუტი	შესწორება ს	ვარსკვლავიერი ნუტი	შესწორება ს	ვარსკვლავიერი ნუტი	
	m	s								
1	0	9.830	1	0.164	31	5.079	1	0.003	31	0.085
2	0	19.659	2	0.328	32	5.242	2	0.005	32	0.087
3	0	29.489	3	0.491	33	5.406	3	0.008	33	0.090
4	0	39.318	4	0.655	34	5.570	4	0.011	34	0.093
5	0	49.148	5	0.819	35	5.731	5	0.014	35	0.096
6	0	58.977	6	0.983	36	5.898	6	0.016	36	0.098
7	1	8.807	7	1.147	37	6.062	7	0.019	37	0.101
8	1	18.636	8	1.311	38	6.225	8	0.022	38	0.104
9	1	28.466	9	1.474	39	6.389	9	0.025	39	0.106
10	1	38.296	10	1.638	40	6.553	10	0.027	40	0.109
11	1	48.125	11	1.802	41	6.717	11	0.030	41	0.112
12	1	57.955	12	1.966	42	6.881	12	0.033	42	0.115
13	2	7.784	13	2.130	43	7.045	13	0.035	43	0.117
14	2	17.614	14	2.294	44	7.208	14	0.038	44	0.120
15	2	27.443	15	2.457	45	7.372	15	0.041	45	0.123
16	2	37.273	16	2.621	46	7.536	16	0.044	46	0.126
17	2	47.102	17	2.785	47	7.700	17	0.046	47	0.128
18	2	56.932	18	2.949	48	7.864	18	0.049	48	0.131
19	3	6.762	19	3.113	49	8.027	19	0.052	49	0.134
20	3	16.591	20	3.277	50	8.191	20	0.055	50	0.137
21	3	26.421	21	3.440	51	8.355	21	0.057	51	0.139
22	3	36.250	22	3.604	52	8.519	22	0.060	52	0.142
23	3	46.080	23	3.768	53	8.683	23	0.063	53	0.145
24	3	55.909	24	3.932	54	8.847	24	0.066	54	0.147
			25	4.096	55	9.010	25	0.068	55	0.150
<b>ვარსკვლავიერი დღე-ღამე =</b>										
<b>=23<sup>h</sup>56<sup>m</sup>04<sup>s</sup>091=</b>										
<b>= 0.997270</b>										
<b>საშუალო</b>										
<b>დღე-ღამეს</b>										
<b>29</b>										
<b>4.751</b>										
<b>30</b>										
<b>4.915</b>										
<b>9.830</b>										

**რკალის გრაფუსებისა და მინუტების დროის საათებსა  
და წუთებში გადასაყვანი ცხრილი**

	0	1	2	3	4	5	6	7	8	9
0	h m	h m	h m	h m	h m	h m	h m	h m	h m	h m
0	0 0	0 4	0 8	0 12	0 16	0 20	0 24	0 28	0 32	0 36
10	0 40	0 44	0 48	0 52	0 56	1 0	1 4	1 8	1 12	1 16
20	1 20	1 24	1 28	1 32	1 36	1 40	1 44	1 48	1 52	1 56
30	2 0	2 4	2 8	2 12	2 16	2 20	2 24	2 28	2 32	2 36
40	2 40	2 44	2 48	2 52	2 56	3 0	3 4	3 8	3 12	3 16
50	3 20	3 24	3 28	3 32	3 36	3 40	3 44	3 48	3 52	3 56
60	4 0	4 4	4 8	4 12	4 16	4 20	4 24	4 28	4 32	4 36
70	4 40	4 44	4 48	4 52	4 56	5 0	5 4	5 8	5 12	5 16
80	5 20	5 24	5 28	5 32	5 36	5 40	5 44	5 48	5 52	5 56
90	6 0	6 4	6 8	6 12	6 16	6 20	6 24	6 28	6 32	6 36
100	6 40	6 44	6 48	6 52	6 56	7 0	7 4	7 8	7 12	7 16
110	7 20	7 24	7 28	7 32	7 36	7 40	7 44	7 48	7 52	7 56
120	8 0	8 4	8 8	8 12	8 16	8 20	8 24	8 28	8 32	8 36
130	8 40	8 44	8 48	8 52	8 56	9 0	9 4	9 8	9 12	9 16
140	9 20	9 24	9 28	9 32	9 36	9 40	9 44	9 48	9 52	9 56
150	10 0	10 4	10 8	10 12	10 16	10 20	10 24	10 28	10 32	10 36
160	10 40	10 44	10 48	10 52	10 56	11 0	11 4	11 8	11 12	11 16
170	11 20	11 24	11 28	11 32	11 36	11 40	11 44	11 48	11 52	11 56
180	12 0	12 4	12 8	12 12	12 16	12 20	12 24	12 28	12 32	12 36
190	12 40	12 44	12 48	12 52	12 56	13 0	13 4	13 8	13 12	13 16
200	13 20	13 24	13 28	13 32	13 36	13 40	13 44	13 48	13 52	13 56
210	14 0	14 4	14 8	14 12	14 16	14 20	14 24	14 28	14 32	14 36
220	14 40	14 44	14 48	14 52	14 56	15 0	15 4	15 8	15 12	15 16
230	15 20	15 24	15 28	15 32	15 36	15 40	15 44	15 48	15 52	15 56
240	16 0	16 4	16 8	16 12	16 16	16 20	16 24	16 28	16 32	16 36
250	16 40	16 44	16 48	16 52	16 56	17 0	17 4	17 8	17 12	17 16
260	17 20	17 24	17 28	17 32	17 36	17 40	17 44	17 48	17 52	17 56
270	18 0	18 4	18 8	18 12	18 16	18 20	18 24	18 28	18 32	18 36
280	18 40	18 44	18 48	18 52	18 56	19 0	19 4	19 8	19 12	19 16
290	19 20	19 24	19 28	19 32	19 36	19 40	19 44	19 48	19 52	19 56
300	20 0	20 4	20 8	20 12	20 16	20 20	20 24	20 28	20 32	20 36
310	20 40	20 44	20 48	20 52	20 56	21 0	21 4	21 8	21 12	21 16
320	21 20	21 24	21 28	21 32	21 36	21 40	21 44	21 48	21 52	21 56
330	22 0	22 4	22 8	22 12	22 16	22 20	22 24	22 28	22 32	22 36
340	22 40	22 44	22 48	22 52	22 56	23 0	23 4	23 8	23 12	23 16
350	23 20	23 24	23 28	23 32	23 36	23 40	23 44	23 48	23 52	23 56
360	24 0									

## დამატებანი

### სამყაროს შეცნობა ღრმაგლება

(ახალ აღმოჩენათა კვალდაკვალ)

#### შ. საბაზილი

##### 1. დედამიწის მახლობელი რამდენი კოსმოსური სხეული არსებობს სამყაროში?

მზის სისტემაში და, კერძოდ, დედამიწის მახლობელ კოსმოსურ სიგრცეშიც მრავალი ციური სხეული მოძრაობს, რომელთა მასების დიაპაზონი კოლოსალურია – გრამის მეტიარდედიდან (ეს უბრალოდ მტვრის ნაწილაკებია!) მრავალ მილიარდ ტრამდე და ბევრად მეტიც. დედამიწასთან ამგვარ სხეულთა შეჯახებებს მეტეორიტების ჩამოვარდნის სახელით ვიცნობთ. განსაკუთრებით დიდმასიანი მეტეორიტების ვარდნა წარმოუდგენელ საფრთხეს უქმნის ცალკეულ ადამიანებს თუ მთლიანად მიწიერ სიცოცხლეს – დედამიწაზე არსებული, ასეულ კმ-მდე ზომის არაერთი კრატერი ამგვარ შეჯახებათა ნარჩენია, რომელთაც შორეულ წარსულში ჩვენს პლანეტაზე უზარმაზარი ნგრევა და ცოცხალ არსებათა არაერთი სახეობის სრული გადაშენებაც კი გამოუწვევიათ. მსგავსი მოვლენები „ასტრონომიული კალენდრის“ ბევრ გამოცემაში გვაქვს გაშუქებული.

მეტეორულ კატასტროფათა ძირითადი წყარო მასიური ციური სხეულებია, რომლებიც ცნობილია **ასტეროიდების** სახელით. მზის სისტემაში ასტეროიდების ორი სისტემაა ცნობილი: ე.წ. **კოიპერის სარტყელი**, რომელიც პლანეტათა სისტემის შორეულ ნაწილშია განლაგებული, ნეპტუნის ორბიტის გარეთ, და მთავარი **ასტეროიდული სარტყელი**, რომელიც მარსისა და იუპიტერის ორბიტებს შორის მოძრავი მრავალი ათასი კოსმოსური სხეულისაგან შედგება. მზის სისტემის დიდი პლანეტების გრავიტაციული

ზემოქმედების შედეგად ასტეროიდების ორბიტები დრო-თა განმავლობაში დეფორმირდებიან და ბევრი მათგანი ამ სისტემის გარე ან შიდა არებაში ინაცვლებს, არაერთი ასტეროიდი კი დედამიწის ორბიტის მახლობლობაშიც მოძრაობს და ჩვენს პლანეტასთან უშუალო შეჯახებების საშიშროებას ქმნის. ბუნებრივია, უკანასკნელ ათწლეულებში ასტეროიდები ცდილობდნენ შეეფასებინათ ჩვენი პლანეტის ორბიტის მახლობლობაში მოძრავ ასტეროიდთა საერთო რაოდენობა, და მოსალოდნელ შეჯახებათა მომენტების წინასწარ დადგენით საშიში შეჯახების არიდების შესაძლებლობაც მიეცათ დედამიწის ცივილიზაციისათვის. ცხადია, ეს პრობლემა სულ უფრო და უფრო ღრმად შეისწავლება მეცნიერებისა და ტექნიკის უწყვეტი განვითარების კვალობაზე.

ერთ-ერთი ამგვარი კვლევის შესახებ მოკლე ინფორმაცია გამოქვეყნებულია ჟ. „Science“-ს 2024 წლის 12 აპრილის ნომერში (v.384, issue 6692), რომელიც ჟ. „Icarus“-ის ერთ-ერთ უახლეს პუბლიკაციას ეყრდნობა. იგი ნესვორნისა და მისი კოლეგების ნაშრომს ეხება დედამიწის მახლობელ კოსმოსურ სხეულთა შესახებ. ამაში კი, როგორც აღვნიშნეთ, იგულისხმებიან ის ციური სხეულები, რომელთა ორბიტები მზის ირგვლივ ჩვენი პლანეტის ორბიტის მახლობლობაში არიან განლაგებული: მის გარეთ, მის შიგნით ან ისე, რომ დედამიწის ორბიტის რომელიმე უბნის ახლოს გადიან. ასეთ სხეულთა ორბიტებზე მზის სისტემის შიდა პლანეტები აქტიურ გრავიტაციულ ზემოქმედებას ახდენენ, რამდენადმე ცვლიან მათ და ქმნიან დედამიწასთან ამ სხეულთა საშიშ სიახლოესებ გავლის და თვით მასთან შეჯახების შესაძლებლობას. ცხადია, ამგვარ ასტეროიდთა აღმოჩენა, მერე კი მათი ორბიტის ზუსტი მათემატიკური შესწავლა საშუალო საჭირო საჭმეა. ეს კი ძნელია, რადგან შედარებით მცირე, რამდენიმე კილომეტრი ზომის მქონე სხეულებს ძალიან მცირე კუთხური ზომები და ასევე მცირე ნათობა აქვთ, სანამ უშუალოდ დედამიწის სიახლოესებ არ გაივლიან (მკითხველმა იცის, რომ 2000 კმ-ის ზომის პლატონის აღმო-

ჩენაც კი მხოლოდ XX ს-ში მოხერხდა!). არაერთი შემთხვევა დაფიქსირდა, როცა ჩვენი პლანეტის ორბიტა გადაკვეთა რამდენიმე კმ ზომის ასტეროიდა, რომლებიც დედამიწასთან მათი ასე საშიში მოახლოების მომენტამდე ასტრონომთათვის საერთოდ უცნობნი იყვნენ!

მეცნიერთა ზემონახესენებმა ჯგუფმა შეკრიბა „დედამიწის მახლობელი“ ასტეროიდების შესახებ დღემდე ასტრონომთა მიერ მოპოვებული მონაცემების ნუსხები. ამას გარდა მან ჩატარა ამგვარ სხეულთა მოძრაობის ორბიტების მოდელირების სამუშაოები და დაკვირვებისა და თეორიის ერთგვარი სინთეზით სცადა დაედგინა, რამდენად სრულია ამჟამად არსებული სიები დედამიწის მახლობელი ობიექტებისა, აგრეთვე მიახლოებით გამოთვალა ყველა ამგვარი სხეულის, როგორც უკვე აღმოჩენილების, ისე ჯერ კიდევ აღმოუჩენელთა სრული რაოდენობა. ცხადია, არსებულ ასტეროიდთა რაც უფრო მეტი ნაწილი იქნებოდა დღეისათვის ცნობილი, მით უკეთესი. ოდონდ ეს მონაცემი ასტეროიდის ზომაზეა დამოკიდებული: რაც უფრო მცირება ეს უკანასკნელი, მით უფრო მცირება ასტეროიდის სიკაშკაშეც და ამიტომ ამგვარ ასტეროიდთა უფრო მეტი ნაწილი იქნება ჯერჯერობით აღმოუჩენელი.

მეცნიერთა მითითებულმა ჯგუფმა კვლევის შედეგად დაასკვნა, რომ არსებობს 1 კმ-ზე უფრო დიდი დიამეტრის მქონე სულ 900-მდე დედამიწის მახლობელი ობიექტი, ამასთან მათი 91% უკვე აღმოჩენილია. ცხადია, უფრო მცირე სხეულთა აღმოჩენილობის მაჩვენებელი გაცილებით ნაკლები იქნება. სამაგიეროდ, მეტი იქნება მათი რაოდენობა. ისინი შეიძლებოდა წარმოშობილიყვნენ დიდი ზომის ასტეროიდების მსხვრევით, მზის სისტემის დიდი პლანეტების მახლობლად გავლისას, ამ უკანასკნელთა მოქცევითი ზემოქმედების წყალობით. იგულისხმება გამხლები ძალა, რომელიც წარმოიშობა იმიტომ, რომ ყოველი ციური სხეული ნებისმიერი სხვა სხეულის უახლოეს მხარეს უფრო მეტი ძალით იზიდავს, ვიდრე მისსავე საპირისპირო ნაწილს.

ავტორებს გამოუთვლიათ, რომ ალბათობა დედამიწასთან უახლოესი ათასი წლის განმავლობაში 1 კმ-ზე უფრო დიდი ზომის მქონე რომელიმე ასტეროიდის შეჯახებისა დაახლოებით 4,5%-ს (ანუ 1/30-ს) შეადგენს. ასე, რომ ამგვარი კოსმოსური კატასტროფის შესაძლებლობა შედარებით ახლო მომავალში არც თუ ძალიან დიდი ყოფილა, თუმცადა ასევე არც უსასრულოდ მცირე.

## 2. მაგელანის მცირე ღრუბელი შეიძლება სინამდვილეში ორი გალაქტიკის წყვილი იყოს.

თანამედროვე ასტრონომიის მონაცემებით, სამყაროში მილიარდობით ვარსკვლავთა კრებული ანუ **გალაქტიკა** არსებობს. აქედან შეუიარაღებელი თვალით ხილვადია მხოლოდ ჩვენი გალაქტიკის ნაწილი, შედგენილი დედამიწასთან უახლოესი ან შედარებით შორი, მაგრამ ზეკაშკაშა 6 000-მდე ვარსკვლავისაგან, ასევე ამავე გალაქტიკის ყველაზე „მჭიდროდ დასახლებული“ გავატორული ზოლის ვარსკვლავთაგან შექმნილი ე.წ. „**ირმის ნახტომის**“ მანათობელი წრიული დისკო; ამას გარდა უბრალო თვალითაც შესამჩნევია ჩვენგან 3 მილიონი სინათლის წლის მანძილზე მყოფი ანდრომედეს გალაქტიკა და, ასევე სამხრეთის ცაზე განლაგებული ორი ჯუჯა გალაქტიკაც, რომლებსაც შესაბამისად მაგელანის დიდი ღრუბელი (LMC) და მაგელანის მცირე ღრუბელი (SMC) ჰქვიათ. ამ ორი უკანასკნელი ვარსკვლავთკრებულის არსებობა ეკროპელმა მეცნიერებმა შეიტყვეს მას მერქ, რაც ისინი მე-16 საუკუნეში პორტუგალიელი მეცნიერის ფერდინანდ მაგელანის მიერ მოწყობილი პირველი დედამიწისირგვლივი საზღვაო ექსპედიციის წევრებმა „აღმოაჩინეს“. მანამდე მათი არსებობა, რაც არავითარ საიდუმლოებას არ წარმოადგენდა დედამიწის სამხრეთ ნახევარსფეროს მცხოვრებთაოვის, არსებითად უცნობი რჩებოდა ჩრდილოეთი ნახევარსფეროს მკვიდრთათვის, სადაც ეს ობიექტები პორიზონტის ქვეშ არიან მოქცეულნი. ამჟამად დადგენილია, რომ ისინი დედამიწიდან დაახლოებით

200 000 სინათლის წლის მანძილზე იმყოფებიან, წარმოადგენენ ჯუჭა გალაქტიკებს, არიან ჩვენი გალაქტიკის თანამგზავრები და მოძრაობები მის ირგვლივ გალაქტიკის გრავიტაციული მიზიდულობის გავლენით. ზემოთქმულიდან გამომდინარე, მაგელანის დიდმა და მცირე ღრუბლებმა დიდი ადგილი დაიკავეს XX ს-ში აღმოცენებულ ე.წ. **გარეგალაქტიკურ** ასტრონომიაში.

მაგელანის დიდი ღრუბელი დისკოიანი გალაქტიკაა, ფორმით ჩვენი „ირმის ნახტომის“ მსგავსი, მცირე ღრუბელი კი არაწესიერი ფორმისა, მასით დიდი ღრუბლის მხოლოდ 2/3-ს შეადგენს და ბოლო წლებამდე ასტრონომთა უფრო მცირე ყურადღებას იმსახურებდა – იგი „ნაკლებად იყო მოდელირებული“. თუმცა ზოგიერთი ბოლო გამოყვლევა მიანიშნებდა, რომ იგი შეიძლება რამდენიმე ერთმანეთისგან იზოლირებული ნაწილისგან ყოფილიყო შედგენილი. დამაჯერებლად ამისი დადგენა არ ხერხდებოდა. ამისი ერთეული მიზეზი ისიცაა, რომ ამ გალაქტიკის შიდა სტრუქტურა ძლიერ შეცვლილი და დეფორმირებულია ჩვენი გალაქტიკისა და მაგელანის დიდი ღრუბლის ერთობლივი გრავიტაციული ზემოქმედების წყალობით.

საკითხის არსი შეიძლება გაარკვიოს 2023 წლის დამლევს „Astrophysical Journal“-ში დასაბეჭდად წარდგენილმა კლ. მურეისა (კოსმოსური ტელესკოპის სამეცნიერო ინსტიტუტი) და მისი კოლეგების სტატიამ, რომლის მიმოხილვა გამოაქვეყნა დ. კლერიმ ჟ. „Science“-ში (5 იანვარი 2024 წ, v.383, issue 6678, გვ.15). ამ მკვლევრებმა იპოვეს მინიშნება იმაზე, რომ აღნიშნულ გალაქტიკაში არსებობს ერთმანეთისაგან რამდენიმე ათასი სინათლის წლით დაშორებული ვარსკვლავთწარმოქმნის ორი არე, რომლებიც დედამიწაზე დამკვირვებლებისთვის ერთმანეთის გასწვრივ, ერთ სხივზე, ოდონდ სულ სხვადასხვანაირ მანძილებზე იმყოფებიან და მხოლოდ დაგეგმილების გამო გვეჩვენებიან ერთსა და იმავე ობიექტში მყოფებად. თუ ეს ფაქტი დადასტურდა, გამოვა, რომ არსებობს მაგელანის არა ორი ღრუბელი (გალაქტიკა), არამედ სამი. აქედან გამომდინარე, დღის წესრიგში დადგება ამ ობიექტების სახელთა გადარქმევაც.

ამ გადაწყვეტილების მიღება შეიძლება დააჩქაროს იმ ფაქტმაც, რომ ასტრონომთა ნაწილი ისედაც აპროტესტებდა ბოლო ხანებში ამ ობიექტების სახელის მაგელანთან დაკავშირებას. კერძოდ მიუთითებდნენ, რომ მაგელანი არ იყო ასტრონომი, მას არ აღმოუჩნია ეს ობიექტები, ამას გარდა, მუდამ გამოირჩეოდა არაადამიანური ქმედებებით, დახოცა ან დაატყვევა მისი მოგზაურობის დროს მონახულებულ ქვეყნებში ადგილობრივი მცხოვრები და ა.შ. ამ მოტივით ასტრონომ მიადე ლოს რეიესს ამჟერსტის კოლეჯიდან გასულ წელს ჭ. „ფიზიკში“ გამოუქვეყნებია წერილი მაგელანის დრუბლებისთვის სახელის შეცვლის მოთხოვნით, რასაც მაღლევ უკვე ბევრი მსარდამჭერიც მოუპოვებია.

მაგელანის მცირე ღრუბლის აგებულების დასაზუსტებლად მურეიმ და მისმა ჯგუფმა გადაწყვიტა ხელახლა შეესწავლა ეს ობიექტი თანამედროვეობის უახლესი და უდიდესი ინსტრუმენტებით. კერძოდ, მიმართეს ავსტრალიის ერთკილომეტრიან მასივ „მემკლეს“ (pastfinder) – რადიოტელესკოპს, რომელიც შედგება თითოეული 12 მ დიამეტრიანი 36 ცალი თევზისგან. მისი საშუალებით შეისწავლეს აღნიშვნული ღრუბელი ატომური წყალბადის აირის მიერ წარმოქმნილი რადიოგამოსხივების მეშვეობით. სახელდობრ, გრაფიკზე დაიტანეს მდებარეობანი და სიჩქარეები მცირე ღრუბლის შემადგენელი ათასობით ვარსკვლავისა, რომლებიც შედარებით „ახალი“ წარმოქმნილი არიან (სახელდობრ, მათი ასაკი ნაკლებია 10 მლნ წელზე), რისთვისაც გამოიყენეს ევროპის კოსმოსური სააგენტოს ორბიტული ლაბორატორია გაია (ამ უკანასკნელს ბოლო წლებში გაადაქტიკის მიღიარდზე მეტი ვარსკვლავის ამგვარი მონაცემები შეიცვლია).

ამ ორი სახის მონაცემთა ურთიერთშედარებით, გულისხმობდნენ რა, რომ ეს ახალგაზრდა ვარსკვლავები ჯერაც მათი წარმომშობი აირის ღრუბლებთან ერთად მოძრაობენ, მაგვლევრებმა გამოავლინეს ვარსკვლავთწარმოქმნის ორი არე (ღრუბელი), გამოთვალეს, მათი გამოსხივების რა ნაწილები

შთანთქმება მტვრის მიერ დედამიწამდე მათ მოღწევამდე, და დაადგინეს, რომ ერთ-ერთი ამ არეთაგანი უფრო შორსაა დედამიწიდან, ვიდრე მეორე. ოდონდ რამდენით, ამ გზით ამის ზუსტად დადგენა გაძნელებულია. ამჟამინდელი მონაცემებით, ამ ორ არეს შორის მანძილი 16 000 სინაოლის წელს აჭარბებს, რაც აღემატება დედამიწიდან ირმის ნახტომის ცენტრამდე მანძილის ნახევარს. მიმდინარეობს საკვლევი გალაქტიკის მარტივი კომპიუტერული მოდელის აგებაც.

მკვლევრები აანალიზებენ, ეს ორი უბანი (მაგელანის მცირე ლრუბლის ვარსკვლავთწარმომქნელი არები) ერთმანეთისაგან განცალკევებული ობიექტებია, რომლებიც ყოველთვის ურთიერთმახლობლობაში მოძრაობდნენ და ამჟამადაც ერთმანეთთან შეკავშირებული არიან გრავიტაციით, თუ ერთი მათგანი არის მეორის ნაწილი, გამოგლეჯილი მისგან სხვა რომელიმე გალაქტიკასთან, მაგალითად მაგელანის დიდ დრუბელთან ჩავლისას ამ უკანასკნელის გრავიტაციული მიზიდულობით. მურეის აზრით, ამ ობიექტების ერთმანეთთან სადარი მასები პირველ ვარიანტზე ანუ ორი დამოუკიდებელი სხეულის სისტემაზე მიუთითებს, დე ლოს რეისი კი, საპირისპიროდ, ფიქრობს, რომ დონეები, რომლებიც ვარსკვლავთა წინა თაობებმა გაამდიდრეს ეს ორი დრუბელი მძიმე ქიმიური ელემენტებით, დაახლოებით ერთნაირია, რითაც მიინიშნება, რომ ისინი მთლად ერთმანეთთან დაუკავშირებელი არ ყოფილან.

თუ მომავალი კვლევები დაადასტურებენ, რომ მაგელანის მცირე დრუბელი არსებითად ორი სხეულის სისტემაა, მათთვის ახალი სახელწოდებების მოფიქრება გარდაუვალი იქნება.

დე ლოს რეიესის აზრით მაგელანის სახელი ყველა შემთხვევაში უნდა გამოირიცხოს. ის საზს უსვამს, რომ, როგორც ირკვევა, დედამიწის სამსრეოი ნახევარსფეროს ხალხები მაგელანამდე ათასობით წლით ადრეც იცნობდნენ ამ ობიექტებს და, ამას გარდა, ისინი იტალიელი და არაბი მკვლევრების მიერაც არიან მოხსენიებული მაგელანის მოგზაურობამდე. მეორე მხრივ, მაგელანი უკვე ისედაც განდიდებულია

ასტრონომთა მიერ: არსებობს ნასას მისია „მაგელანი“ ვენე-რაზე, ორი ტყუპი ტელესკოპი მისივე სახელწოდებით ჩილეში და იქვეა გიგანტური მაგელანის მშენებარე ტელესკოპიც. დელოს რეიესი ხაზს უსვამს მაგელანის მიერ ჩადენილ „სიმხე-ცემბე“ მისი მოგზაურობისას არგენტინაში და უველგან, რის გამოც, მისი აზრით, იგი შეუსაბამოა ამგარი დიდებისთვის, მით უფრო 17 000-ზე მეტ სტატიაში მისი გვარის მოხსენიებისთვის. შეიძლება ფაქტობრივად ეს ზუსტია, მაგრამ უმანკო ისტორიული პერსონაჟები რომ საერთოდ არ არსებობენ, ეტუბა, ამ მკვლევრებს ავიწყდებათ.

დელოს რეიესს მოუმზადებია საერთაშორისო ასტრონომიული კავშირის ციური სხეულებისთვის სახელის მიმნიჭებელი კომისიისთვის შესაბამისი წარდგინება მის უახლოეს გენერალურ ასამბლეაზე გადასაცემად. დგება საკითხი – რა ეწოდოს ამ ცნობილ „დრუბლებს“. ზოგი ასტრონომი (მაგ. მურეი) არჩევს ადგილობრივ (სამხრეთულ) სახელს, დელოს რეიესი კი რამდენიმე სახელწოდებას ამჯობინებს არჩევანის თავისუფლებისთვის. თან, იმისათვის რომ აქამდე შექმნილ წერით დოკუმენტებში ხმარებული ამ გალაქტიკათა შემოკლებული აღნიშვნების ძველი ფორმები შენარჩუნდეს, ითხოვს SMC და LMC ჩანაწერთა უცვლელად დატოვებას, რღონდ იმ პირობით რომ ასო M, რომლითაც მაგელანის გვარი იწყება, ამიერიდან სხვა სიტყვას, თუნდაც საკითხის ფიზიკურ მნიშვნელობას უკავშირდებოდეს. მაგალითად, „milky“-ს („რძიანი“ გზა – ჩვენი გალაქტიკის თავდაპირველი ბერძნული სახელწოდება), ან „meridional“-ს, რაც აღნიშნულ ღრუბელთა „სამხრეთულობაზე“ მიმნიშნებელი იქნებოდა.

დაველოდოთ საერთაშორისო ასტრონომიული კავშირის გადაწყვეტილებას. მეცნიერებაში ღრმად გამჯდარ სახელთა ცვლა, საზოგადოდ, სწორი არაა. მთავარი კი ამ შემთხვევაში ის უფროა, სინამდვილეში რამდენი „დრუბელი“ არსებობს – ორი თუ სამი, რაც ჯერაც გასარკვევია. როგორც მახსოვეს, მსგავსი შემთხვევა ოდესაც უკავ იყო – გალაქტიკების ად-

გილობრივ ჯგუფში ასტრონომმა მაფეიმ იპოვა ორი გალაქტიკა, მერე კი აღმოჩნდა, რომ ერთ-ერთი მათგანი სინამდვილეში ერთმანეთის გასწვრივ (დედამიწიდან ორიენტირებისას) მდებარე ორი სხვადასხვა ობიექტის ერთობლიობა ყოფილა.

### **3. 1987 წლის ზეახლის ვარსკვლავიერი ნაშთი ბოლოს და ბოლოს ნაპოვნია**

ზეახალ ვარსკვლავთა აფეთქების მოვლენა ერთ-ერთი ყველაზე მძლავრი ფიზიკური პროცესია სამყაროში. იგი გამოიხატება ვარსკვლავის გამოსხივების სიმძლავრის მრავალ მილიონჯერ ზრდით დროის მცირე, 1 დღე-დამის რიგის მონაკვეთში, შემდეგ კი გაცილებით ხანგრძლივ, რამდენიმეთვიან პერიოდში იმავე გამოსხივების სიმძლავრის უკვე თითქმის უწყვეტი კლებით, საბოლოოდ კი ვარსკვლავის სრული გაუჩინარებით. ანთების მაქსიმუმში ვარსკვლავის ნათობა – მის მიერ 1 წელში ყველა მიმართულებით გამოსხივებული ელექტრომაგნიტური გამოსხივების ენერგიის სრული რაოდენობა – შეიძლება რამდენიმე მილიარდჯერ აღემატებოდეს მზის ნათობას.

ზეახალი ვარსკვლავის ფანომენი დაკავშირებულია კარდინალურ გარდატეხასთან ვარსკვლავის ეფოლუციაში და მისი ფიზიკური მდგრამარების ძირფესვიანად შეცვლასთან. სახელდობრ, ამ მოვლენამდე ვარსკვლავი „ვითარდება“ შედარებით მშვიდად – იგი ანათებს მის დრმა, ცხელ ფენებში მიმდინარე თერმობირთვული რეაქციების წყალობით, რომელთა მსვლელობაში მცირე ატომური წონის მქონე ქიმიური ელემენტების ატომთა სინთეზის გზით წარმოიქმნება უფრო მაღალი ატომური წონის მქონე ქიმიური ელემენტების ატომები, ამასთან ნივთიერების მასის გარკვეული (1%-მდე) ნაწილი გარდაიქმნება ენერგიად: წარმოიშობა ძლიერ მაღალენერგიული ანუ უაღრესად მოკლებალლოვანი ელექტრომაგნიტური გამოსხივების ფოტონები, რომლებიც თანდათანობით ვრცელდებიან ვარსკვლავის ზედაპირისკენ, საბოლოოდ გამოდიან გარე სივრცეში და განაპირობებენ ამ ციური სხეულის ნათობასაც და მის

მექანიკურ წონასწორობასაც. თერმობირთვული „საწვავის“, სახელდობრ მსუბუქი ელემენტების ამოწურვის მოახლოების-თანავე კი ვარსკვლავის ფიზიკური მდგომარეობა მკვეთრი არამდგრადობის სტადიაში გადადის.

სახელდობრ, „წყნარი“ ევოლუციის“ პერიოდში ვარსკვლავის ყოველ კონკრეტულ უბანში ხორციელდება წონასწორობა ვარსკვლავის ცენტრიდან მისი ზედაპირისკენ მიმართულ აირის წნევის ძალასა და ვარსკვლავის ცენტრისაკენ მიმართულ, მნათობის მთლიანი მასის გრავიტაციული მიზიდულობის შემჯუმშავ ძალას შორის, რაც განაპირობებს ვარსკვლავის გეომეტრიული ზომის სტაბილურობას მიღიონობით წლის განმავლობაში. ბირთვული რეაქციების ინტენსიურობის მკვეთრი კლებისას კი, ვარსკვლავის წიაღის იმ არეში, სადაც მაღალი ტემპერატურის გამო ეს რეაქციები მიმდინარეობს (პირობითად ამ არეს ვუწოდოთ ვარსკვლავის ბირთვი), გამოსხივების წარმოქმნის მკვეთრად შემცირებით გამოწვეული აირის ასევე მკვეთრად შემცირებული წნევა ვეღარ აწონასწორებს გრავიტაციული კუმშვის ძალას. ამ პერიოდის დასაწყისში ვარსკვლავის წიაღის სიმკვრივე მიღიონჯერ აღემატება წყლის სიმკვრივეს, მისი ტემპერატურა კი მიღიარდობით გრადუსია. ამ პირობებში პროტონებთან ელექტრონების მიახლოებისას წარმოიქმნება ნულოვანი უძრაობის მასის მქონე ელემენტარულ ნაწილაკთა – ნეიტრონებისა და ანტინეიტრონების წყვილები, რომლებიც, გარემოსთან თითქმის უსასრულოდ მცირე ურთიერთქმედების უნარის წყალობით, დაუბრკოლებლივ გამოდიან ვარსკვლავიდან (ფოტონთა გამოსვლას ვარსკვლავიდან, მათი შთანთქმა-გადასხივების უწყვეტად მიმდინარე აურაცხელ პროცესთა წყალობით, განუზომლად ბევრი დრო სჭირდება!) და გამოაქვთ სითბური ენერგიის უზარმაზარი რაოდენობა. ამიტომ ამ არეში სწრაფად ვარდება ტემპერატურა და შედეგად იწყება ბირთვის თავისუფალი ვარდნა (ე.წ. გრავიტაციული კოლაფსი) ვარსკვლავის ცენტრისკენ. მაგრამ ეს პროცესი ნივთიერების სიმკვრივის, შედეგად კი აგრეთვე

მისი ტემპერატურის მყისიერ ზრდას იწვევს ასეულობით მილიარდ გრადუსამდე (მატერიის სიმკვრივე ამ დროს უკვე ატომბირთვის სიმკვრივეს უახლოვდება – 1 სტ<sup>3</sup> მოცულობა მილიარდამდე ტონა მატერიას შეიცავს). ასეთ ექსტრემალურ პირობებში იწყება ჟანგბადისა და ნახშირბადის ბირთვული წვის კატასტროფული ფეთქებადი რეაქცია და ვარსკვლავის სიღრმეში წარმოიქმნება მძლავრი დარტყმითი ტალღა, რომელიც მიმართება რადიალურად გარე სივრცის მიმართულებით, იტაცებს ვარსკვლავის ზედა ფენების ნივთიერებას და მოფანტაგს მას კოსმოსის სივრცეში გრანდიოზული (10 000 კმ/წმ და მეტი) სიჩქარით. ასე წარმოიქმნება მნათობის მძლავრი გაფართოებადი გარსი, რომლის გამოსხივების ძალა, მისი გეომეტრიული ზომებისა და გამომსხივარი ფართის ზესწრაფი გადიდების გამო, კატასტროფული სიჩქარით იზრდება და ეს კველაფერი ზეახალი ვარსკვლავის აფეთქების მოვლენად წარმოგვიდგება. ამ პროცესის კულმინაციურ მომენტში აფეთქებული ვარსკვლავის სიკაშკაშე თითქმის უტოლდება მისი შემცველი გალაქტიკის მრავალი მილიარდი ვარსკვლავის ერთობლივ ნათობას.

რაც შეეხება ვარსკვლავის „გადარჩენილი“ ბირთვის ნივთიერებას, იგი, როგორც ითქვა, ელვისებურად იკუმშება ცენტრისკენ. ამ პროცესს კი ორი სხვადასხვანაირი დასასრული შეიძლება პქონდეს მასში მონაწილე ნივთიერების მასის სიდიდეზე დამოკიდებულებით.

1. თუ ვარსკვლავის კატასტროფულად კუმშვადი გადარჩენილი ნაწილის მასა ნაკლები იქნება 2,5 მზის მასაზე, მძიმე ელექტრების ბირთვები დაიშლებიან პროტონებად და ნეიტრონებად, შემდეგ კი დადებითი პროტონებისა და უარყოფითი ელექტრონების შეერთებით წარმოიქმნება ელექტრულად ნეიტრალური მძიმე ნაწილაკები – ნეიტრონები და ასევე ნეიტრალური მსუბუქი ნაწილაკები – ნეიტრინოები (ეს უკანასკნელი, როგორც ზემოთაც ითქვა, დაუბრკოლებლად გამოდიან გარე სივრცეში). ასე მოხდება ნივთიერების თითქმის სრული

ნეიტრონიზაცია და იქმნება ნეიტრონული სითხე, რომლის წნევა აჩერებს ვარსკვლავის ნაშთის კოლაფს. ასე წარმოიქმნება ახალი მყარი, სტაბილური ფორმა ვარსკვლავისა, გ.წ. ნეიტრონული გარსკვლავი. ამ უკანასკნელს გაცილებით ჩქარი ბრუნვა ახასიათებს, ვიდრე ნორმალურ ვარსკვლავებს. შესაძარებელად, თუ მზის სრულ ღერძულ ბრუნს 25 დღე-დამე სჭირდება, თეთრი ჯუჯა ვარსკვლავებისას კი რამდენიმე საათი, ნეიტრონული ვარსკვლავების ბრუნვის პერიოდი სულ რამდენიმე წამია, ზოგ შემთხვევაში კი (გ.წ. მილიწამიანი პულსარები) წამის მეათასედები. მკითხველს შევახსენებ, რომ ციური სხეულის კუმშვისას მისი ღერძული ბრუნვის აჩქარებას განაპირობებს ე.წ. ბრუნვითი მომენტის (მასის, რადიუსისა და ბრუნვის ხაზოვანი სიჩქარის ნამრავლის) მუდმივობის ფიზიკური კანონი.

2. თუ ვარსკვლავის ბირთვის მასა მეტი იქნება 2,5 მზის მასაზე, მაშინ მის კუმშვას ვეღარავითარი ძალა ვეღარ შეაჩერებს, ამიტომ ვარსკვლავის რადიუსი შემოუსაზღვრელად შემცირდება. კერძოდ, იგი რომელიდაც მომენტში ნაკლები გახდება ვარსკვლავის გრავიტაციულ  $r_g$  რადიუსზეც (M-მასიანი სხეულის გრავიტაციული რადიუსის სიდიდე გამოისახება ფორმულით  $r_g = 2GM/c^2$ , სადაც G გრავიტაციული მუდმივაა, ა კი სინათლის სიჩქარე). ამ სიდიდის განმარტებით,  $r_g$ -რადიუსიანი სფეროს ნებისმიერ წერტილში ნებისმიერ ფიზიკურ ნაწილაკს, ამ სფეროდან გარე სივრცეში გამოსაღწევად, ვაჟუშმში სინათლის სიჩქარეზე ანუ 300 000 კმ/წმ-ზე მეტი სიჩქარის შეძენა დასჭირდება, რაც ფარდობითობის თეორიის თანახმად განუხორციელებადია. მაშასაძამე, ამ მეორე შემთხვევაში, კოლაფსის ბოლო სტადიაში ვარსკვლავის დარჩენილი ბირთვი უხილავი გახდება ამ ბირთვის გარეთ დარჩენილ სამყაროს ნებისმიერ არეში მყოფი დამკვირვებლისათვის, ანუ ვარსკვლავი გ.წ. შავ ხერელად გადაიქცევა.

ზეახალი ვარსკვლავის აფეთქება ძალიან იშვიათი მოვლენაა სამყაროში. ყველაზე დიდ გალაქტიკებშიც კი, რომლებიც

ასეულობით მიღიარდ ვარსკვლავს შეიცავენ, ზეახლის სახით საშუალოდ რამდენიმე ასეულ წელიწადში მხოლოდ ერთი ვარსკვლავი ინთება. ჩვენს გალაქტიკაში ზეახალი ვარსკვლავის ერთ-ერთი ანთება დააფიქსირეს ჩინელმა ასტრონომებმა 1054 წელს. მისი ნაშთია საყოველთაოდ ცნობილი პ.წ. კობორჩხალასძური ნისლეული, რომელიც დღესაც განაგრძობს გაფართოებას 1000 კმ/წ-ზე მეტი სიჩქარით. ანთების მაქსიმუმში ეს ობიექტი იმდენად კაშკაშა იყო, რომ შეუიარაღებელი თვალითაც კი ჩანდა დღისით მთელი კვირის განმავლობაში! ასევე ზეახალი ვარსკვლავის აღმოჩენის პატივი წილად ხვდათ გამოჩენილ ასტრონომებს ტიხო ბრაჟეს (1572 წ.) და იოჰან კაპლერს (1604 წ.). ისიც მნიშვნელოვანია, რომ გაკაშკაშებულ მდგრმარეობაში ზეახალი ვარსკვლავი ცოტა ხანს რჩება, ამიტომ ანთების მაქსიმუმში მისი დაფიქსირებაც ადვილი არაა. შედარებით ეშირია ზეახალი ვარსკვლავის გაფართოებადი ნაშთების პოვნა ანთების მაქსიმუმის მომდევნო პერიოდში, რადგან ისინი ხილვადნი რჩებიან მათ სრულ გაფანტვამდე, ანუ ათასობით წლის განმავლობაში. XX ს-ის შუა ხანებში ოპტიკური ასტრონომია ჩვენს გალაქტიკაში აფეთქებულ 10-მდე ზეახალი ვარსკვლავის ნაშთს იცნობდა, თუმცა შემდგომში წარმოშობილი რადიოსტრონომიის მეთოდებით მაღლევე 10-ჯერ მეტი ზეახლის ანთების ნაშთი გამოუვლენიათ. რამდენიმე ასეული ნაშთი ზეახლის ანთებისა იპოვეს სხვა გალაქტიკურ ბშიც. მკვეთრად გაიზრდება ამგვარ ობიექტთა აღმოჩენების რიცხვი წინა და მიმდინარე საუკუნეში უმდლავრესი თანამედროვე კოსმოსური ტელესკოპების მწყობრში შესვლის გამო.

ახლა კი შევეხოთ 1987 წლის 23 თებერვალს მომხდარ ექსტრაორდინალურ აღმოჩენას, როცა დედამიწის ცივილიზაციაში შეამჩნია შეუიარაღებელი თვალით ხილვადი პირველი ზეახალი ვარსკვლავის ანთება კეპლერის ეპოქის შემდგომი მთელი 4 საუკუნის განმავლობაში. იგი აფეთქდა მაგელანის დიდ ლრუბელში, დედამიწიდან 168 000 სინათლის წლის მანძილზე, რაც იმასაც ნიშნავს, რომ ეს აფეთქება სინამდვილეში

1680 საუკუნის წინათ ანუ ჩვენი ცივილიზაციის გარიურაუზე მოხდა და მხოლოდ XX ს-შიდა მოაღწია ამ მოვლენის მაუწყებელმა აფეთქების სინათლემ დედამიწამდე! ეს იყო ყოვლად უნიკალური მოვლენა, რომლის დროსაც უშუალოდ დაფიქსირდა ვარსკვლავის ნეიტრინული ანთებაც, რომელიც თან სდევს ხოლმე მსგავს აფეთქებებს, მაგრამ ძალიან ხანმოკლეა და ამასთან სპეციალურ დაკირვებებს საჭიროებს მის დასაფიქსირებლად. ბუნებრივია, აფეთქების ნაშთი აუცილებლად დაემორჩილებოდა გრავიტაციული კოლაფსის მოვლენას და საბოლოოდ ვარსკვლავის ბირთვი რომელიმე ზემკვრივ ობიექტად უნდა გადაქცეულიყო, სახელდობრ კი ნეიტრონულ ვარსკვლავად. ნეიტრინული ანთების ხანგრძლივობა (10 წმ) სწორედ ამაზე მეტყველებდა და გამორიცხავდა შავი ხერელის წარმოქმნას: ოეორეტიკოსთა აზრით ამ უკანასკნელ შემთხვევაში ნეიტრინული ანთება გაცილებით ნაკლებ ხანს უნდა გაგრძელებულიყო.

ბუნებრივია, 1987A ზეახალი, რომელიც ვარსკვლავ Sandula-lake-69 202-ის – 15-20 მზის მასის მქონე ცისფერი ზეგიგანტის აფეთქების მაუწყებელი იყო, უმაღ იქცა ასტრონომიული კვლევების ერთ-ერთ ყველაზე პოპულარულ ობიექტად. მრავალრიცხოვან დაკვირვებათა გარდა სრულდებოდა ოეორიული კვლევებიც. სახელდობრ, ცდილობდნენ გაერკვიათ, რა ბედი ეწია აღნიშნული ვარსკვლავის ბირთვს – რომელი სახის ზემკვრივ ობიექტად კოლაფსირდა იგი. ასევე იყო მცდელობები აფეთქების შედეგად წარმოქმნილი გაფართოებადი დრუბლის შესწავლისა, ოღონდ ნაკლებ წარმატებული.

პროგრესი დადგა ბოლო 5 წელიწადში: 2019 წელს მაცურამ კოლეგებთან ერთად გამოაქვეყნა ამ ზეახლის ნაშთის ფოტოები, გადაღებული ატაკამას დიდი მილიმეტრული მასივით (რადიოობსერვატორია ჩილეში). მათ მიუთითეს გამბარ ნივთიერებაზე ზეახლის მიერ გამონატყორცნი მატერიის (ნისლეულის) ცენტრში, ოღონდ ვერ უპასუხეს, რა იყო ამ წარმონაქმნის გამათბობელი წყარო: რადიოაქტიური ქიმიური

ელემენტების დაშლით წარმოქმნილი გამოსხივება, თუ ახალ-ჩამოყალიბებული ნეიტრონული ვარსკვლავის მიერ გამოსხივებული მაღალენერგიიანი ფოტონები. 2021 წელს გრეპომ და მის თანამშრომელთა ჯგუფმა იპოვეს ნასას ორი რენტგენული ტელესკოპის დაკვირვებათა ძველი ჩანაწერები, რომლებიც აფიქსირებდა მაგნიტურად ჩაჭერილი ნაწილაკების მიერ გამოსხივებულ რენტგენულ ტალღებს ამ ზეახლის ნაშთის ცენტრში, მაგრამ ვერ გაარკვიეს, ეს ნაწილაკები ნეიტრონული ვარსკვლავის მაგნიტური ველის ძალწირებმა ჩაიჭირეს თუ დარტყმითი ტალღის მიერ წარმოქმნილი ველის ძალწირებმა. ანუ ვერ გაიგივდა ზეახლის აფეთქების ნაშთის ცენტრალური ობიექტის ასტრონომიული ბუნება.

მნიშვნელოვანი შედეგი კი მიიღო სტოკოლმის უნივერსიტეტის მკალევარმა კ. ფრანსენმა და მისმა ჯგუფმა, რომლებმაც გამოიყენეს რამდენიმე წლის წინ გაშვებული ჯეიმს ვების კოსმოსური ტელესკოპი, კერძოდ – მისი დიდი შეღწევის (ზემკრთალ ობიექტთა ფიქსირების) უნარი და ისიც, რომ მას შეეძლო სპექტრად ანუ სხვადასხვა ტალღის სიგრძეების მქონე კომპონენტთა ერთობლიობად დაუშალა კოსმოსურ ობიექტთა გამოსხივება.

იდეა ემყარებოდა შემდეგს: თუ ზეახლის ცენტრში არსებობს ვარსკვლავების აფეთქების შედეგად წარმოქმნილი ნეიტრონული ვარსკვლავი, მის მაღალენერგიულ ფოტონებს შეუძლიათ ზეახლის ნაშთში არსებული ქიმიური ელემენტების ატომების იონიზება – ელექტრონის მოწყვეტა ატომბიროვისაგან და ელიფსური ორბიტიდან მისი გადაყვანა ბირთვის ირგვლივ განლაგებულ რომელიმე თავისუფალ (ჰიპერბოლურ) ორბიტაზე. ასე წარმოქმნილ თავისუფალ ელექტრონს შემდეგ შეუძლია თავისთვავადი ანუ სპონტანური პროცესების შედეგად მიმდევრობით გადავიდეს ზევიან ქვევით, ჯერ რომელიმე დისკრეტულ, მაღალნომრიან ორბიტაზე (ე.ი. ხელახლა შეუერთდეს ატომს), შემდეგ კი ასევე მიმდევრობით – კიდევ უფრო ქვემოთ განლაგებულ ელიფსურ (დისკრეტულ) ორბიტა-

ბზე. ყოველი *k*-ურიდან ყოველ *i*-ურ დონეზე გადასვლისას კი ატომი გამოასხივებს  $n_{ik}$  სისშირის (ე.ი.  $I_{ik}$  ტალღის სიგრძის) მქონე ფოტონს. ეს დისკრეტული გადასვლებია, ამიტომ მათ შედეგად საექტრში წარმოიშობა ზუსტად განსაზღვრულ ტალღის სიგრძეთა მქონე გამოსხივების სპექტრული ხაზები. ყოველ ქიმიურ ელემენტს კი თავისი კარგად ცნობილი სპექტრული ხაზების სისტემები ახასიათებს. გამოსხივების ხაზების წარმოქმნის ამგვარ სქემას **ფლუორესცენცია** ეწოდება და იგი დამახასიათებელია, მაგალითად, ცხელი ვარსკვლავების ირგვლივ არსებული აირის დრუბლების გამოსხივებისათვის. ფრანსონის ჯგუფმა სწორედ ამგვარი ემისიური ხაზების მოძებნა დაიწყო განსახილველი ზეახლის ნაშთის სპექტრში იმ იმედით, რომ ასე მიაკვლევდა მათ წარმომშობ მაღალენერგიულ წყაროსაც – ზეახლი ვარსკვლავის კომპაქტურ ნაშთს.

ნასას კოსმოსურმა ტელესკოპმა ასეთი ემისიური ხაზები ვერ იპოვა განსახილავი ზეახლის ნაშთის სპექტრის ოპტიკურ უბანში. ასევე ნასას კუთვნილმა სპიტცერის ტელესკოპმა კი, თუმცა შეამჩნია ამგვარი ხაზები ამ ობიექტის სპექტრის ინფრაწითელ უბანში, ვერ დაადგინა, რა იყო მათი წარმოქმნის მიზეზი. ამიტომ მკვლევრებმა მიმართეს უფრო მაღალი კვლევითი შესაძლებლობების მქონე ჯეიმზ ვების კოსმოსურ ტელესკოპს და დაკირვებების დაწყებიდან უკვე რამდენიმე დღეში, 2022 წლის 16 ივნისს, მიიღეს 1987A ზეახლის ნაშთის მკვეთრი გამოსახულება ამ ტელესკოპის 6,5 მ-იანი სარკიო, და ასევე მისი სპექტრიც ინფრაწითელი უბნების ჩათვლით. მასში მრავალი ემისიური ხაზი აღმოჩნდა. სახელდობრ, მიაკვლიეს გოგირდისა და არგონის ფლუორესცენცირებადი სპექტრული გამოსხივების საქმაოდ ინტენსიურ ხაზებს. გუნდმა გაზომა ამ ხაზების გამომსხივარი აირის სიჩქარეც და დაასკვნა, რომ ეს ნივთიერება ზეახალი ვარსკვლავის საწყისი ბირთვის გარე მხარიდანაა გამოტყორცნილი, სადაც მოსალოდნელიც იყო არგონისა და გოგირდის არსებობა. ფლუორესცენციის მექანიზმს კი (ატომთა იონიზაციას და შემდგომ კასკადურ გადასვლებს

ქვედა დონეებისკენ) სჭირდება მაღალენერგიული ფოტონები, ხოლო ამ ფოტონთა ერთადერთი წყარო ამ შემთხვევაში შეიძლება მხოლოდ ახლომახლო მყოფი ნეიტრონული ვარსკვლავი იყოს.

თვით ნეიტრონული ვარსკვლავის ზუსტი აღნაგობა, ფრანსენის აზრით, ჯერ ცალსახად არაა გარკვეული. იგი შეიძლება მაღალენერგიულ რენტგენულ ფოტონებს ასხივებდეს რამდენიმე მილიონ კელვინამდე გაცხელებული **ზედაპირიდან**, ან კოლაფსირებად ბირთვს შეეძლო შეექმნა **სწრაფადმდრუნავი პულსარი**, რომლის ძლიერ მაგნიტურ ველს შესწევს უნარი ააგზნოს ნაწილაკები და გამოასხივებინოს მათ ულტრაინისფერი სინათლე, ამ უკანასკნელის ფოტონებს კი საკმაოდ დიდი ენერგია აქვთ და შეუძლიათ ჩართონ ფლუორესცენციის მექანიზმი ატომთა იონიზაციის გზით.

თუ ახალთახალი პულსარი 1987A ზეახლის ნაშთში მართლაც არსებობს, მის დაწვრილებით შესწავლას მკვლევრები შეძლებენ მხოლოდ ზეახალი ვარსკვლავის მტვრიანი ნაშთის გაფანტვის შემდეგ.

ამ გამოკვლევის აღმწერი სტატია: „1987A ზეახლის ნაშთის ემისიური ხაზები, წარმოქმნილი კომპაქტური ობიექტიდან მომდინარე მაიონიზებელი გამოსხივებით“ გამოქვეყნებულია ჟ. „Science“-ის 2024 წლის 23 თებერვლის გამოშვების 898-902 გვ-ებზე. ამ სტატიის მოკლე მიმოხილვა და მისი სხვადასხვა ასპექტების შეფასება კი მოცემულია უურნალის ამავე გამოშვების 808 გვ-ზე დ. კლერის გამოხმაურებაში.

გამოკვლევის ავტორები მიუთითებენ, რომ 1987A ზეახალი ვარსკვლავის ანთებას ახლდა ნეიტრინოს გამოსხივების აფეთქება, რაც ნიშნავს, რომ ამ ანთების შედეგად უნდა წარმოშობილიყო ზემკვრივი ობიექტი – ნეიტრონული ვარსკვლავი ან შავი ხვრელი. მათი არსებობა პირდაპირი დაკვირვებებით აქამდე არ დადასტურებულა. ხაზოვან გამოსხივებას, რაც აფტორებმა აღმოაჩინეს, ცისფერი წანაცვლება ახლავს ზეახალი ვარსკვლავის აიროვანი ნაშთისადმი, რაც მეტყველებს ამ

ნაშთის ჩვენთან მოახლოებაზე ცენტრალურ ობიექტთან მიმართებაში. თვით ამ ზეახლის ნაშთი რამდენიმე დისკრეტულ კომპონენტს შეიცავს. შუა ამონაფრქვევი ა.წ. ეკვატორულ რგოლთან და გარემომცველ ვარსკვლავთშორის გარემოსთან ურთიერთქმედებს. ეს ეკვატორული რგოლი აფეთქებაზე 20 000 წლით ადრე უნდა წარმოშობილიყო. შიდა ამონაფრქვევი ქმნის დაახლოებით 3000 კმ/წმ სიჩქარით წანაცვლებულ ფართო ემისიურ საზებს, რომლებსაც წარმოშობს ტიტანის (<sup>44</sup>Ti) ბირთვის რადიოაქტიური დაშლა.

1987A არის ყველაზე ბოლო აფეთქება ვარსკვლავისა ზეახლის სახით გაღაებიგათა მოელ ადგილობრივ ჯგუფში, ამიტომ მისი ნაშთის ეს კვლევა მნიშვნელოვანია ვარსკვლავთა ფიზიკის სფეროში.

## ზოგიერთი ზემასიური შაპი ხპრელის შესახებ

### ბ.ჯავახიშვილი

სამყაროს უთვალავ, უცნაურ და შთამბეჭდავ წარმონაქმნებს შორის ერთ-ერთი ყველაზე საინტერესონი უდავოდ შავი ხვრელებია. წინა საუკუნეში ისინი მხოლოდ პიპოთეტურ ობიექტებად მოიაზრებოდა, ამჟამად კი მრავალდიაპაზონიანი (ყველატალდოვანი) ასტრონომიის დასმარებით ჩვენ უკვე გვაქვს საშუალება „დავინახოთ“ და კიდევაც გავზომოთ ისინი. აქ სიტყვა „დანახვა“, ბუნებრივია, არ გულისხმობს შავი ხვრელის მართლა თვალით შემჩნევას. იგულისხმება მხოლოდ შავი ხვრელის გავლენის დაფიქსირება მის ირგვლივ არსებულ გარემოზე, რაც ასევე ფრიად შთამბეჭდავია.

თავისთავად შავი ხვრელის ცნება მოიაზრებს იმგარ ობიექტებს, რომლებსაც ისე ძლიერი გრავიტაციული ველი აქვთ, რომ მას ელექტრომაგნიტური გამოსხივებაც კი ვერ „გაუსხლტება“ გარე სივრცეში. ოღონდ სხვა სხეულებზე მისი უჩვეულო ზემოქმედებანი მხოლოდ მასთან უშუალო სიახლოეს ვლინდება, უფრო დაშორებულ სხეულებზე კი იგი ისეთ-სავე გავლენას ახდენს, როგორც მისი ტოლი მასის მქონე ნებისმიერი სხეული. მაგალითის სახით, თუ მზის ადგილას იქნებოდა იმავე მასის შავი ხვრელი, მაშინ დედამიწა მისგან სინათლეს გერ მიიღებდა, მაგრამ ზუსტად ისეთივე ელიფსურ ორბიტაზე იმოძრავებდა, როგორზეც ამჟამად მოძრაობს. ასე რომ, ისეთი გამოოქმედი, თითქოს შავი ხვრელი „ყლაპავს“ გარსკვლავებს, შთანთქაეს გარემოს და ა.შ., ერთგარად მისი თვისებების უარყოფითი პიპერბოლიზებაა.

ამ ციირე მიმოხილვაში მსურს მკითხველს მივაწოდო ინფორმაცია რამდენიმე შავი ხვრელის შესახებ, რომლებსაც ფრიად შთამბეჭდავი მახასიათებლები აქვთ.

## 1. Ton 618

მკითხველს უდავოდ დააინტერესებს, რატომ პქვია ამ ობიექტს ასეთი უცნაური სახელი.

Ton 618 „ტონანტზინტლა 618“ – ის აბრევიატურაა. იგი აღმოაჩინეს მექსიკაში არსებულ ტონანტზინტლას ობსერვატორიაში მექსიკელმა ასტრონომებმა ბრაულიო ირიარტემ და ენრიკე შავირამ. ისინი ჩვენი გალაქტიკის („ირმის ნახტომის“) მავატორული სიბრტყიდან დაშორებულ არეებში ეძებდნენ მკრთალ ცისფერ ვარსკვლავებს (ძირითადად ასეთებია ე.წ. „თეთრი ჯუჯები“). 70 სმ-იანი შმიდტის ტელესკოპით გადაღებულ ფირფიტებზე მათ დააფიქსირეს 15.9 ვარსკვლავიერი სიდიდის ობიექტი, რომელსაც კატალოგში 618-ე ნომერი აქვს. ცნობის-მოყვარეობათვის მოგვავს ამ კატალოგის სათანადო უბანი.

617	24 . 1	30 58	149	85	15.2	m. v.	18
618	26 . 0	31 46	133	85	15.4	d. v.	18
619	27 . 7	25 37	219	86	15.8	d. v.	18
620	28 . 3	30 48	143	86	15.2	v.	18
621	31 . 4	29 26	150	87	16.0	m. v.	18

ტონანტზინტლას კატალოგის ის ნაწილი, სადაც  
პირველად აღიწერა Ton 618.

ჩნდება აზრი, რომ მსგავსი ობიექტები სამყაროში სხვაც ბევრი უნდა იყოს, თუმცა მათი აღმოჩენა გვიჭირს – მათ დანახვაში გალაქტიკის ეკვატორის სიბრტყეში განლაგებული მიმართულებებით ხელს გვიშლის დიდი რაოდენობის მტვერი და ვარსკვლავთშორისი ნივთიერება, რომელიც უმეტესად შთანთქავს მოკლეტალლოფანი დიაპაზონის ცისფერი უბნის გამოსხივებას.

1970 წელს იტალიაში, სახელდობრ ბოლონიაში ჩატარებული რადიო დაკვირვებებით დამტკიცდა, რომ Ton 618 არის კვაზარი (ასე უწოდეს ასტრონომებმა 1963 წელს აღმოჩენილ, სამყაროს უშორეს, მეტაგალაქტიკის გაფართოების შედეგად ყველაზე სწრაფად მოძრავ და ყველაზე დიდი ნათობის წერტილოვან რადიოწყაროებს). 1976 წელს მარი-ჰელენ ულრიხმა

მაკლონალდის ობსერვატორიაში მიიღო Ton 618-ის ოპტიკური სპექტრები, რომლებიც აჩვენებდნენ კვაზარისოფურის დამახასიათებელ ემისიის (გამოსხივების) ხაზებს. სპექტრში ხაზების მაღალი წითელი წანაცვლების გამო ულრიხმა დაასკვნა, რომ Ton 618 იყო ძალიან შორეული და, შესაბამისად, ცნობილთა შორის ერთ-ერთი ყველაზე კაშკაშა კვაზარი.

როგორც კვაზარი, Ton 618 ითვლება აქტიურ გალაქტიკურ ბირთვად, რომლის ცენტრშიც განლაგებულია ზემასიური შავი სვრელი. ეს უკანასკნელი ანათებს ე.წ. აკრეციულ დისკოზე ცხელი აირისა და სხვა სახის მატერიის დაცემის შედეგად.  $Z = 2.219$  წითელი წანაცვლების გათვალისწინებით გამოთვლილი მანძილი Ton 618-მდე დაახლოებით 10.8 მილიარდი სინათლის წელია. ცენტრალური კვაზარის ბრწყინვალების გამო, მისი შემცველი („მასპინძელი“) გალაქტიკა დედამიწიდან არ მოჩანს. ობიექტის აბსოლუტური სიღრღე -30,7-ია. მისი სიკაშკაშე მზისას აღემატება 140 ტრილიონჯერ, რაც მას ერთ-ერთ ყველაზე კაშკაშა ობიექტად ხდის სამყაროს შესწავლილ ნაწილში.

სხვა კვაზარების მსგავსად, Ton 618 ასხივებს ემისიურ სპექტრს, რომელიც წარმოიშობა უფრო მკვრივი აირებიდან, ვიდრე აკრეციული დისკო. ხაზების სიგანის მიხედვით შეიძლება გამოვითვალით თვითონ კვაზარის გამოსხივება. შემერმა და თანაავტორებმა გამოიყენეს რამდენჯერმე იონიზებული აზოტის NV და ნახშირბადის CIV ემისიის ხაზები, რათა გამოეთვალით წყალბადის ბალმერის სერიის მეორე, ე.წ. Hβ სპექტრული ხაზის სიგანე მინიმუმ 29 კვაზარისა და მათ შორის Ton 618-ისთვის. მათ გაზომებს ნივთიერების აკრეციის (ამ შავ სვრელებზე გარდნის) სიჩქარე და შესაბამისად ცენტრალური შავი სვრელების მასაც.

აღმოჩნდა, რომ Ton 618-ს გააჩნია უჩვეულოდ ფართო ემისიური გამოსხივების ხაზები, რაც, ფოტონთა სიხშირის ცვლილების დოპლერისეული ეფექტის შესაბამისად, აირის ძალიან სწრაფ მოძრაობაზე მიუთითებს; Ton 618-ის ხაზების ნახევარსიგანე დანაკვირვები 29 კვაზარიდან ყველაზე დიდი იყო და აკრეციის სიჩქარე 10 500 კმ/წმ-ს უტოლდებოდა. ასეთი

სიჩქარეების არსებობა თავისთავად ძალიან ძლიერ გრავიტაციაზე მიუთითებს. ამ მონაცემებზე დაყრდნობით Ton 618 – ის ცენტრალური შავი ხვრელის მასა შეფასდა 66 მილიარდ მზის მასად. ეს ითვლება ერთ-ერთ უდიდეს მასად, რომელიც ოდესებჲ დაფიქსირებულა ასეთი ობიექტისთვის; უნდა აღინიშნოს, რომ ირმის ნახტომის გალაპერიკის ვარსკვლავების ჯამური მასა 64 მილიარდი მზის მასის ტოლია. Ton 618 15300-ჯერ უფრო მასიურია, ვიდრე Sagittarius A, ანუ ირმის ნახტომის ცენტრალური შავი ხვრელი. ასეთი მაღალი მასით Ton 618 შეიძლება მიგაპუთვნოთ ზემასიურ შავ ხვრელებს. ამ მასის შავი ხვრელის შვარცშილდის რადიუსი 1300 ა.ე.-ია (დაახლოებით 195 მილიარდი კმ ან 0,02 სინათლის წელი), რაც 40-ჯერ აღემატება მანძილს ნებტუნიდან მზემდე, და მისი მოვლენათა პორიზონტი საკმარისად დიდია იმისათვის, რომ მასში მოთავსდეს 30-ზე მეტი მზის სისტემა.

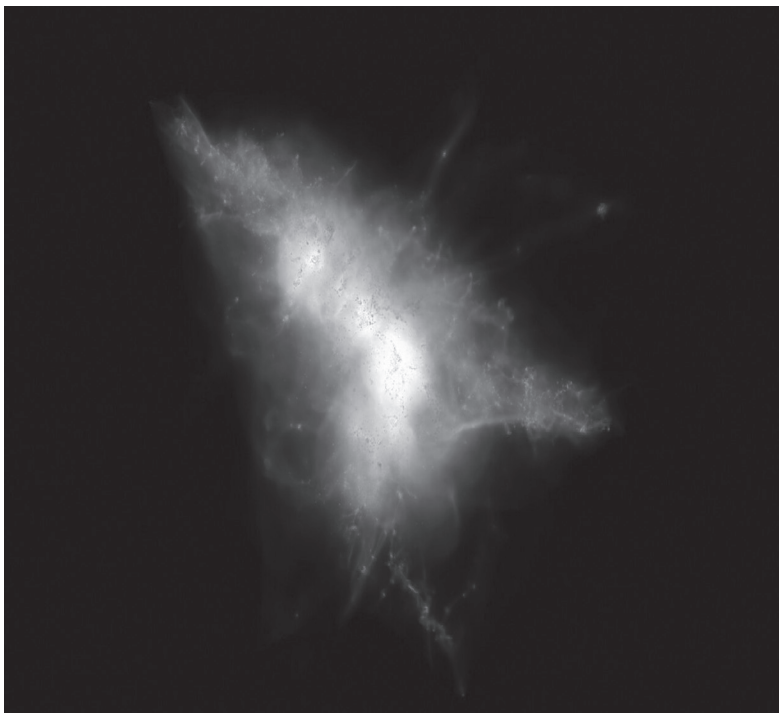
აქვე უნდა აღინიშნოს, რომ 2019 წელს გე-მ და მისმა კოლეგებმა ჩაატარეს უახლესი გაზომვები. მათ გამოიყენეს C IV ემისის ხაზი შრემერის მიერ გამოყენებული Hβ-ს ალტერნატივად და მიიღეს გარემომცველი აირის უფრო დაბალი ფარდობითი სიჩქარე  $2761 \pm 423$  კმ /წმ, რაც მიუთითებს ცენტრალური შავი ხვრელისთვის უფრო დაბალ მასაზე (40,7 მილიარდი მზის მასა, რაც შესაბამისად უფრო მცირეა, ვიდრე წინა შეფასება).

Ton 618-ის კიდევ ერთი დირსუებანიშნაობაა ლაიმან-ალფას (წყალბადის პირველი სერიის პირველი ხაზის) გარსი, რომელსაც სხვადასხვა ლიტერატურაში ხანდახან ლაიმან-ალფა ბუშტსაც უწოდებენ ხოლმე.

მისი დაკვირვება ხდება 1980 წლიდან. ზოგადად, დედამიწის მიმართ უძრავი წყაროს ლაიმან-ალფა გამოსხივებას დედამიწის ატმოსფერო შთანთქავს, მაგრამ რადგან Ton 618-ს გააჩნია დიდი წითელი წანაცვლება, ამიტომ Ton 618-ის ლაიმან-ალფა მოჩანს ხილულ უბანში. ამ ობიექტზე დაკვირვება ზოგადად საშუალებას გვაძლევს ასეთი ნისლეულები უფრო კარგად შევისწავლოთ.

2021 წელს ატაკამას დიდი მილიმეტრიანი რადიოტელესკოპით (ALMA) ჩატარებულმა დაკვირვებებმა გამოავლინა რომ Ton 618-ის ლაიმან-ალფა გამოსხივების წყაროს წარმოადგენს კვაზარისა და მისი მასპინძელი გალაქტიკის გარშემო მყოფი აირის უზარმაზარი ღრუბელი. ეს ღრუბელი წარმოადგენს აქამდე ცნობილ ერთ-ერთ ყველაზე დიდ ლაიმან-ალფა ბუშტს (LAB).

LAB არის ისეთი ნისლეულების უზარმაზარი გროვა, რომლებიც ასევე ლაიმან-ალფას გამომსხივებლებად კლასიფიცირდება. ამ უზარმაზარ, გალაქტიკის ზომის ნისლეულებს მინიმუმ ასობით ათასი სინაოლის წლის ტოლი დიამეტრი აქვთ.



ლაიმან-ალფას გარსი Ton 618-ის ირგვლივ  
(კომპიუტერული სიმულაცია)

Ton 618-ის შემთხვევაში, ობიექტის გარშემო არსებულ ნისლეულს მინიმუმ 100 კილოპარსეკის (330 ათასი სინათლის წელი) ტოლი დიამეტრი აქვს, რაც დაახლოებით სამჯერ აღმატება ირმის ნახტომის დიამეტრს. ნისლეული შედგება ორი ნაწილისაგან: შიდა მოლეკულური მდგრებლი, რომელიც გამოფდინება გარეთ, და ვრცელი და ცივი მოლეკულური აირი მის გალაქტიკათშორის გარემოში; თოთოვეულს აქვს 50 მილიარდი M<sub>⊙</sub> მასა (ამ სიმბოლოთი მზის მასას აღნიშნავენ). Ton 618-ის ექსტრემალური გამოსხივება აღაგზნებს წყალბადის ატომებს ნისლეულში და ქვედა დონეებზე მათი შემდგომი თავისუფალი გადასვლებით იწვევს კაშკაშა ნათებას ლაიმან-ალფა ხაზში. ვინაიდან კვაზარები და LAB-ები თანამედროვე გალაქტიკების წინამორბედებად ითვლება, Ton 618-ზე და მის უზარმაზარ LAB-ზე დაკვირვებამ დაგვანახა პროცესები, რომლებიც განაპირობებს მასიური გალაქტიკების ეფოლუციას, კერძოდ, აღწერს მათ იონიზაციას და ადრეულ განვითარებას.

## 2. ფენიქსის გროვა და ფენიქსის ზემასიური შავი ხვრელი.

ფენიქსის გროვა (SPT-CL J2344-4243) არის მასიური, აბელის I ტიპის გალაქტიკების გროვა, რომელიც მდებარეობს ფენიქსის თანავარსკვლავედში, ცის სამხრეთ ნახევარსფეროზე. იგი აღმოჩინეს 2010 წელს ცის სამხრეთ ნახევარსფეროს 2500 კვადრატულ გრადუსიანი მიმოხილვის დროს სიუნიავ-ზელდოვიზის ეფექტის გამოყენებით სამხრეთ პოლუსის ტელესკოპის თანამშრომლებმა. ეს არის ერთ-ერთი ყველაზე მასიური გალაქტიკათა გროვა, რომლის მასაც დაახლოებით  $2 \times 10^{15}$  M<sub>⊙</sub>-ის ტოლია. ამავე დროს იგი წარმოადგენს ყველაზე ძლიერ რენტგენული გამოსხივების წეაროს სხვა გალაქტიკურ გროვებთან შედარებით. ფენიქსის გალაქტიკური გროვა დედამიწიდან დაშორებულია 8,61 მილიარდი სინათლის წლით (2,64 გიგაპარსეკი). გროვაში იდენტიფიცირებულია 42 წევრი გალაქტიკა, რომლებიც შევანილია SIMBAD-ის ასტრონომიულ

მონაცემთა ბაზაში, თუმცა გალაქტიკათა რეალური რიცხვი შეიძლება იყოს 1000-მდე.

მისი ექსტრემალური თვისებების გამო, ფენიქსის გროვა ფართოდ იქნა შესწავლილი და ითვლება მისი ტიპის ობიექტების ერთ-ერთ ყველაზე მნიშვნელოვან კლასად.

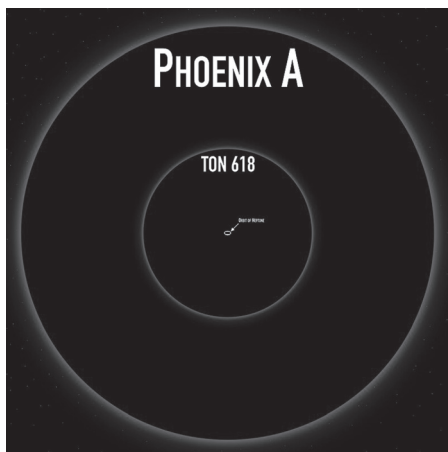
ამ გროვის ცენტრალური ელიფსური cD გალაქტიკა, Phoenix A (RBS 2043, 2MASX J23444387-4243124), „მასპინძლობს“ გალაქტიკის აქტიურ ბირთვს, რომელიც აღწერილია, როგორც კვაზარი. ასევე იგი ამჟღავნებს კ.წ. სეიფერტის 2 ტიპის გალაქტიკების თვისებებს. ცენტრში განლაგებულია ზემასიური შავი ხვრელი. გალაქტიკას აქვს გაურკვეველი მორფოლოგია. გალაქტიკის ხილული კუთხეური დიამეტრი 16.2 კუთხეური სეკუნდია, რაც გალაქტიკების გროვამდე მანძილის გათვალისწინებით შეესაბამება 206,1 კილოპარსეგს (672 200 სინათლის წელი). ეს მას დედამიწიდან აღმოჩენილ ერთ-ერთ უდიდეს ცნობილ გალაქტიკად ხდის.

დაკვირვება სხვადასხვა ტელესკოპით, მათ შორის GALEX და Herschel კოსმოსური ტელესკოპებით, აჩვენებს, რომ ეს გალაქტიკა უაღრესად დიდი სიჩქარით გარდაქმნის ვარსკვლავთ-შორის ნივთიერებას ვარსკვლავებად (წელიწადში 740 M $\odot$ ). ეს მნიშვნელოვნად აღმატება NGC 1275 A-ს, ანუ პერსევსის გროვის ცენტრალური გალაქტიკისას, სადაც ვარსკვლავები წარმოიქმნება დაახლოებით 20-ჯერ დაბალი ტემპით, ან ვარსკვლავების წარმოქმნის წლიურ სიჩქარეს ირმის ნახტომში (1 M $\odot$  წელიწადში).

ფენიქსის გროვის ცენტრალური შავი ხვრელის გრავიტაცია არის მექანიზმი, რომელიც ამოძრავებს Phoenix A-ს სეიფერტის ბირთვს, და ასევე წარმოქმნის რელატივისტურ შვერილებს – კ.წ. ჯეტებს. მ. Brockamp) და მისმა კოდეგზებმა გამოიყენეს ცენტრალური გალაქტიკის ვარსკვლავიერი კონცენტრაციისა და ადიაბატური პროცესის მოდელირება ისეთი პირობების მოსაძებნად, რომელიც ხელს შეუწყობდა მისი ცენტრალური შავი ხვრელის ზრდას. მათ სურდათ შეუ-

ქმნათ კოლორიმეტრიული ინსტრუმენტი შავი ხერელის მასის გასაზომად. ჯგუფმა გამოიტანა ენერგიის კონვერტაციის პარამეტრი, იგი დაუკავშირა ცხელი კლასტერული აირის ქცევას, გალაქტიკის აქტიურ ბირთვთან უკუკავშირის პარამეტრს და გალაქტიკის დინამიკასა და კონცენტრაციის პროფილებს, რათა შეექმნა ეფექტური მოდელები იმისა, თუ როგორ იზრდებოდა ცენტრალური შავი ხერელი წარსულში. Phoenix A-ს შემთხვევაში ნაჩვენებია, რომ მას აქვს ბევრად უფრო ექსტრემალური მახასიათებლები და ადიაბატური მოდელები უაბლოვდებიან თეორიულ შეზღუდვებს.

როგორც სტატიაში ვარაუდობენ, ეს მოდელები მიუთითებენ ცენტრალურ შავ ხერელზე, რომლის სავარაუდო მასა 100 მილიარდ M<sub>⊙</sub>-ს შეადგენს, ანდა შესაძლოა აღემატებოდეს ამ მასას, თუმცა თავად შავი ხერელის მასა ჯერ კიდევ არ არის გაზომილი სხვა კინეტიკური მეთოდებით (მაგ. მოძრავი ნაკადების სიჩქარეები). ასეთი მაღალი მასა ხდის მას პოტენციურად ერთ-ერთ ყველაზე მასიურ შავ ხერელად, რომელიც ცნობილია დაკვირვებად სამყაროში.



ფენიქსის შავი ხერელის და Ton 618-ის შეარცშილდის დიამეტრების შედარება ნებტუნის ორბიტასთან.

ჩამოვთვალოთ ფენიქსის შავი ხერელის ყველაზე მნიშვნელოვანი პარამეტრები:

ა. მისი მასა 24 000-ჯერ აღემატება ირმის ნახტომის ცენტრში არსებული შავი ხერელის (მშვილდოსანი A-ს) მასას.

ბ. მისი მასა ორჯერ აღემატება სამკუთხედის გალაქტიკისას, მისი ბეჭდი მატერიის ჰალოს ჩათვლით.

გ. ვარაუდობენ, რომ ეს არის არამბრუნავი შავი ხერელი, უზარმაზარი მოვლენათა პორიზონტით, რომლის შვარცშილდის დიამეტრიც 590,5 მილიარდი კილომეტრით (3900 ასტრონომიული ერთული; 0,062 სინათლის წელი), 100-ჯერ აღემატება მანძილს მზიდან პლუტონამდე.

დ. მის შვარცშილდის სფეროს გააჩნია გარშემოწერილობა, რომლის შემოვლასაც სინათლე 71 დღესა და 14 საათს მოანდომებს.

ე. ასეთი დიდი მასის გამო, იგი შეიძლება გადაიყვანონ ზემასიური შავი ხერელების კატეგორიაში. ეს შავი ხერელები შესაძლოა შეიქმნა პირველადი შავი ხერელების შეერთების საფუძველზე და მათი მასა შეიძლება აღემატებოდეს 100 მილიარდ M<sub>⊕</sub>-ს,

### 3. OJ 287

OJ 287 არის BL Lac ობიექტი დედამიწიდან 4 მილიარდი სინათლის წლის მანძილზე. მისი კვაზი-პერიოდული ოპტიკური ანთებები ფიქსირდება ჯერ კიდევ 1887 წლის ასტროფოტოგრაფიულ ფირფიტებზე. რადიოდიაპაზონში იგი პირველად იპოვეს ოპაიოს ცის მიმოხილვებში. ეს არის ზემასიური შავი ხერელების ორმაგი სისტემა (SMBHB). ანთებების სიკაშკაშე აჭარბებს მზის სიკაშკაშეს ტრილიონზეულ, რაც აღემატება მთელი ირმის ნახტომის გალაქტიკის ნათებას.

SMBHB-ის ანთებებისა და თვისებების ცვალებადობის გათვალისწინებით, შემოთავაზებულია მრავალი მოდელი ამ ცვალებადობის ასახელებიდა. პირველი მოდელის შეფასებით, პირველადი შავი ხერელის მასა დაახლოებით 18.35 მილიარდი

მზის მასაა, ხოლო მეორადი შავი ხვრელისა დაახლოებით 150 მილიონი მზის მასა. უახლესი მოდელების შეფასებით, ცენტრალური ზემასიური შავი ხვრელის მასა 100 მილიონი მზის მასაა, ბევრად ნაკლები, ვიდრე წინა შეფასებებით მიღებული. ამ უკანასკნელი შეფასების მიხედვით მისი შვარცშილდის რადიუსი 1,97 ა.გ.-ია.

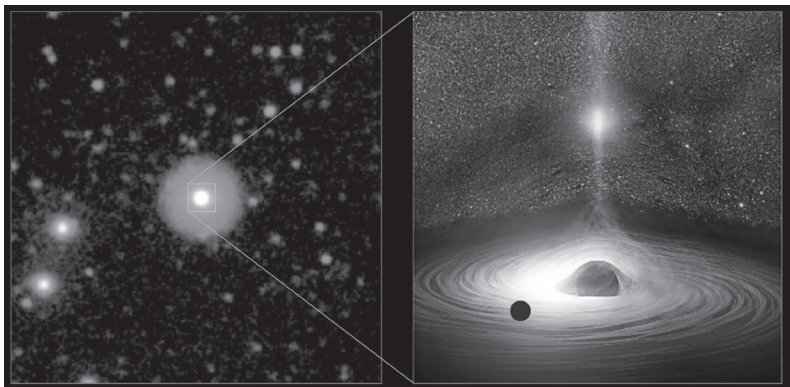
ოპტიკური სინათლის მრუდი გვიჩვენებს, რომ OJ 287-ს აქვს 11-12 წლიანი ცვალებადობის პერიოდი, რომელსაც ახასიათებს ვიწრო ორმაგი პიკი მაქსიმალური სიკაშვაშისა. ამ სახის ცვალებადობა გულისხმობს, რომ ეს არის ორმაგი ზემასიური შავი ხვრელი. ითვლება, რომ სიკაშვაშის ორმაგი პიკი გამოწვეულია პატარა შავი ხვრელის მიერ უფრო დიდი შავი ხვრელის აკრეციული დისკოს გადაპყვითოთ უოველ 12 წელიწადში ორჯერ.

პატარა შავი ხვრელი ბრუნავს უფრო დიდის გარშემო: მისი დანაკვირვები ორბიტული პერიოდი დაახლოებით 12 წელია, გამოთვლილი ექსცენტრისიტეტი კი დაახლოებით 0,65. მაქსიმალური სიკაშვაშე მიიღება, როდესაც მცირე კომპონენტი მოძრაობს ზემასიური კომპონენტის აკრეციის დისკოზე პერიასტრში. მისი ორბიტის პერიასტრის და პორასტრის (გრავიტაციული ცენტრიდან ორბიტის უახლოების და უშორესი წერტილების) დაშორება ზემასიური კომპონენტიდან შესაბამისად არის დაახლოებით 3250 და 17500 ა. გ. ბოლო მოდელებში, მეორადი ზემასიური შავი ხვრელის მასა დაახლოებით 125 მილიონი მზის მასის ტოლია, თუმცა ამაზე ჯერჯერობით კიდევ მიდის მსჯელობა.

კველა ცნობილი ამოფრქვევის რეპროდუცირების მიზნით, პირველადი შავი ხვრელის ბრუნვა ე.წ. კერის შავი ხვრელის-თვის (ეს სივრცის მეტრიკის ერთ-ერთი სახე) ფასდება მაქსიმალური დასაშვები ბრუნვის 38%-ად.

თანამგზავრის ორბიტა არამდგრადია გრავიტაციული გამოსხივების გამო – მისი გეომეტრიული ზომები თანდათან მცირდება და მოსალოდნელია, რომ თანამგზავრი შეერწყას

ცენტრალურ შავ ხვრელს დაახლოებით 10 000 წლის განმავლობაში.



ორმაგი ზემასიური შავი ხვრელი OJ 287

### მცირე დამატება.

ამ სერიოზული ინფორმაციის შემდეგ მკითხველს განტვირთვისათვის ვთავაზობ ფანტაზიისა თუ ჰიპოთეზის სახით ერთ მოსაზრებას.

მეცნიერთა ნაწილის აზრით ზემასიური შავი ხვრელები ასეთებად იქცევიან რომელიმე შესაძლო პროცესით წარმოქმნილი, გაცილებით მცირემასიანი შავი ხვრელების მიერ გარე ობიექტთა თანდათანობითი შთანთქმით, ოდონდ ეს ჯერ დამტკიცებული არაა.

ვიგულისხმოთ, რომ ისინი „სამყაროს“ დასაწყისიდან არსებული, საკუთარი დრო-სივრცის მქონე ობიექტებია.

ბუშტოვანი სამყაროს მოდელით, ჩვენი სამყაროს (მეტაგალაქტიკის) გარეთ არსებობენ სხვა სამყაროები (შავი ხვრელები), რომლებთანაც ჩვენს სამყაროს არა აქვს კონტაქტი და რომელთა სიმრავლე ქმნის ზესამყაროს.

გიდებთ ანალოგიას: ზემასიური შავი ხერელები ელემენტებია ჩვენი სამყაროსი, ეს უკანასკნელი კი – ელემენტი ზესამყაროსი.

ზემასიური შავი ხერელები იზრდებიან (ზომით და მასით) გარეობიერების შთანთქმით. ჩვენი სამყაროც იზრდება (ზომით) აჩქარებულად. მიზეზი უცნობია.

თუ შავი ხერელებიც აჩქარებულად ფართოვდებიან (ეს ასეა თუ არა, არ ვიცით), ამისი მიზეზი გარე (ანუ ჩვენი სამყაროს) მასათა გრავიტაცია იქნება.

თუ ჩვენი სამყარო ზესამყაროს ელემენტია, მაშინ მისი გაფართოების მიზეზიც (ანუ ე.წ. უარყოფითი ენერგიია) ზესამყაროს ნივთიერებისაგან მიზიდულობა უნდა იყოს.

ბოლოს, ანალოგიით, ჩვენს სამყაროსაც უნდა ჰქონდეს აკრეციული დისკო და ე.წ. ჯეტი (თუ სამყაროთა შორისი სივრცე ვაკუუმი არაა), რომელიც ჩვენთვის ხილვადი იქნება.

### რედაქტორის მინაწერი

სტატიის ეს „მცირე დამატება“ მკითხველისთვის ბოლომდე გასაგები და მთლად დამაჯერებელიც ვერ იქნება, რადგან მისი ზოგადი წანამძღვრები (აჩქარებული გაფართოება შავ ხერელებში, ზესამყაროს არსებობა და სხვ.) დღეისათვის დაუმტკიცებელია, თანაც ზოგი ცნება წერილში განუმარტავადა ნახსენები. არც ზემასიურობის რაიმე გამყოფი რაოდენობრივი საზღვარია მონიშნული. მაგრამ თვით თემაა ურთულესი და მისი დალაშქვრა ჯერ ბოლო სტადიისგან ძალზე შორსაა. ამიტომ არაერთ სხვა ასტროფიზიკოსსაც გამოუთქვამს შავ ხერელებზე საუბრისას სრულიად პარადოქსული აზრები. ვფიქრობ, რომ ამ მოსაზრებათა გაცნობამ შესაძლოა მკითხველში სამყაროს აგებულებაზე ფიქრი გააძლიეროს.

## პროცესორ ვიქტორ ჯაფიაშვილის ცხოვრება და მოღვაწეობა

### ო. პგარაცხელია

ცნობილი ქართველი ასტრონომი ვიქტორ პეტრეს ძე ჯაფიაშვილი დაიბადა 1924 წლის 20 ივნისს, ბორჯომის რაიონის სოფელ დაბაში. ამ სოფელშივე გაატარა ბაგშეობა და ახალგაზრდობა. ჩვიდმეტი წლის ასაკში წარჩინებით დაამთავრა სოფელ წალენჯიხის საშუალო სკოლა და 1941 წელს ჩაირიცხა ამიერკავკასიის რკინიგზის ინსტიტუტში ხიდებისა და გვირაბების მშენებელი ინჟინრის სპეციალობაზე. ამავე წელს, დიდი სამამულო ომის დაწყებისთანავე, გამოცხადდა ბორჯომის სამხედრო კომისარიატში და მოითხოვა სამხედრო სამსახურში გაწვევა, როგორც მოხალისე პირმა, რადგანაც ამ მომენტში არ იყო სამხედრო ვალდებული და, გარდა ამისა, მას ინსტიტუტიდანაც პქონდა ჯავშანი. არმიაში ყოფნისას იგი მონაწილეობდა კავკასიის დაცვის ბრძოლებში. 1942 წელს ქალაქ ტუაფსესთან დაიჭრა და მარჯვენა ხელზე დაკარგა დიდი და საწვენებელი თითები, რის გამოც დემობილიზებულ იქნა სამხედრო სამსახურიდან და დაბრუნდა სახლში. იგი მუშაობას იწყებს მათემატიკის მასწავლებლად თავის, უკვე მშობლიურ, წალენჯის სკოლაში.

სამამულო ომის დამთავრების შემდეგ, 1945 წელსვე, იგი ჩაირიცხა თბილისის სახელმწიფო უნივერსიტეტში ფიზიკა-მათემატიკის ფაკულტეტზე. ასტრონომიულ საგნებს მას პროფესორები ევგენი ხარაძე და ნინო მაღნარაძე ასწავლიდნენ. მათთან ურთიერთობაში გადაწყდა, რომ მომავალში იგი ფრთვესითალი ასტრონომი გამხდარიყო.

უნივერსიტეტის დამთავრების შემდეგ ე. ხარაძე მას სთავაზობს სამუშაოდ ჩავიდეს აბასთუმნის ობსერვატორიაში.

იგი თანხმდება მიწვევას და 1948 წელს ქიმიკოს მეუღლესა და ორ მცირეწლოვან შვილთან ერთად (თემური და მანანა) ჩადის ობსერვატორიაში, სადაც იგი მუშაობდა სიცოცხლის ბოლომდე. შემდგომში ხშირად აღუნიშნავს, რომ თავისი ამ ნაბიჯით ძალიან კმაყოფილი იყო და ყველა შემთხვევაში იმავეს გაიმეორებდა. რაც შეეხება ბატონი ვიქტორის მეუღლე ქალბატონ დარეჯან ჭიპაშვილს, იგი სათავეში ჩაუდგა და ასევე სიცოცხლის ბოლომდე ხელმძღვანელობდა ობსერვატორიაში სამეცნიერო ფოტოგრაფიისა და ელექტროგრაფიის განყოფილებას.

ვიქტორ ჯაფიაშვილი იყო პირველი, ვინც მოვარის ზედაპირის პოლარიზაციული მეთოდით შესწავლისას გამოიყენა ელექტროფოტომეტრი. საერთოდ კი მოვარის პოლარიზაციული მეთოდით შესწავლა ფრანგმა მეცნიერმა ფრანსუა არაგომ დაიწყო. 1811 წელს მან თვითნაკეთი „პოლაროსკოპის“ გამოყენებით ჩაატარა მოვარეზე დაკვირვებები. მის შემდეგ მოვარის პოლარიზაციას სწავლობდნენ სეკი, როსი, ლანდერერი, ბარაბაშოვი და სხვები. ისინი იყენებდნენ კორნის ან სავარის ფოტოპოლარიმეტრებს, რაც იმ ხანებში არსებობდა. უნდა აღინიშნოს, რომ სავარის ელექტროფოტომეტრის გამოყენებით ფრანგმა მეცნიერმა ბ. ლიომ (მედონის ობსერვატორია) 1919 წელს მოვარის დეტალების პოლარიზაციის მნიშვნელობები გაზომა საკმაოდ ზუსტად. მანვე პირველმა აღმოაჩინა მოვარის ზედაპირზე უარყოფითი პოლარიზაციის არსებობა, რაც იმას ნიშნავს, რომ მოვარის ზედაპირის ფაზის კუთხის  $\pm 20$  გრადუსიან შუალედში პოლარიზაციის მნიშვნელობა უარყოფითი ხდება – პოლარიზაციის სიბრტყე შემობრუნდება 90 გრადუსით თავისი პირვანდელი მდებარეობის მიმართ (ამას უწოდებენ უარყოფით პოლარიზაციას, შემობრუნების მომენტის შესაბამის ფაზის კუთხებს ანუ  $+20$  გრადუსსა და  $-20$  გრადუსს კი – ინვერსიის კუთხებს).

1949 წელს ბ. ლიომ და ა. დოლფუსი აკვირდებოდნენ მოვარის დეტალებს „პოლაროსკოპით“ აღჭურვილი ვიზუალური

პოლარიმეტრის მეშვეობით. როგორც აღნიშნული ფაქტებიდან ჩანს, ამ პერიოდამდე არსებული ყველა დაკვირვებითი მასალა მიღებული იყო ვიზუალური ან ფოტოგრაფიული მეთოდებით და ისინი ხასიათდებოდნენ დაბალი სიზუსტით ელექტროფოტომეტრიულ მეთოდთან შედარებით. აუცილებელი იყო ამ ახალ მეთოდზე გადასვლა.

აბასთუმნის ობსერვატორიაში წლების განმავლობაში 33 სმ-იან პონომარიოვის რეფლექტორზე დაკვირვებებისათვის გამოიყენებოდა ცნობილი მეცნიერების ა. მარკოვისა და ნ. კულიკოვის მიერ შემუშავებული და აგებული პირველი ელექტროფოტომეტრი. ვ. ჯაფიაშვილმა ეს ხელსაწყო გადააკეთა ელექტროპოლარიმეტრად, რისთვისაც მასში ანალიზატორად გამოიყენა პეპატიტური პოლაროდი. ამ ხელსაწყოთი 1950-53 წწ.-ში იგი აკვირდებოდა და იკვლევდა მოვარის 41 მორფოლოგიურად და ფიზიკურად განსხვავებულ დეტალს. მიღებული გაზომვებიდან პოლარიზაციის ხარისხისა და კუთხის გამოსათვლელად გამოყენებული იქნა ვ. ჩერენკოვის ცნობილი ფორმულები და ამ მიზნით ინტენსივობებს იღებდნენ პოლაროდის სამ მდგრმარეობაში.

მიღებული მასალის საფუძველზე 1955 წელს ვ. ჯაფიაშვილმა დაიცვა საკანდიდატო დისერტაცია თემაზე: „მოვარის ზედაპირის პოლარიზაციული თვისებების გამოკვლევა ელექტროპოლარიმეტრიული მეთოდით“. 1957 წელს ამავე თემაზე გამოაქვეყნა მონოგრაფია, სადაც შეიტანა მოვარის 41 დეტალის ფაზურ-პოლარიზაციული მრუდები, ცხადია, უფრო მაღალი სიზუსტისა, წინა მკალევრებთან შედარებით. მიღებული შედეგებიდან ყველაზე მნიშვნელოვანი იყო ის, რომ დადასტურდა ბ. ლიოს მიერ შენიშნული ეფექტი, რომ ფაზის კუთხის  $\pm 20$  გრადუსიან შუალედში პოლარიზაცია ხდება უარყოფითი. თუმცა უარყოფითი პოლარიზაციის საკითხს ვ. ჯაფიაშვილი საბოლოოდ გადაწყვეტილად არ მიიჩნევს რეფლექტორში არსებული პარაზიტული პოლარიზაციის გამო და აუცილებლად მიაჩნია დაკვირვებების გადატანა პარაზიტული პოლა-

რიზაციისგან თავისუფალ რეფრაქტორულ ტელესკოპში. ვ. ჯაფიაშვილმა პირველმა შენიშნა, რომ მთვარის ფიზიკურად და მორფოლოგიურად განსხვავებული ობიექტები (დეტალები) სხვადასხვანაირად აპოლარიზებენ მათი ზედაპირიდან არეკლილ სინათლეს, კერძოდ მთები – ნაკლებად, ზღვები – მეტად.

ვ. ჯაფიაშვილის ხელმძღვანელობით 1961 წელს აბასთუმნის ასტროფიზიკურ ობსერვატორიაში და ქსანფომალიტისა და ა. მაიერის მიერ დამზადებული იქნა „ელექტროპოლარიმეტრი“ (საავტორო უფლება N146076, 1961 წ.), ხოლო 1966 წელს, მათ მიერვე – „ავტომატური ელექტროპოლარიმეტრი – ვეპ66“, რომელიც შემდგომში გამოიყენებოდა მთვარეზე, პლანეტებზე და ვარსკვლავებზე დასაკვირვებლად – მათი პოლარიზაციული თავისებურებების შესწავლის მიზნით.

1970-იან წლებში ვ. ჯაფიაშვილის ხელმძღვანელობით და მისი ტექნიკური ჩანაფიქრის შესაბამისად, ა. კოროლმა და ა. მაიერმა შექმნეს სრულიად უნიკალური იმ დროსათვის ხელსაწყო „ელექტროპოლაროგიზორი“. ეს ხელსაწყო დაფუძნებული იყო პრინციპზე – მთვარის პოლარიზაციული გამონასახების შენახვა მაგნიტურ ლენტზე და შემდგომში მისი კარტოგრაფირება. სინათლის მიმღებად გამოყენებული იყო ფოტოელექტრომამრავლებელი FEU-38. რუკაზე პოლარიზაციის ხარისხის გამოყოფა ხდებოდა იზოპოლარებით, 1%-იანი ინტერვალით. ამ ხელსაწყოს საშუალებით აბასთუმნის ასტროფიზიკური ობსერვატორიის 40 სმ-იან ცენტრის რეფრაქტორზე ვ. ჯაფიაშვილმა 1971-75 წწ.-ში ჩატარა დაკვირვებების სერია მთვარის 46 ფაზაზე. მათგან შერჩეული 22 ფაზისგან, მსოფლიოში პირველად, შედგენილი იქნა მთვარის პოლარიმეტრული რუკები, რომელიც 1982 წელს გამოიცა, როგორც „მთვარის პოლარიმეტრიული ატლასი“. 1984 წელს აღნიშნულ ატლასს მიენიჭა „ბრედისინის სახელობის სახელმწიფო პრემია“.

1974 წელს ვ. ჯაფიაშვილის ინიციატივით და ხელმძღვანელობით აბასთუმნის ასტროფიზიკური ობსერვატორიის რადიოელექტრონიკისა (ხელმძღვანელი ა. კოროლი) და ზუსტი

მექანიკისა და ოპტიკის (ხელმძღვანელი ა. მაიერი) ლაბორატორიებში შემუშავდა და დამზადდა უნიკალური იარაღი „ავტომატური სკანირებადი ელექტროპოლარიმეტრი – ACEP74“, მცირე განახლების შემდეგ – ACEP78). პოლარიმეტრი აღჭურვილია 10 ინტერფერენციული სინათლის ფილტრით (ნახვარსიგანე  $<100$  ანგსტრემზე) და 6 დიაფრაგმით 1,5“ – 60“ შუალედში. მასში სინათლის მიმღებად გამოყენებული იქნა ფოტოელექტრომამრავლებელი FEU-79. პოლაროიდ-ანალიზატორის ბრუნვის სიხშირეა 17 ჰერცი. ხელსაწყო, რომლის ცდომილება პოლარიზის ხარისხის გაზომვაში 0,1-0,2 %-ია, დღემდე ითვლება ერთ-ერთ ზუსტ პოლარიმეტრად. ამ ხელსაწყოს გამოყენებით, 40 სმ-იან რეფრაქტორზე, ო. კვარაცხელია იკვლევდა მთვარის 100 ობიექტს და მთვარიდან „აპოლონი“ და „ლუნა“ კოსმოსური ხომალდების მიერ ჩამოტანილი ქანების 21 ნიმუშის პოლარიზაციულ თვისებებს (იხ მონოგრაფია, აბაო ბიულეტენი, N64, 1988 წ.).

ვ. ჯაფიაშვილი იყო აბასთუმნის ასტროფიზიკური ობსერვატორის დირექტორის მოადგილე სამეცნიერო ნაწილში 1957-92 წწ.-ში ანუ 35 წლის განმავლობაში. მან 50-იან წლებში ჩამოაყალიბა „მზის სისტემის სხეულების პოლარიმეტრიული კლევს“ ჯგუფი და წარმატებით ხელმძღვანელობდა მას სიცოცხლის ბოლომდე. ვ. ჯაფიაშვილის ხელმძღვანელობით და კონსულტაციებით დაცული იქნა 10 საკანდიდატო და 5 სადოქტორო დისერტაცია. მისი მოსწავლეები დღესაც აგრძელებენ სამეცნიერო საქმიანობას აბასთუმნის ასტროფიზიკურ ობსერვატორიაში ამ დარგში. ბ-ნი ვიქტორი ეწეოდა პედაგოგიურ მოღვაწეობასაც თბილისის სახელმწიფო უნივერსიტეტში. დღეს ამ საქმეს აგრძელებენ მისი ყოფილი მოწაფეები. ვ. ჯაფიაშვილის ძირითადი შედეგები გამოყენებულია მრავალ სტატიაში, მონოგრაფიასა და სახელმძღვანელოში უცხოელი ავტორების მიერ. თვითონაც მრავალჯერ გაჟეკოებია მოხსენებები სამეცნიერო სემინარებსა თუ კონფერენციებზე.

2018 წელს საერთაშორისო ასტრონომიული კებების გადაწყვეტილებით სახელდება „ვიქტორ ჯაფიაშვილი“ შეტანი-

ლია მთვარის წარმონაქმნთა სავარაუდო სახელების ბანკში იმ მიზნით, რომ მომავალში იგი დაერქვას მთვარის ერთ-ერთ კრატერს.

ბატონი ვიქტორი 2015 წლის 17 აგვისტოს 92 წლის ასაკში გარდაიცვალა და მისივე ანდერძის მიხედვით დასაფლავებულია მშობლიურ დაბაში, მშობლების გვერდით.

**ასტრონომიული კალენდრის  
სამოცდამეტთიე-სამოცდამხუთიე გამოშვებები  
მოთავსებული სამაცნიერო-აღმაშენებლი ფერილები**

	გამო- შვება	ბპ. ბპ.
1. სამყაროს შეცნობა დრმავდება (ახალ აღმოჩენათა კვალდაკვალ). <b>შ. საბაშვილი</b>	LXI	105-122
2. ასტროპოლარიმეტრია და პოლარიმეტრიული კვლევები აბასთუმნის ასტროფიზიკურ ობსერვატორიაში <b>თ. კვერნაძე, გ. ქურთული</b>	LXI	123-133
3. სამყაროს შეცნობა დრმავდება (ახალ აღმოჩენათა კვალდაკვალ). <b>შ. საბაშვილი</b>	LXII	105-124
4. ცვალებადი მზე. <b>ბ. ჩარგეიშვილი</b>	LXII	125-133
5. სამყაროს შეცნობა დრმავდება (ახალ აღმოჩენათა კვალდაკვალ). <b>შ. საბაშვილი</b>	LXIII	105-116
6. ქეროლაინ ჰერშელი – ლეგენდარული ასტრონომი ქალი. <b>ა. როგავა</b>	LXIII	117-130
7. გლაზენაპის კოშკი აბასთუმანში. ვინ იყო გლაზენაპი? <b>გ. ქურთული</b>	LXIII	131-137
8. სამყაროს შეცნობა დრმავდება (ახალ აღმოჩენათა კვალდაკვალ). <b>შ. საბაშვილი</b>	LXIV	105-129
9. კოსმოსური ამინდი და მზის ფიზიკის პრობლემები. <b>ნ. ოდრაპიშვილი</b>	LXIV	130-142
10. სამყაროს შეცნობა დრმავდება (ახალ აღმოჩენათა კვალდაკვალ). <b>შ. საბაშვილი</b>	LXV	105-

## შ 0 6 ა ა რ ს 0

შინაგანი მუნიციპალიტეტის სამომზღვო მისამართის 3
წლის დოკუმენტის დასაცემის 4
ზოგიერთი ქალაქის გეოგრაფიული კოორდინატები 4
საბალ-კალენდარი 2025 წ. 5
ასტრონომიული ნიშნები და აღნიშვნები 6
ბერძნული ანარაი 7
რომორ ვისარგებლორ კალენდრით 7

### ტ ვ ა ლ ე ბ ა დ ი ნ ა წ ი ლ ი

მთის ეფექტურები, მთის ამოსვლა-ჩასვლისა და ზედა 22
კულტინაციის მომენტები 46
მთვარის ამოსვლა-ჩასვლის მომენტები 50
მთვარის ფაზები 51
კაზარა ჰუნეტების ხილვადობა 51
კაზარა ჰუნეტების უფამინდები. მთის ამოსვლა-ჩასვლისა და ჩატა 58
კულტინაციის მომენტები 68
სამოქალაქო და ასტრონომიული ბინდი და დღის ხანგრძლივობა 70
მთის დაბეჭდებანი 2025 წელს 71
მთვარის დაბეჭდებანი 2025 წელს 72
ვარსკვლავთა საზუალო მდებარეობანი 73
ვარაუდადი ვარსკვლავები 77
მონაცემები გრძელების მიზნით 77
დაკავშირებისათვის 77
მონაცემები პრესენტაციის ვარსკვლავების 78
პერსონალის წ-ს დაკავშირებისათვის 78
ზოგიერთი თანავარსკვლავების მდებარეობა ცაგენ სხვადასხვა თვეში 81

### ტ უ დ მ ი ზ ი ნ ა წ ი ლ ი

რეფრაქცია 83
რეფრაქციის შესწორება T თემაერატურასა და B ბარომეტრულ წევაზე 84
ცნობები რამდენიმე უკაშავების ვარსკვლავის შესახებ 85
ცნობები რამდენიმე უკაშავების ვარსკვლავის შესახებ 86
ორგანაზი ვარსკვლავები კონარნენტებს შორის გვეთრად 86
განსხვავებული ცერებით 86
ორგანაზი ვარსკვლავები 87
ღია და სფერული გროვები 88
ბელი, ტიფუზური და ჰალანეტსახის ნისლეულები 89

გადაქმილები	90
ცხობები პლანეტებზე	91
ცხობები პლანეტათა თანამშრავებზე	92
ცხობები ცადამოწაებ, მზავე, მოვარეოებები	96
ზოგიერთი მიზანებობას სიღილე	98
ფიზიკური მუდმივები	98
სიმრძისა და მანძილის ერთეულები	99
მათემატიკური სიღილეები	99
თანავარსკვლავების სახალხოდებანი და აღნიშვნები	100
საშუალო დროის შუალედის ვარსკვლავიერ დროში	
გადასაყვანი სხრილი	102
ვარსკვლავიერი დროის შუალედის საშუალო დროში	
გადასაყვანი სხრილი	103
რყალის გრაფსებისა და მინუტების დროის საათებსა	
და წეთებში გადასაყვანი სხრილი	104
 დ ა მ ა ტ ე ბ ა ნ ი	
 სამყაროს შეცნობა ლრმავდება (ახალ აღმოჩენათა პვალდაპალ)	
შ. საბაზილი	105
 ზოგიერთი ზემასიური შავი ხვრელის შესახებ	
გ. ჩავასიმილი	123
 პროფესორ ვიქტორ ჩაჭიაშვილის შეოვრება და მოდვაცეობა	
თ. პვარაზებია	135
 ასტრონომული კალენდრის სამოცდამეერთე-სამოცდამესათე ბამოშვებები მოთავსებული სამცნელო-აოულარული ცერილები	
	141

